

**ORTA VE YÜKSEK DAĞLIK BÖLGE ŞARTLARINDA
ÇALIŞAN FOTOVOLTAİK SİSTEMLERİN ÖMRÜNÜ
BELİRLEYEN ETKENLERİN ARAŞTIRILMASI**

Cemal AKYÜZ



T.C.
BURSA ULUDAĞ ÜNİVERSİTESİ
FEN BİLİMLERİ ENSTİTÜSÜ

**ORTA VE YÜKSEK DAĞLIK BÖLGE ŞARTLARINDA ÇALIŞAN
FOTOVOLTAİK SİSTEMLERİN ÖMRÜNÜ BELİRLEYEN ETKENLERİN
ARAŞTIRILMASI**

Cemal AKYÜZ
0000-0002-6675-971X

Prof. Dr. Güneş YILMAZ
0000-0001-8972-1952
(Danışman)

YÜKSEK LİSANS TEZİ
ELEKTRONİK MÜHENDİSLİĞİ ANABİLİM DALI

BURSA – 2019

TEZ ONAYI

Cemal AKYÜZ tarafından hazırlanan “ORTA VE YÜKSEK DAĞLIK BÖLGE ŞARTLARINDA ÇALIŞAN FOTOVOLTAİK SİSTEMLERİN VERİMİNİ BELİRLEYEN ETKENLERİN ARAŞTIRILMASI” adlı tez çalışması aşağıdaki juri tarafından oy birliği ile Bursa Uludağ Üniversitesi Fen Bilimleri Enstitüsü Elektronik Mühendisliği Anabilim Dalı'nda **YÜKSEK LİSANS/DOKTORA TEZİ** olarak kabul edilmiştir.

Danışman : Prof. Dr. Güneş YILMAZ
0000-0001-8972-1952

Başkan : Prof. Dr. Güneş YILMAZ
0000-0001-8972-1952
Uludağ Üniversitesi, Mühendislik Fakültesi,
Elektronik Mühendisliği Anabilim Dalı

Üye : Dr. Öğr. Üyesi Esin Karpat
0000-0002-2740-8183
Uludağ Üniversitesi Mühendislik Fakültesi,
Elektronik Mühendisliği Anabilim Dalı

Üye : Dr. Öğr. Üyesi Ömer Zor
0000-0001-6461-9812
Bursa Teknik Üniversitesi, Mühendislik ve
Doğa Bilimleri Fakültesi,
Elektrik Elektronik Mühendisliği Anabilim Dalı

İmza

İmza

İmza

Güneş YILMAZ

Yukarıdaki sonucu onaylarım

Prof. Dr. Hüseyin AkseVEREN
Enstitü Müdürü
26/12/2019

U.Ü. Fen Bilimleri Enstitüsü, tez yazım kurallarına uygun olarak hazırladığım bu tez çalışmasında;

- tez içindeki bütün bilgi ve belgeleri akademik kurallar çerçevesinde elde ettiğimi,
- görsel, işitsel ve yazılı tüm bilgi ve sonuçları bilimsel ahlak kurallarına uygun olarak sunduğumu,
- başkalarının eserlerinden yararlanması durumunda ilgili eserlere bilimsel normlara uygun olarak atıfta bulunduğumu,
- atıfta bulunduğum eserlerin tümünü kaynak olarak gösterdiğim,
- kullanılan verilerde herhangi bir tahrifat yapmadığımı,
- ve bu tezin herhangi bir bölümünü bu üniversite veya başka bir üniversitede başka bir tez çalışması olarak sunmadığımı

beyan ederim.

07/08/2019

Cemal AKYÜZ

ÖZET

Yüksek Lisans Tezi

ORTA VE YÜKSEK DAĞLIK BÖLGE ŞARTLARINDA ÇALIŞAN FOTOVOLTAİK SİSTEMLERİN ÖMRÜNÜ BELİRLEYEN ETKENLERİN ARAŞTIRILMASI

Cemal AKYÜZ

Bursa Uludağ Üniversitesi
Fen Bilimleri Enstitüsü
Elektronik Mühendisliği Anabilim Dalı

Danışman: Prof. Dr. Güneş YILMAZ

Dünyanın hızla artan nüfusu ve hızlı kalkınma isteği ile birlikte enerji ihtiyacının da astronomik bir artmasına neden olmuştur. Yeni kaynak arayışlarında enerji ihtiyacının yenilenebilir ve yönetilebilir hale getirmek için çaba sarf etmektedir. Fosil yakıtlardan enerji üretmek yerine doğada bulunan güneş enerjisine yönelik olarak geliştirilmiş fotovoltaik sistemler kullanılmaya başlanmıştır. Ancak her sistemde olduğu gibi bu sistemlerinde bir ömrü vardır. Bu ömür süresine fayda zarar analizinin pozitif yönünde kalması gerekmektedir. Fotovoltaik panellerin ve kabloların dış ortam şartlarında çalıştığından verimlerinde düşüş, ömürde ise azalma görülebilmektedir. Bundan dolayı fotovoltaik panellerin ve solar kabloların kullanılacağı coğrafi şartlarına göre araştırma yapılarak verimleri ve ömürleri belirlenmektedir.

Bu çalışmamda; fotovoltaik modüllerin ve solar kabloların ömrüne etki eden UV ışınlarının, nemin ve ısıl çevrimlerin toplam etkisi göz önüne alınarak 835 m yükseklikte bulunan panellerin ömrünün 25 yıl, deniz seviyesinde kurulan panellerin ömrünün 24,5 yıl ve 2000 m yükseklikte kurulan panellerin ömrünün de 22,5 yıl olacağı sonucuna varılmıştır. Bu sonuca göre Bursa İli, Orhaneli İlçe'si, Sırıl Köy'ünde kurulacak olan güneş enerji santralinin ömrünün 25 yıl olacağı ortaya çıkmıştır. Sistemde bulunan tek damarlı bakır iletkenli solar kabloların akım taşıma kapasitesini belirlemek amacıyla benzetim, deneysel ve simülasyon çalışmaları yapılarak uygulanan akım süresi arttığında sıcaklık artış oranında düşüş tespit edilmiştir. $1,5 \text{ mm}^2$, $2,5 \text{ mm}^2$, 4 mm^2 ve 6 mm^2 gibi farklı kesitlerde kabloların ömrünü etkileyen yüksek akımlar (35 A ile 1265 A) uygulanmıştır. Büyük kesitli kablolarla 1 – 5 sn süre ile uygulanan kısa devre akımlarında eklerdeki sıcaklık %13'e kadar daha yüksek iken, küçük kesitli kablolarla bu fark %9'a kadar düşüğü tespit edilmiştir.

Anahtar Kelimeler: Güneş enerjisi, güneş pili ömrü ve verimliliği, solar kablo ömrü, FV sistem, FV sistem ömrü.

2019, xi + 82 sayfa

ABSTRACT

MSc Thesis

INVESTIGATION OF THE LIFE OF THE PHOTOVOLTAIC SYSTEMS IN MEDIUM AND HIGH MOUNTAIN REGION CONDITIONS Cemal AKYÜZ

Bursa Uludağ University
Graduate School of Natural and Applied Sciences
Department of Electronics Engineering

Supervisor: Prof. Dr. Güneş YILMAZ

Energy demand increases dramatically with the rapidly increasing population of the world. It strives to make renewable and manageable energy needs in search of new resources. Instead of producing energy from fossil fuels, photovoltaic systems developed for solar energy in nature have started to be used. However, these systems have a life span like every system. This life-benefit analysis should be positive. Systems are exposed to all kind of weather conditions in outdoor and especially due to the outdoor conditions, efficiency and system life of panels and cables decrease in time. Therefore, their efficiency and lifetime should be determined according to the geographical conditions where photovoltaic panels and solar cables are used.

In this study, considering the total effect of UV rays, humidity and thermal cycles affecting the life of photovoltaic modules, it was concluded that the life of the modules which installed at 835 m above sea level is 25 years, the life of the modules which installed at sea level is 24.5 years and the life of the modules which installed at 2000 m above sea level is 22.5 years. According to this result, the life of the solar power plant will be installed in Siril Village of Orhaneli District of Bursa Province will be 25 years. It has been found that the current carrying capacity of single core copper cables in the system decreases inversely proportional to the temperature increase rate when applied current time increases. There are high currents (35 A and 1265 A) was applied to different diameter cables such as 1,5 mm², 2,5 mm², 4 mm² ve 6 mm² which effects life span of system. The temperature of the joint points of large cross-section cables is up to 13%, on the other side temperature difference of small cross-section cables is reduced to 9%, when 10-25 seconds short circuit currents carried out to system.

Key words : Solar energy, solar cell lifespan and efficiency, solar cable lifespan, PV system, PV lifespan.

2019, xi + 82 pages

TEŞEKKÜR

Akademik çalışmam boyunca ilminden ve tecrübelerinden faydalandığım değerli hocam Prof. Dr. Güneş YILMAZ'a teşekkürlerimi borç bilirim ve bu günlere gelmemde büyük pay sahibi olan aileme ve dostlarımı teşekkürlerimi sunarım.

Cemal AKYÜZ
07/08/2019

İÇİNDEKİLER

	Sayfa
ÖZET.....	i
ABSTRACT.....	ii
TEŞEKKÜR	iii
SİMGEЛЕR ve KISALTMALAR DİZİNİ	v
ŞEKİLLER DİZİNİ.....	ix
ÇİZELGELER DİZİNİ	xi
1. GİRİŞ	1
2. KURAMSAL TEMELLER VE KAYNAK ARAŞTIRMASI.....	4
2.1. Güneş Işınlarının Dağılımı	4
2.2. Türkiye' de Güneş Enerjisi Potansiyeli.....	6
2.3. Güneş Pillerinin Özellikleri ve Çalışma Prensibi	7
2.3.1. Güneş Pillerinin Fiziksel Yapıları ve Çeşitleri.....	7
2.3.2. Güneş Pili Çeşitleri	12
2.4. Güneş Pilinin Eşdeğer Devresi	16
2.5. Güneş Pillerinin Akım, Gerilim ve Güç Karakteristiği.....	16
3. MATERİYAL VE YÖNTEM	18
3.1. Güneş Enerji Santralinin Verimliliğini ve Ömrünü Belirleyen Etkenler	18
3.1.1. Güneş Enerji Santrallerinin Verimini Belirleyen Etkenler	18
3.1.2. Fotovoltaik Panellerin Ömrünü Belirleyen Etkenlerin İncelenmesi	20
3.2. Solar Kablolar	29
3.2.1. Solar Kablo Nedir?.....	29
3.2.2. Solar Kabloların Akım Taşıma Kapasiteleri	29
3.2.3. Solar Kabloların Ömrü	29
3.2.4. Solar Kabloların Ömrünü Belirleyen Etkenlerin İncelenmesi	30
3.3. Sonlu Elemanlar Metodu	36
4. BULGULAR VE TARTIŞMA	37
4.1. Benzetim ile Yapılan Çalışma.....	37
4.2. Sonlu Elemanlar Metodu ile FV Kablolarının Simülasyonu	39
4.3. Deneysel Çalışma.....	47
4.4. Bulgular.....	53
5. SONUÇ	60
KAYNAKLAR	63
EKLER.....	65
EK 1.	66
EK 2.	69
EK 3.	73
EK 4.	78
EK 5.	80
ÖZGEÇMİŞ	82

SİMGELER VE KISALTMALAR DİZİNİ

Simgeler

Açıklama

V_{oc}	Açık Devre Gerilimi
k_v	Açık Devre Gerilimi Yönteminin Orantı Sabiti
w_i	Ağırlık Sabiti
w_{ij}	Ağırlık Sabiti
I	Akım
A,b	Arıza Modu Sabiti
L	Azinlik Taşıyıcı Difüzyon Uzunluğu
rh	Başlı Nem
E_g	Bant Aralığı
β_a	Beta Yönteminin Aralık Değeri
β	Beta Yönteminin Beta Parametresi
β_{mak}	Beta Yönteminin Çalışma Koşulları En yüksek Aralığı
β_{min}	Beta Yönteminin Çalışma Koşulları En az Aralığı
β_g	Beta Yönteminin Ortalama Aralık Değeri
k	Boltzmann Sabiti
R_D	Bozulma Oranı
P_{act}	Çalışma Koşullarında Elde Edilen Güç
$V_{\text{Çıkış}}$	Çıkış Gerilimi
P_m	Çıkış Gücüne Sıcaklık Etkisi
I_d	Diyot Akımı
C	Diyot Sabiti
FF	Doldurma Faktörü
Q	Elektrik Yükü
Φ	Enlem
C_p	Entegrasyon Sabiti
X_{old}	Eski Adım Boyutu
I_{pv}	Fotovoltaik Akım
N_D	Fotovoltaik Doping
V_{pv}	Fotovoltaik Gerilim
P_{pv}	Fotovoltaik Güç
A	Fotovoltaik Yüzey Alanı
V	Gerilim
ϵ	Gerilim Düşümü
Ge	Germanyum
$V_{Giriş}$	Giriş Gerilimi
P	Güç
X	Güneş Işığı Yoğunluğu
E(k)	Hata İşlevi
e	Hata İşareti
l	Hat Uzunluğu
I_L	Işinima Bağlı Akım Kaynağı Akımı
P_{in}	Işinima Bağlı Pil Gücü

g	Işınlama Seviyesi
N	İçsel Taşıyıcı Yoğunluğu
q	İletken Kesiti
I_{SC}	Kısa Devre Akımı
k_i	Kısa Devre Akımı Yönteminin Orantı Sabiti
I_{MPP}	En yüksek Çekilen Akım
V_{MPP}	En yüksek Çekilen Gerilim
P_{max}	En yüksek Çekilen Güç
E_v	En yüksek İletim Bandı Enerjisi
E_c	En az İletim Bandı Enerjisi
k_b	Ölçek Faktörü
χ	Öz İletkenlik
I_{ref}	Referans Akımı
V_{ref}	Referans Gerilimi
δ	Sapma
R_{Sh}	Seri Bağlı Direnç
N_s	Seri Bağlı Fotovoltaik Hücre Sayısı
T	Sıcaklık
Si	Silisyum
D	Silikon İçin Azınlık Taşıyıcısının Yaygınlığı
n_i	Silikon İçin İçsel Taşıyıcı Yoğunluğu
Γ	Verim
X_{new}	Yeni Adım Boyutu
α	Yükseklik
$I(t)$	Zaman Bağlı Akım
$V(t)$	Zaman Bağlı Gerilim
$P(t)$	Zamana Bağlı Güç
$f(t)$	Zamana Bağlı Fonksiyon
\dot{Q}	İsı akışı
μ_0	Manyetik geçirgenlik
A	İsı transferi alanı
B	Manyetik akı yoğunluğu
C	Termal ısı kapasitesi
D	Geometrik çap
E	Elektrik alan
f	Frekans
G	Termal iletkenlik
h	İsı iletim katsayısı
H	Manyetik alan
I	Akım
k	İsı iletim katsayısı
Nu	Nusselt sayısı
P	Güç
r	Geometrik yarıçap
R	Ohmik direnç
S	Kesit alanı
T	Salt sıcaklık
V	Gerilim

Z	empedans
α	Lineer sıcaklık katsayısı
ΔT	Sıcaklık farkı
ϵ	Dielektrik sabiti
λ	Dalgaboyu
λ	Lineeeri termal iletkenlik
ρ	Özdirenç
σ	Stefan-Boltzmann katsayısı
Q	Transfer edilen ısı
τ	Zaman sabiti
A_{FV}	Panel alanı
G	Işinim
$P(G)$	G ışınım değerindeki güç çıkışı

Kısaltmalar	Açıklama
a-Si	Amorphous Silica (Amorf Silisyum)
ADC	Analog Digital Converter (Analogn Sayısal Dönüşürücü)
IC	Incremental Conductance Method (Artımlı İletkenlik Yöntemi)
CIS	Copper Indium Diselenid (Bakır İndiyum Diselenid)
FLC	Fuzzy Logic Controller (Bulanık Mantık Denetleyicisi)
UVA	Ultraviyole A (Dalga Boyu Aralığı: 320 nm-400 nm)
UVB	Ultraviyole B (Dalga Boyu Aralığı: 280 nm-320 nm)
UVC	Ultraviyole C (Dalga Boyu Aralığı: 200 nm-280 nm)
PWM	Pulse Width Modulation (Darbe Genişlik Panelasyonu)
P&O	Perturb and Observe Method (Değiştir ve Gözle Yöntemi)
DC-DC	Direct Current - Direct Current (Doğru Akım- Doğru Akım)
İEİ	Elektrik İşleri Etüt İdaresi
EVA	Ethylene Vinyl Acetate (Etilen Vinil Asetat)
$R_{D,Eyring}$	Eyring Bozulma Modeli
FV	Photovoltaic (Fotovoltaik)
FVGIS	Photovoltaic Geographic Information System (Fotovoltaik Coğrafi Bilgi Sistemi)
GES	Güneş Enerji Santrali
AM	Air Mass (Hava Kütle Katsayısı)
CdTe	Cadmium Telluride (Kadmiyum Tellür)
OCV	Open Circuit Voltage (Açık Devre Gerilimi)
SCC	Short-Circuit Current (Kısa Devre Akımı)
MPP	Maximum Power Point (En yüksek Güç Noktası)
MPPT	Maximum Power Point Tracking (En yüksek Güç Noktası Takibi)
NB	Negative Big (Negatif Büyük)
NS	Negative Small (Negatif Küçük)
PI	Proportional Integral Controller (Oransal Integral Denetleyici)
$R_{D,Peck}$	Peck Bozulma Modeli
PB	Positive Big (Pozitif Büyük)
PS	Positive Small (Pozitif Küçük)
HRA	Hour Angle (Saat Açısı)

STC	Standard Test Conditions (Standart Test Koşulları)
TCO	Transparent Conducting Oxide (Saydam oksit iletken)
ZE	Zero (Sıfır)
UV	Ultraviolet (Ultraviyole)
ANN	Artificial Neural Network (Yapay Sinir Ağları)
ABS	Kilitlenmesiz fren sistemi
AC	Alternatif akım
AM	Genlik panelasyonu
CAN	Kontrolör alan ağları
CE	İletimle yayılım
CI	İletime bağışıklık
CISPR	Uluslararası özel radyo girişimi komitesi
DC	Doğru akım
ECU	Motor kontrol birimi
EMC	Elektromanyetik uyumluluk
EMI	Elektromanyetik girişim
FM	Frekans panelasyonu
IEC	Uluslararası elektroteknik komisyonu
INPE	Ulusal uzay araştırma enstitüsü
IRPA/INIRC	Uluslararası iyonize olmayan radyasyon komitesi
ISO	Uluslararası standartlar organizasyonu
LISN	Hat empedansı dengeleme şebekesi
MRI	Manyetik rezonans görüntüleme
OEM	Orjinal ürün üreticisi
PVC	Polivinil klörür
RE	Işinimle yayılım
RF	Radyo frekansı
RI	Işinime bağışıklık
PO	Performans oranı

ŞEKİLLER DİZİNİ

	Sayfa
Şekil 2.1. Güneş ışınlarının dağılımı.....	4
Şekil 2.2. Meteoroloji durumuna bağlı olarak güneş ışınımı şiddeti	5
Şekil 2.3. Türkiye' nin güneyine doğru güneş enerjisinin artışı	5
Şekil 2.4. Türkiye güneş enerjisi potansiyeli atlası.....	5
Şekil 2.5. Bir güneş panelinin genel fiziksel yapısı	7
Şekil 2.6. Güneş panelinin katmanları	7
Şekil 2.7. (a) p-tipi yarı iletken, (b) n-tipi yarı iletken.....	11
Şekil 2.8. Güneş pili eşdeğer devresi	16
Şekil 2.9. Güneş pili I-V karakteristiği	17
Şekil 2.10. Güneş pili I-V karakteristiğinin ışık şiddetine bağlı değişimi	17
Şekil 2.11. Güneş pili P-V karakteristiğinin ışık şiddetine bağlı değişimi	17
Şekil 3.1. FV sistem blok şeması	18
Şekil 3.2. Aylık ortalama UV ışın seviyeleri	21
Şekil 3.3. UV ışınlarının farklı yüksekliklerde bulunan modüllerin ömrüne etkisi	21
Şekil 3.4. Nemin FV panel çıkış gücüne etkisi	23
Şekil 3.5. Aylık ortalama nem konsantrasyonu	24
Şekil 3.6. Havada bulunan nemin farklı rakımlarda kurulan FV panellerin ömrüne etkisi	24
Şekil 3.7. Sıcaklığın modül verimine etkisi	25
Şekil 3.8. Aylık ortalama hava sıcaklığı bilgileri.....	26
Şekil 3.9. Sıcaklığın farklı yüksekliklerde bulunan modüllerin ömrüne etkisi.....	27
Şekil 3.10. Tüm olumsuz etkilerden sonra toplam verimlilik	27
Şekil 3.11. Tüm olumsuz etkilerden sonra toplam modül ömürleri.....	28
Şekil 3.12. PV1-F DC solar kablo.....	29
Şekil 3.13. Tek iletkenli yapıdaki ısıl dirençler	32
Şekil 3.14. Dış çap iletimi tarafından oluşan termal direnç	33
Şekil 3.15. T(t)'nin analitik ve nümerik metodlarla karşılaştırılması	34
Şekil 3.16. T(t)'nin bazı nümerik yöntemlerle kıyaslanması	35
Şekil 4.1. Geometrinin hacimlere bölünmesi.....	40
Şekil 4.2. Düğüm yapısı	40
Şekil 4.3. Ağ yapısına bölünen kablo kesiti	41
Şekil 4.4. Kablo geometrisi üzerine uygulanan ağı yapısı	41
Şekil 4.5. 1.5mm ² kesiti analiz sonucu sıcaklık dağılımı.....	45
Şekil 4.6. Analiz sonucu kablonun 3 boyutlu görünümü	45
Şekil 4.7. 1.5mm ² kesitli kablo için zaman-sıcaklık dağılımı.....	46
Şekil 4.8. Deney düzeneği blok şeması.....	48
Şekil 4.9. Deney düzeneği.....	48
Şekil 4.10. Deney başlangıcı.....	48
Şekil 4.11. Deney 1. aşama	49
Şekil 4.12. Deney 2. aşama	49
Şekil 4.13. Deney 3. aşama	50
Şekil 4.14. Aşırı akım sonrası deforme olan kablo	50
Şekil 4.15. Ek yerine sahip bakır kablolar	51
Şekil 4.16. Deney sonrası varyak üzerinde oluşan sıcaklık dağılımı	53
Şekil 4.17. 6mm ² kablonun 80 saniyede sağ uçta meydana gelen sıcaklık dağılımı	54
Şekil 4.18. 6mm ² kablonun 80 saniyede sol uçta meydana gelen sıcaklık dağılımı	54

Şekil 4.19. 6mm ² kablonun 130 saniyede sağ ucunda meydana gelen sıcaklık dağılımı	55
Şekil 4.20. 6mm ² kablonun 150 saniyede merkezde meydana gelen sıcaklık dağılımı..	55
Şekil 4.21. 6mm ² kablonun 180 saniyede sağ uçta meydana gelen sıcaklık dağılımı	56
Şekil 4.22. 1.5mm ² kablonun 1000 saniyede sol uçta meydana gelen sıcaklık dağılımı	56
Şekil 4.23. 1.5mm ² kablonun 1000 saniyede merkezde meydana gelen sıcaklık dağılımı ..	57
Şekil 4.24. 1.5mm ² kablonun 1000 saniyede sağ uçta meydana gelen sıcaklık dağılımı	57
Şekil 4.25. 2.5mm ² kesitli ek noktalarına sahip bakır numune	58
Şekil 4.26. 2.5mm ² ek yerine sahip kablonun merkez sıcaklık dağılımı.....	58
Şekil 4.27. 2.5mm ² ek yerine sahip kablonun sağ uçtaki sıcaklık dağılımı	59

ÇİZELGELER DİZİNİ

Sayfa

Çizelge 2.1. Türkiye' nin toplam güneş enerjisi potansiyeli.....	6
Çizelge 2.2. Katalog bilgisi olacak şekilde teknik özelliklerı.....	9
Çizelge 2.3. Yüksek geçirgenliğe sahip, her iki tarafı da desenli cam	9
Çizelge 2.4. Yüksek geçirgenliğe sahip, her iki tarafı da desenli cam	10
Çizelge 3.1. Solar kablo kesitlerine göre teknik parametreler	30
Çizelge 4.1. 1.5 mm ² kablo için 20 °C -100 °C arası akım taşıma kapasitesi	38
Çizelge 4.2. 1.5 mm ² kablo için 40 °C -100 °C arası akım taşıma kapasitesi	38
Çizelge 4.3. 1.5 mm ² kablo için 60 °C -100 °C arası akım taşıma kapasitesi	39
Çizelge 4.4. Kullanılan malzemelerin termofiziksel özellikleri.....	42
Çizelge 4.5. 1.5 mm ² kablo için 20 °C -100 °C arası akım taşıma kapasitesi	43
Çizelge 4.6. 1.5 mm ² kablo için 40 °C -100 °C arası akım taşıma kapasitesi	44
Çizelge 4.7. 1.5 mm ² kablo için 60 °C -100 °C arası akım taşıma kapasitesi	44
Çizelge 4.8. Akım değerlerine göre 1.5 mm ² kesitli kablo üzerinde oluşan sıcaklıklar .	53
Çizelge 4.9. 2.5 mm ² ek yerine sahip kablonun sıcaklık-akım ilişkisi	59

1. GİRİŞ

İnsanoğlu ilk insandan günümüze kadar sürekli artan bir enerji ihtiyacı içinde olmuştur. Yediğimiz yemeği ısıtmadan aydınlık ihtiyacına, gıdalar bozulmasın diye soğutmadan bindiğimiz arabanın hareket etmesi için yakılan yakıta kadar hayatımızın her noktasında enerjiye her zaman ihtiyaç olmuş ve olmaya da devam edecktir. Bu ihtiyaç refah düzeyinin ve dünya nüfusunun artması ile doğru orantılı olarak büyümektedir.

Günümüzde refah düzeyinin ve dünya nüfusunun bu denli artması ile beraber enerji gerekliliği de hızla arttığından mevcut enerji kaynaklarına alternatifler aranmaktadır. Bu da insanoğlunu yenilenebilir enerjiye doğru sürüklemektedir. Bunun yanında ihtiyaç olan enerji elde edilirken dünyamızın çevre dengesine zarar vermemek, korumak ve gelecek nesillere iyi bir dünya bırakabilme isteği de yenilenebilir enerji kaynaklarını diğer enerji kaynaklarının önüne geçirmektedir. Özellikle ülkemiz için enerji ihtiyacının fosil yakıtlardan dönüşümler yapılarak karşılaşdığını da göz önünde bulundurursak kısıtlı ve maliyetli olan bu enerji üretim yöntemlerinin yanında yenilenebilir enerji kaynaklarını kullanmaya başlamamız kaçınılmaz olmuştur.

Yapılan araştırmalara göre dünyadaki enerji tüketiminin yılda yaklaşık %1,5 artış gösterdiği ve 2030 yılında enerji tüketiminin günümüze göre %19,5 artacağı öngörmektedir. Günümüzde ihtiyaç duyulan elektrik enerjisinin çoğunu fosil kaynaklardan karşılanmaktadır. Bu nedenle dünya yeni kaynakların arayışına girmiştir. Bunun başlıca sebeplerinden birincisi artan enerji ihtiyacı ile enerjinin çoğunu sağlandığı fosil enerji kaynaklarının azalması ile birlikte fiyatlarının artmasıdır. Diğer sebepte ise bu kaynakların çevre dengeyi bozması ve çevre kirliliğine neden olmasıdır. (Başay 2019).

Enerji üretimi açısından ülkemiz yetersiz kalmaktadır. Bu yüzden ihtiyaç duyulan enerjinin bir kısmı ithal edilmektedir. Yenilenebilir enerji kaynaklarının kullanımının sağlanması enerji üretimine yardımcı olmaktadır. Yenilenebilir enerji kaynaklarının sınırsız olması ve çevreye zarar vermemesi önemli olmakla birlikte ekonomik gelişim için dışa bağımlılığın azalmasını da sağlamaktadır (Saner 2015).

Güneşin çekirdeğinde bulunan hidrojen gazı helyuma dönüşerek radyoaktif ışınım meydana gelmesiyle açığa çıkan enerji güneş enerjisi olarak adlandırılır. Atmosferin dışında güneş enerjisinin şiddeti, yaklaşık olarak 1370 W/m^2 civarında olup atmosferin etkisinden dolayı yeryüzüne $0-1100 \text{ W/m}^2$ değerlerde ulaşmaktadır. Günümüzde insanların mevcut enerji tüketiminden daha fazlasını bile dünyaya gelen güneş enerjisinin küçük bir kısmı karşılayabilmektedir. Çünkü gelen enerji, ihtiyacın 20.000 katıdır. (Çalışkan 2011).

Dünyanın kendi eksenin etrafındaki hareketinden ve atmosferik olaylardan güneş enerjisinin sürdürülebilirliği kesintiye uğramasına rağmen, enerji üretiminde güneş enerjisinin payı her geçen gün artış göstermektedir. Güneş enerjisini elektrik enerjisine dönüştüren aygıtlar fotovoltaik (FV) panel (güneş pili) olarak adlandırılır. Bu fotovoltaik panelleri kullanarak kurulan sistemlerin avantajları ve dezavantajları aşağıda sıralanmıştır (Baş 2016).

Avantajları

- Enerji ihtiyacını güneşten sağladıkları için yakıt maliyeti yoktur.
- Kaynağı sınırsızdır ve sistem uzun ömürlüdür.
- Sadece genel bakım ve kontrole ihtiyaç olduğu için işletme maliyeti düşüktür.
- Çevre dostu olduğundan çevreyi kirletmez.
- Elektrik şebekesinin olmadığı yerlerde elektrikten yararlanamaymeyi sağlamaktadır.
- Enerji üretildiği yerlerde kullanılacağından dağıtım maliyeti olmayacağı.

Dezavantajları

- Kurulum için yatırım maliyetleri yüksektir.
- Yaz aylarına göre kış aylarındaki enerji üretimi oldukça düşüktür.
- Hava karardığında enerji üretmemektedir.

Dünyada hızla kullanımı artan FV sistemlerin maliyetlerini geri kazanabilmek için FV sistemden en yüksek عمر ve verim sağlanması gerekmektedir. Fotovoltaik sistemlerin

ömürü ve verimi sadece sistemin kurulumuyla ilgili değildir. Fotovoltaik sistemin ömrünü belirlemek için ortam koşullarını hesaba katmak gereklidir. Bir fotovoltaik sistemin ömründen ve veriminden bahsetmek için deniz seviyesindeki bölgelerde veya dağlık bölgelerdeki farklılıklar göz önünde bulundurmak gerekmektedir.

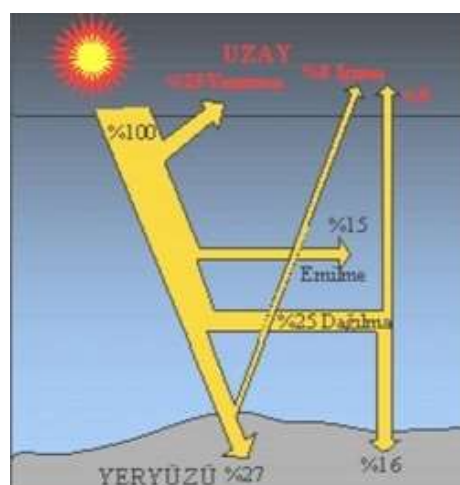
2. KURAMSAL TEMELLER VE KAYNAK ARAŞTIRMASI

Dünyaya ulaşan güneş enerjisi insanların enerji ihtiyacından 20.000 kat daha fazladır. Bu enerjinin yıllık ortalama değeri 1367 W/m^2 ($= 1175 \text{ kcal/h.m}^2$) dir.

2.1. Güneş Işınlarının Dağılımı

Güneş ışınlarının dağılımı Şekil 2.1.'de gösterilmiş ve maddeler halinde açıklanmıştır. W/m^2 cinsinden güneş ışımı şiddeti Şekil 2.2.'de verilmiştir. Şekil 2.3.'de Türkiye' nin güneyine doğru güneş enerjisi artışı verilerek Şekil 2.4.'de GEPA verileri ile desteklenmiştir.

1. Güneş ışınlarının % 25'i atmosferden etkilenderek ve bulutlara çarparak uzaya geri yansır.
2. Güneş ışınlarını %25'i atmosfere dağılarak difüzyon olur. Bunun sonucunda atmosferin su buharından dolayı mavi görünmesine ve gölge yerlerin aydınlanmasımasına neden olur. Atmosfere çarpan bu ışınların %9'u uzaya geri yansır ve %16'sı da yer kabuğunu dolaylı olarak ısıtır.
3. Güneş ışınlarının %15'i atmosfer ve bulutlar tarafından emilir(absorbsiyon).
4. Güneş ışınlarının %8'i yer kabuğuna çarparak uzaya yansır.
5. Güneş ışınlarının sadece %27'si doğrudan yer kabuğuna ulaşarak yeri ısıtır.



Şekil 2.1. Güneş ışınlarının dağılımı (Kincay 2015)



Şekil 2.2. Meteoroloji durumuna bağlı olarak güneş ışınımı şiddeti (Kıncay 2015)

Güneş enerjisi (iklim koşullarını aynı düşünerek) yer yüzünde ;

- 36. ve 42. paraleller arasında aynı rakımda güneye doğru, bir sonraki paralelde bir öncekine göre yıl içerisinde %1,7 ile %1,9 oranında fazladır.
- Her 1.000 metre yükseklikte ise %9 ile% 11 arasında artar.



Şekil 2.3. Türkiye' nin güneyine doğru güneş enerjisinin artışı (Kıncay 2015)



Şekil 2.4. Türkiye güneş enerjisi potansiyeli atlası (Kıncay 2015)

- 1/100.000 yükseklik modeli
- 200 m x 200 m skysize
- 1985-2006 yılları 156 DMİ saatlik ölçüm verisi
- 500 m x 500 m grid formatında kWh/m² aylık gün ortalaması verileri

2.2. Türkiye' de Güneş Enerjisi Potansiyeli

DMİ'de bilgilerine göre 1966-1982 yılları arasında ölçülen güneşlenme süresi ve foton şiddeti verilerine göre Türkiye'nin yıllık toplam güneşlenme ortalama süresi 2640 saatdir (günlük alınan saat 7,2). Güneşlenme süresi ve toplam ışınım şiddeti ortalaması da 1311 kWh/m² (günlük toplam 3,6 kWh/m²) olduğu saptanmıştır.

Türkiye'nin güneş enerjisi potansiyeli ve güneşlenme süresi değerleri Çizelge 2.1. de verilmiştir.

Çizelge 2.1. Türkiye' nin toplam güneş enerjisi potansiyeli (Kincay 2015)

Aylar	Aylık Toplam Güneş Enerjisi (kcal/cm ² -ay)	Güneşlenme Süresi (saat/ay)
Ocak	4,45	51,75
Şubat	5,44	63,27
Mart	8,31	96,65
Nisan	10,51	122,23
Mayıs	13,23	153,86
Haziran	14,51	168,75
Temmuz	15,08	175,38
Agustos	13,62	158,40
Eylül	10,60	123,28
Ekim	7,73	89,90
Kasım	5,23	60,82
Aralık	4,03	46,87
Toplam	112,74	1311,00
Ortalama	308,0 cal/cm²-gün	3,6 kWh/m²-gün
		7,2 saat/gün

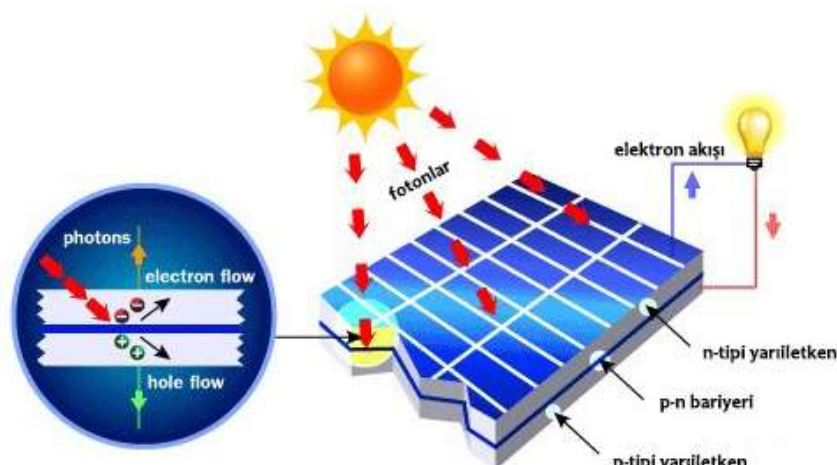
2.3. Güneş Pillerinin Fiziksel Yapıları ve Çeşitleri

2.3.1. Güneş Pillerinin Fiziksel Yapıları

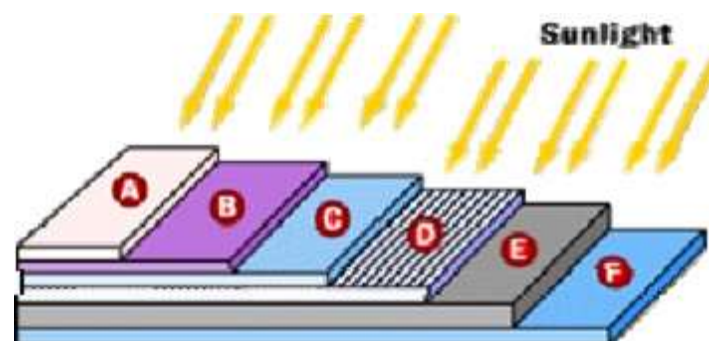
Güneş pillerinin fiziksel yapısı Şekil 2.5.'te görülmektedir.

Şekil 2.6.'nın katmanları aşağıda verilmiştir.

- | | |
|---------------------------|--------------------|
| A) Koruma camı | D) n tipi silisyum |
| B) Anti-reflektif kaplama | E) p tipi silisyum |
| C) Üst kontakt grid | F) Alt kontakt |



Şekil 2.5. Bir güneş pillerinin genel fiziksel yapısı (Arce 2018)



Şekil 2.6. Güneş pillerinin katmanları (Kıncay, Bekiroğlu, Yumurtacı 2016)

A) Koruma Camı

Güneş panelleri için üretilen düşük demirli ve basınçla dayanıklı buzlu camlardır.

Bu camlar, güneş pillerini çevre şartlarının olumsuz etkilerine karşı muhafaza eden ve yüksek foton geçirgenlik özelliği ile FV panellerin ömrünü ve verimliliğini doğrudan etkileyen, FV panel üretimi için önemli elemanlardan biridir. Bunun nedeni demir oksit oranının daha az olmasıdır. Normal demirli camlara göre güneş paneli camlarının ışık geçirgenliği daha yüksektir.

Koruma camlarına Sandy ve Prizma desen uygulanması cam yüzeyinde oluşabilecek yansımaları azaltır, ışık geçirgenliğini yükselttiğ için panellerinin performansında en yüksek verimliliği sağlar. Bu camların yüzeylerine uygulanan Anti Reflektif (AR) kaplama ile ışık yansımaları değerleri en az seviyeye çekilir ve ışık geçirgenliği yaklaşık %2 artar. Bunun sonucu olarak yüksek verim sağlanır.

Yapılarına göre panel ebatları:

- Kalınlıkları 3,2 mm ve 4mm
- Ham Cam: 1000x2200 mm, 2400x3300 mm
- Temperli: 750x1500 mm, 1500x3000 mm
- Rodajlı: 750x1500 mm, 1500x2500 mm

Güneş Paneli Camlarının Teknik Özellikleri:

Güneş paneli camlarının teknik özellikleri Çizelge 2.2. , Çizelge 2.3. ve Çizelge 2.4. de verilmiştir.

Çizelge 2. 2. Katalog bilgisi olacak şekilde teknik özellikler (Sar 2018)

Özellikler	Açıklama
Demir Oranı	$\leq 0.02\% \text{Fe}203$
Kalınlık Toleransı	$\pm 0,2 \text{ mm}$
Kalınlık	3,2 mm & 4 mm
Temper Bilgisi	Temperli / Tempersiz
Yüzey İşleme	Desenli
Yoğunluk	2,5 gr/cm ³
İş Dayanımı	250°C
Kenar İşleme	Rodaj/Kapak

Çizelge 2.3. Yüksek ışık geçirgenliği sahip, her iki tarafı da desenli cam (Sar 2018)

Ürün	İşık Geçirgenliği (D65)	PV Geçirgenliği F, PV	Güneş Geçirgenliği 1,5)T	İşığı (AM)	SPF Sınıfı
Sandy 3,2 mm	%91,8	%95,1	%91,2		P1
Sandy 4 mm	%91,9	%95	%91		P1

Çizelge 2. 4. Yüksek geçirgenliğe sahip, her iki tarafı da desenli cam (Sar 2018)

Ürün	Işık Geçirgenliği (D65)	PV Geçirgenliği F, PV	Güneş Geçirgenliği 1,5)T	İşığı (AM	SPF Sınıfı
Prizma 3,2 mm	%91,8	%95,2	%91,2		P1
Prizma 4 mm	%91,8	%95	%91,1		P1

B) Anti-Reflektif Kaplama

Güneş pili camları, güneş pillerini çevre şartlarının olumsuz etkilerinden koruyan ve yüksek ışık geçirgenlik performansı ile FV panellerin ömrünü ve verimliliğini doğrudan etkileyen, panel üretimlerindeki en önemli elemanlardan biridir. Güneş paneli camlarının ışık geçirgenliği normal demirli cama göre daha yüksek olması için demir oksit oranı daha yüksektir. Ancak panel verimliliğini arttırmakla birlikte güneş ışınlarının hücrelere daha iyi nüfuz etmesini sağlaması sebebi ile panel ömrünü kısaltacak yönde etkisi vardır.

C) Üst Kontakt Grid (EVA)

FV güneş enerji panellerinin ömrünü pozitif yönde etkileyen şeffaf polyamid (PA) görünümlü bu kimyasal ürün, güneş pillerde kullanılan camın hücrenin ve panelin arkasındaki örtünün (backsheets) sıcaklık altında laminasyon yöntemi ile yapışmasını sağlar.

Laminasyon yöntemi bir üretim yöntemi olup ısı ve yüksek basınç yardımıyla farklı yüzeyler ile birleştirilmekte ve tek bir katman halinde kullanılmaktadır.

FV panellerinin üretimi sürecinde, katmanları Şekil 2.6.'daki gibi yerleştirilip, laminasyon makinesine girerek 180 °C sıcaklıkta ve vakum altında, tüm katmanlar EVA

(Etilen Vinyl Asetat) aracılığıyla birbirine yapışır. Bu işlemden sonra güneş pillerinin hiçbir katmanını ayırmak mümkün değildir. Bu yüzden kötü hava koşullarına karşı dayanıklı bir yapıya sahip olur. Yani güneş pillerini uzun ömürlü kılar. Tüm bunlar ile birlikte; cam-hücre-backsheet arasında tam homojen yapışma, laminasyon sürecinde mükemmel sızdırmazlık ve kaplama, mükemmel optik iletim ve şeffaflık, laminasyon süreci sırasında fiziksel strese karşı mükemmel esneklik, dielektrik karakter gibi pozitif katkılar sağlanır.

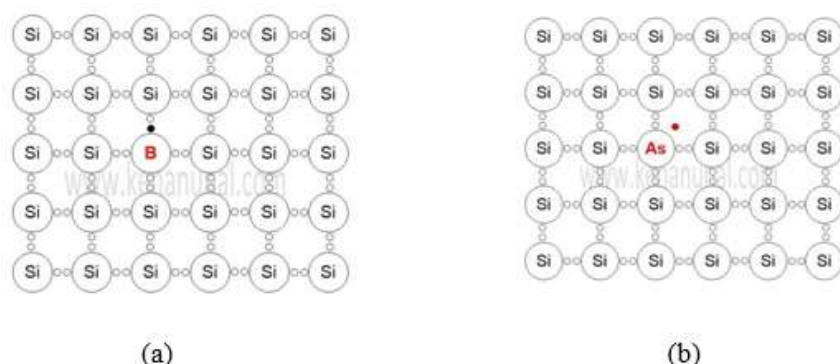
EVA film yapışkan (enkapsülant) özelliği sayesinde FV panellerin içerisine su ve toz sızmasının önlenmesinde önemli rol oynadığı gibi fiziksel şokları da yumuşatarak solar hücreleri korur ve uzun ömürlü yapar.

D) n Tipi Silisyum

Silisyum kristal atomlarının içerisinde çok az miktarda Arsenik (As) atomu katılmasıyla elde edilen yarı iletken malzemedenir. Şekil 2.7.'deki gibi n-tipi yarı iletken meydana gelmiş hali görülmektedir.

E) p tipi silisyum

p tipi silisyum kristal atomlarının içerisinde çok az miktarda Bor (B) atomu katılmasıyla elde edilen yarı iletken malzemedenir. Şekil 2.7.'deki gibi p-tipi yarı iletken meydana gelmiş hali görülmektedir.



Şekil 2.7. (a) p-tipi yarı iletken, (b) n-tipi yarı iletken (slide) (Ünal 2018)

2.3.2. Güneş Pili Çeşitleri

Teknolojik gelişmeler ile güneş pili üretimi için farklı yapılarda malzemeler ve farklı üretim teknikleri geliştirilmiştir. Buna göre en çok kullanılanları aşağıda verilmiştir. Güneş pili çeşitleri 4 ana teknolojiden oluşur . Bunlar;

- Kristal yapı teknolojisi,
- İnce film teknolojisi,
- Birleşik teknoloji,
- Nanoteknoloji.

Güneş pili çeşitlerinin başlıcaları şunlardır;

- Monokristal güneş pili.
- Polikristal güneş pili.
- İnce film güneş pili.
- Esnek güneş pili.

Monokristal Güneş Pili

Monokristal silisyum güneş pilleri Chrozalski kristal çekme tekniği ilk ticari güneş pillerinin üretim tekniği ile üretilir. Bu teknikte tek kristal yapılı silisyum kullanılmaktadır. Fotovoltaik üretiminde en çok kullanılan yöntemlerden bir tanesidir. Chrozalski kristal çekme tekniğinde saf silisyumu elde etmek için silisyum oksit çeşitli kimyasal ve termal reaksiyonlardan geçirilerek ark fırınlarında üretilir. Üretilen tek kristal yapılı bir silisyum parçası sıvı haldeki silisyumun içine batırılır. Daha sonra soğutularak parçalara bölünür ve işlenerek istenilen güneş pili elde edilir. Monokristal silisyum güneş pilleri genellikle 100x100 mm, 125x125 mm veya 156x156 mm boyutlarında ve 36, 54, 60 ya da 72 seri hücre birleştirilerek üretilirler. Laboratuvar ortamında %20'lik bir verime sahiptirler fakat doğal koşullar altında verimleri genellikle %15-18 arasındadır. Diğer güneş panellerine göre verimleri %1 ile %3 arasında daha fazladır ve ömrüleri de daha uzundur. Saf kristalden üretildikleri için pahalıdır.

Sistem maliyetini geri ödeme süresi 4 ile 6 yıl arasıdır. Monokristal güneş panellerinin renkleri diğer güneş panellerine oranla daha koyu ve lacivert tonlardadır (Karamanav 2007).

Polikristal Güneş Pili

Çok kristalli malzemelerin yapısal, elektriksel ve optiksel özellikleri özdeştir. Yapıları damarlı olup damarların büyüklükleri kristalin kalitesi ile doğru orantılıdır. Önce büyütülüp daha sonra 200 mikron kalınlıkta ince tabakalar halinde dilimlenen tek kristal silisyum bloklardan üretilen güneş pillerdir. Çok kristalli silisyum malzemelerin üretim teknolojileri tek kristalli malzemelere göre daha az enerji gerektirir ve üretimi daha basittir. Çok kristalli silisyumun güneş pillerinin maliyeti oldukça düşüktür. Bunun başlıca sebebi polikristal üretiminde saf kristallerin kullanılmamasıdır (Demir 2002).

Çok kristalli silisyum malzemenin üretiminde genellikle “dökme” yöntemi kullanılır. Çok kristalli silisyum malzemenin hazırlanmış biçimi tek kristalli malzemeden gibi yapılır. Eriyik haldeki yarıiletken silisyum kalıba dökülür ve soğutulmaya bırakılır. Kalıplardan çıkan bloklar genellikle kare şeklinde dilimlenir. Bu teknoloji ile üretilen malzemelerin maliyeti oldukça düşüktür ama verimlilikleri de daha azdır.

Verimleri %12 ile %15 arasında değişmektedir ancak günümüz teknolojisinde laboratuvar ortamında verimi %16,2 seviyesine ulaşmıştır. Yatırım maliyetini geri ödeme süresi 2 ile 4,5 yıl arasında değişir. Polikristal güneş pillerinde 20 yıllık bir sürede yaklaşık %14 verim kaybı meydana gelir.

İnce Film Güneş Pili

İnce filmin güneş pilleri çok ince imal edildiklerinden dolayı hem ışığı geçiren kaplama malzemesi olarak hem de enerji üreten ürün olarak kullanılmaktadır. İnce film hücrelerin üretim şekli ihtiyaca göre yapılır ve daha sonra yarıiletken malzemeyle kaplanır. Toplu üretime uygundurlar. İstenildiğinde farklı dalga boylarındaki ışıktan elektrik üretebilecek biçimde katmanlar şeklinde üretilebilir. İnce film güneş pilleri

kristal silisyum güneş pillerinden %10 ile %15 daha fazla enerji üretmektedir. Ayrıca yeni teknolojide $0,5\mu\text{m}$ kalınlığında üretilmektedirler. İnce film güneş pilleri aşağıdaki üç yöntem ile üretilir;

- Püskürtmeli yöntem
- Buharlı çöküntü yöntemi
- Katot tonlanması yöntemi

Üretim yöntemlerinden en sık kullanılan püskürtmeli yöntemdir. Bu yöntemde ilk olarak önde bulunan alt malzemenin üzerine saydam oksit iletken (TCO) püskürtülür. Bu malzemenin şeritler halinde lazer ile kesimi yapılır. Daha sonra üzerine güneş hücresi püskürtülmesi yapılır. Tortu haline gelen güneş hücresi katmanları alta bulunan iletken okside paralel olacak biçimde tekrar kesilir. Son yapılan işlem ise en alttaki bölüme metal iletken püskürtülmesidir. Bu şekilde birbirine seri bağlı hücre grupları imal edilir.

İnce film güneş pillerinin üretiminde kullanılan malzemeler:

- Amorf Silisyum (a-Si)
- Bakır İndiyum Galyum Selenit (CIS)
- Kadmiyum Tellür (CdTe)
- Elektroliz Banyosu

Teorik olarak hesaplandığında $1\ \mu\text{m}$ kalınlığındaki ince film, ışığın enerjiye dönüşmesi için yeterli olduğu kabul edilirken pratik olarak $5\mu\text{m}$ kalınlığında üretilir ve satılır. Monokristal ve polikristal hücrelerin yüzeyleri kirliliğe karşı hassas olmasına karşın ince film hücrelerin kirlilik toleransı çok daha yüksektir (Ardağ 2012).

İnce film hücrelerin verimlilikleri kristal silisyum hücrelere göre düşüktür. Ancak ışınımın az olduğu veya yüksek sıcaklığın olduğu koşullardaki performansı kristal silisyum hücrelerinkinden daha iyidir. Ayrıca bulutlu havalarda da enerji üretimine devam edebilirler. Hücre şekillerinden dolayı gölgelenmeden daha az etkilenirler.

Kristal silisyum güneş pilleriyle kıyaslandığında, daha az enerji ve ham maddeyle üretilmektedir (Gemicioğlu 2011).

İnce film güneş pillerinden yapılan elektronik hesap makineleri flüoresan lamba ışığında bile enerji üretemeyenlerdir. İnce film silisyum güneş pilleri ışığın mor renklerine daha hassastır. Tabanında cam veya şeffaf plastik kullanıldığında mor ışıkları süzer, kırmızı ışıkları iletir (Ardağ 2012).

Esnek Güneş Pili

Esnek güneş pili; esnek, verimli ve uzun ömürlüdür. Kullanım alanları geniş olan bir güneş pilidir. Bu tip güneş pilleri oldukça esnektir. Esnek güneş pilleri oldukça dayanıklıdır. Yapı olarak monokristal veya polikristal olmaktadır. Bu durum, bu enerji pillerinin verimliliklerini de çeşitlendirmektedir. Esnek güneş pillerinin camları ve çerçeveleri olmadığından çok hafiftir. Esnek yapılarından dolayı kubbemsi çatılar için oldukça idealdir. Kurulum için düz zemin aranmamaktadır. Kullanım alanları çok fazladır. Anonim 2019).

Esnek Güneş Pillerinin Avantajları:

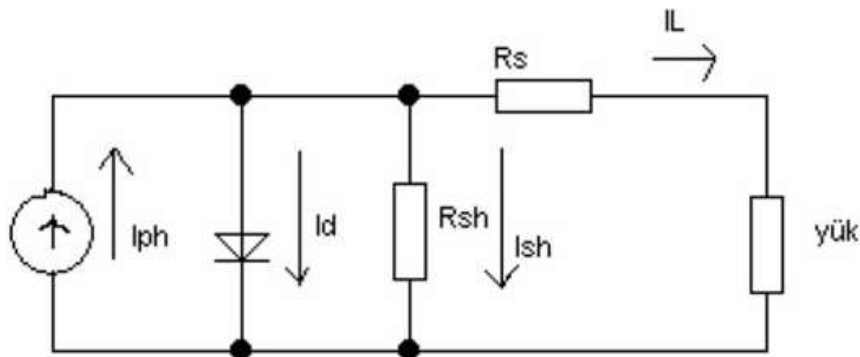
Esnek güneş pilleri kolayca taşınabilir olmasından dolayı ayrı bir özelliği sahiptir. Rulo haline getirilebilen bu piller askeri alanlarda ve bilhassa yatlarda tercih sebebidir. Diğer güneş pillerine göre çok hafiftir.

Kullanım alanı farketmeksiz kurulup ve kullanıma başlanması oldukça kolaydır. Ruloyu açarak güneşin iyi bir şekilde görmesini sağlamak yeterlidir. Sonuç olarak esnek güneş enerji pillerinin önumüzdeki yıllarda yaşamı daha çok kolaylaşacağı kesindir. Ancak verimlilik konusunda zayıf olması, verimliliği artırmayı başarabilecek çalışmaların devam edeceğini göstermektedir. Ayrıca rulo yaparken ve taşıma gerçekleştirirken fiziksel şartları zorlamak ömrünü azaltacağı gibi mevcut veriminin kısa zamanda düşmesine hatta bozulması sebep olacaktır.

Bir çok ülkede özellikle teknelerde (marin) tercih edilen esnek güneş pilleri, çok uluslu markaların hali hazırda ar-ge çalışmaları yaptığı ve pilot uygulamaları kullandığı sistemler haline gelmiştir. (Anonim 2019).

2.4. Güneş Pilinin Eşdeğer Devresi

Güneş pilinin eşdeğer devresine yük bağlanarak Şekil 2.8.'de gösterilmiştir.



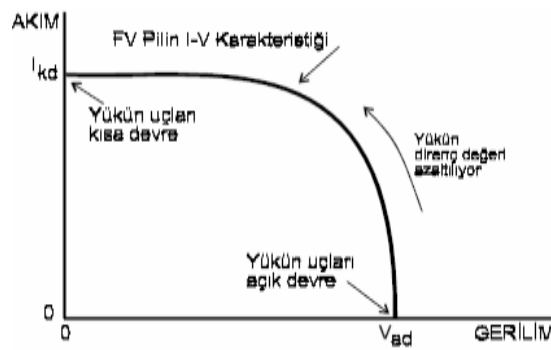
Şekil 2.8. Güneş pili eşdeğer devresi

Şekil 2.8. de;

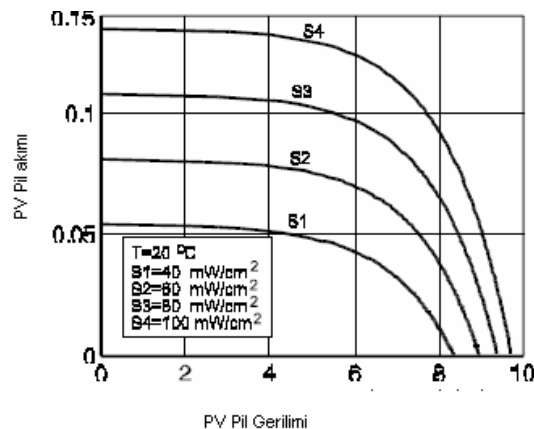
- Güneş pilinin elektrik üretimini sembolize eden akım kaynağıdır.
- Güneş hücresi diyotla modellenmiştir.
- Hücre üzerine düşen ışının elektrik akımını doğru orantılı olarak etkilemektedir.
- Eklemde üretilen enerjinin kutuplara iletilmesi sırasında oluşan kayıplar, seri direnç ile gösterilir.
- Seri direnç hücre verimini doğrudan etkiler.

2.5. Güneş Pillerinin Akım, Gerilim ve Güç Karakteristiği

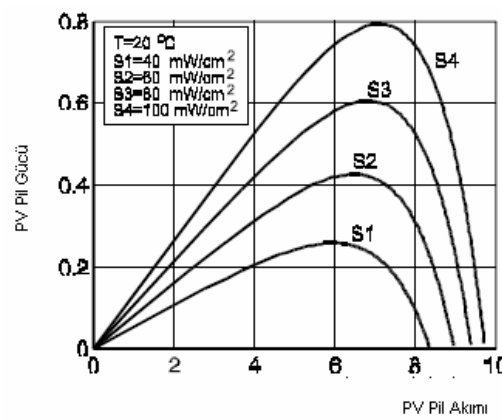
Şekil 2.9., Şekil 2.10. ve Şekil 2.11.'de görüldüğü gibi ışık şiddetindeki artış FV pilin akım ve gerilimi artırmaktadır. Akım ve gerilime bağlı olarak güç de artmıştır.



Şekil 2.9. Güneş pili I-V karakteristiği (Kıncay, Bekiroğlu, Yumurtacı 2016)



Şekil 2.10. Güneş pili I-V karakteristiğinin ışık şiddetine bağlı değişimi (Kıncay, Bekiroğlu, Yumurtacı 2016)

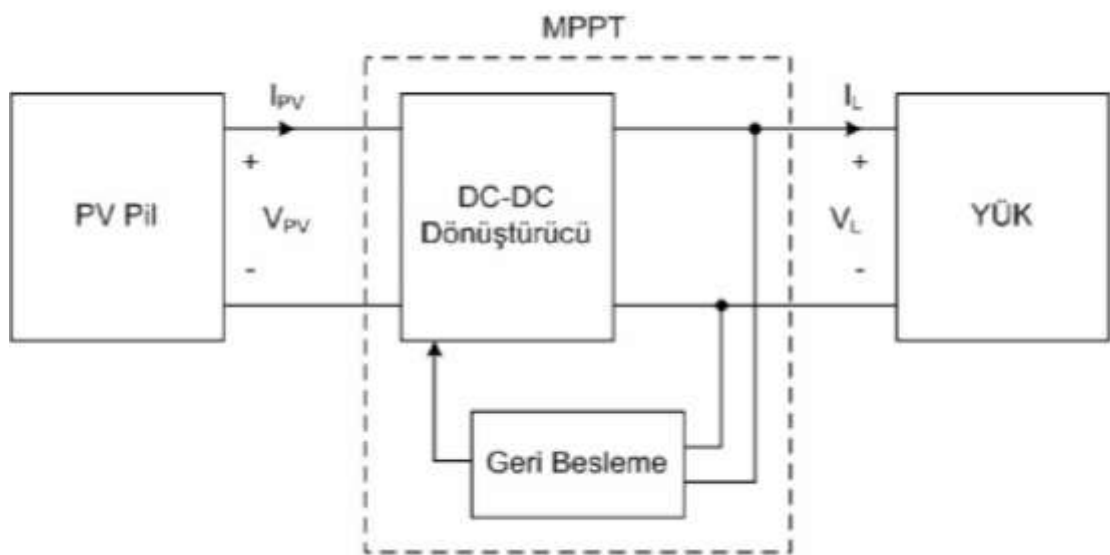


Şekil 2.11. Güneş pili P-V karakteristiğinin ışık şiddetine bağlı değişimi (Kıncay, Bekiroğlu, Yumurtacı 2016)

3. MATERİYAL VE YÖNTEM

3.1. Güneş Enerji Santralinin Verimliliğini ve Ömrünü Belirleyen Etkenler

Şekil 3.1.'de ki blok şemada tüm hatlarıyla görüldüğü gibi temelde bir fotovoltaik santral; FV pil (fotovoltaik hücrelerden oluşan güneş paneli), MPPT (dönüştürücü ve geri besleme), yük (sistemin besleyeceği cihaz) ve solar kablolarından oluşmaktadır. Bu santrale istenirse depolama alt bileşeni yada hibrit sistemler eklenebilir.



Şekil 3.1. FV sistem blok şeması

3.1.1. Güneş Enerji Santrallerinin Verimini Belirleyen Etkenler

Bir fotovoltaik güneş hücresına ulaşan güneş ışığının tamamı elektriğe dönüştürülmez. Aslında çoğu kaybolur. Güneş pili tasarımındaki birçok faktör, bir hücrenin aldığı güneş ışığını dönüştürme yeteneğini sınırlandırmada rol oynar. Bu faktörleri göz önünde bulundurarak bir güneş enerji santralini tasarlamak, verimliliklerini doğrudan etkileyecektir. Yani panel verimine uygun sistem tasarımı da verimi doğrudan etkilemektedir.

Bir fotovoltaik hücrenin dönüşüm verimliliği, kullanılabilir elektriğe dönüştürülen bir fotovoltaik sistemden yansyan güneş enerjisi yüzdesidir. Bu dönüşüm verimliliğini

artırmak araştırmanın temel amacıdır. Verimlilik artışları bu teknolojilerin diğer (konvansiyonel) enerji kaynakları ile maliyet açısından rekabetçi olmasını sağlar.

Güneş İşıma Şiddeti

Işık, geniş bir dalga boyu ve enerjiye sahip fotonlardan veya enerji paketlerinden oluşur. Dünyanın yüzeyine ulaşan güneş ışığının, görünür ve görünmez dalga boyları vardır. Bu ışıklar bir güneş hücresinin yüzeyine çarptığında, bazı fotonlar yansır, diğerleri ise doğrudan geçer. FV hücrelere ulaşan fotonların bazıları enerjilerini ısıya dönüştürür. Kalan kısım ise jonksiyonda elektrik akımına dönüşür.

Sıcaklık Etkisi

Güneş pilleri genellikle düşük sıcaklıklarda en iyi şekilde çalışır. Daha yüksek sıcaklıklar yarı iletken özelliklerinin kaymasına neden olarak akımda haffif bir artışa neden olur, ancak voltajda çok daha büyük bir düşüşe neden olur. Sıcaklıktaki aşırı artışlar hücreye ve diğer panel malzemelerine zarar verebilir ve bu da daha kısa çalışma ömrü sağlar. Hücrelerde parlayan güneş ışığının çoğu ısıya dönüştüğü için uygun termal yönetim hem verimliliği hem de yaşam süresini iyileştirir.

Yansıma Etkisi

Bir hücrenin verimliliği, hücrenin yüzeyinden yansyan ışık miktarını en aza indirilerek artırlabilir. Örneğin, işlenmemiş silikon, gelen ışığın %30' undan fazmasını yansıtır. Yansıma önleyici kaplamalar ve dokulu yüzeyler yansımıayı azaltmaya yardımcı olur. Yüksek verimli bir hücre koyu mavi veya siyah görünecektir.

Rüzgar, Nem, Tozlanma ve Yağış Etkisi

Rüzgar, nem, tozlanma ve yağışında etkisiyle zaman içerisinde panel yüzeylerinde tabaka oluşacağından güneş işinleri panel hücrelerine ulaşamaz. Bu da panel ve sistem verimini negatif yönde etkiler.

3.1.2. Fotovoltaik Panellerin Ömrünü Belirleyen Etkenlerin İncelenmesi

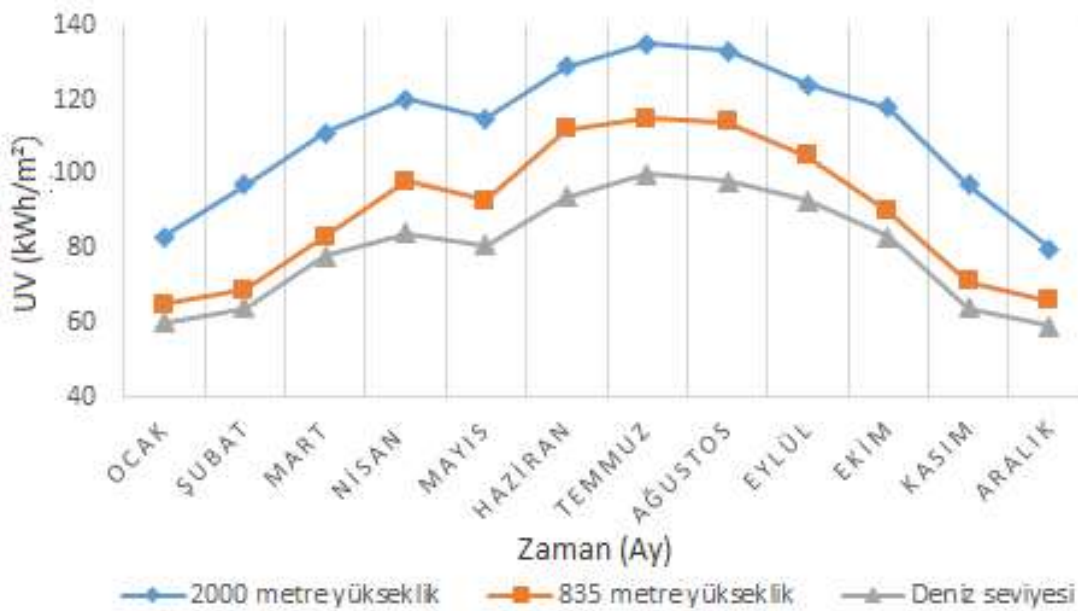
UV Işınların Etkisi

Deniz seviyesinden yukarıya çıkıldıkça her m^2 'ye ulaşan güneş enerjisinin miktarı da artmaktadır.

Güneş spektrumunda bulunan farklı dalga boyları vardır. Bu dalga boyları; UV (ultraviyole) ışık (200 nm - 400 nm), görünür ışık (400 nm - 750 nm) ve kıızılıtesi ışık (750 nm - 1 μm) güneşin spectral ışınlarının büyük bir kısmını ifade etmektedir. UV aralığı spektrumunun yalnızca bir kısmıdır. UV aralığı da kendi içinde 3 dalga boyu aralığından oluşmaktadır. Bunlar; 320 nm - 400 nm aralığında olan (UVA), 280 nm - 320 nm aralığında olan (UVB) ve 200 nm - 280 nm aralığında olan (UVC)'dır. Her bir aralıktaki UV dalga boyunun malzeme üzerindeki etkisi farklıdır. Güneş ışınımındaki UV ışık (200 nm – 400nm) yoğunluğu yüksekliğin ve iklimin etkisiyle yaklaşık olarak %3 ile %5 oranında değişkenlik gösterebilmektedir. FV paneller UV şartlandırma deneyine tabi tutularak imal edilirler. Bu deneyde panelin sıcaklığı, UV (285 nm – 390 nm) ışığına maruz bırakıldığından $60 ^\circ C \pm 5 ^\circ C$ sıcaklıkta dayanıklılık testi yapılmıştır. Bu deney sonucunda, panellerin ömrü yaklaşık 25 yıl olarak belirlenmiştir (TSE 2017). Güneş ışınım enerjisinin %9 ile %11 arasında artışı her 1000 metre yükseklikte bir görülmektedir.

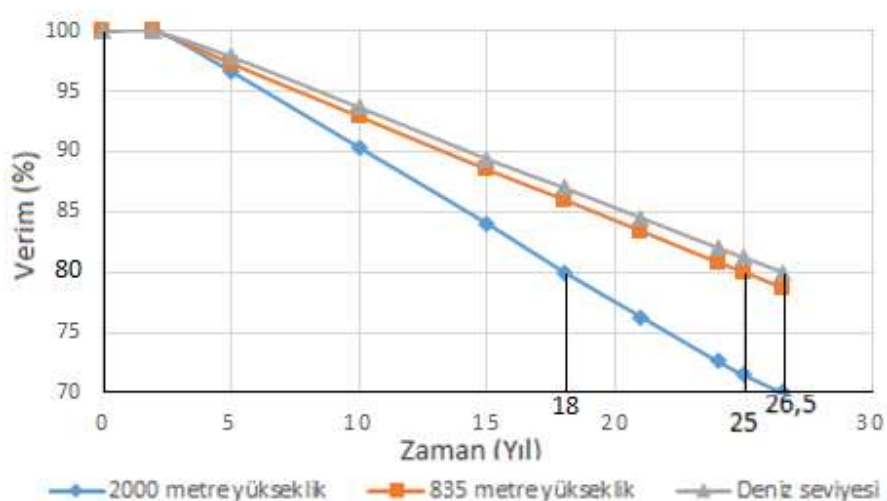
Bursa İli, Orhaneli İlçesi Sırıl Köy'ünün bulunduğu yarı dağlık bölgede güneş enerji santralinin kurulacağı rakım 835 metre olup GEPA'nın güncel radyasyon bilgilerine göre yaklaşık 1570 - 1625 kWh/m²-yıl olacaktır (<http://www.yegm.gov.tr/>).

Deniz seviyesindeki UV ışın seviyesi yaklaşık olarak yıllık 100 kWh/m² olup deniz seviyesinden 3000 metre rakımda 150 kWh/m²'ye ulaşabilmektedir. Yarı dağlık bölgede (835 metre) yıllık UV ışın seviyesi yaklaşık 115 kWh/m²'dir. Uludağ'ın yüksek rakımlı bölgelerinde (2000 metre) ise bu UV ışınlanması seviyesi yaklaşık 135 kWh/m²'dir. Şekil 3.2.'de aynı konumda fakat farklı rakımlara yerleştirilen panellere ulaşan aylık ortalama UV ışın seviyeleri karşılaştırılmıştır.



Şekil 3.2. Aylık ortalama UV ışın seviyeleri (Başay 2019)

FV paneller güneş ışınlama koşullarında çalışıkları için güneş ışığında bulunan UV ışını, panellerde bulunan polimer türevi malzemelerin bozulmasına neden olabilir. Şekil 3.2.'de görünen grafiği baktığımızda 835 metre yükseklikteki bölge deniz seviyesine oranla UV ışınımından daha fazla etkileneceği anlaşılmaktadır. Şekil 3.2.'deki çıkarımlara göre Şekil 3.3.'te UV yoğunluğunun FV panel ömrüne etkisi incelenmiş ve FV panellerin ömrülerinde deniz seviyesine oranla yaklaşık %5,6'lık bir azalma meydana geleceği öngörülmüştür.



Şekil 3.3. UV ışınlarının farklı yüksekliklerde bulunan panellerin ömrüne etkisi

Nemin Etkisi

FV panellerde nem, hava geçiren arka örtü (backsheets) olan EVA (etilen vinil asetat) ve diğer tabakalar aracılığıyla FV panellerin içine nüfuz edebilir. Nüfuz eden nem, korozyona neden olabilecek elektrokimyasal reaksiyona neden olabilir. Nemin etkisiyle FV panellerin ömrü kısaltmaya başlar. Nem nüfuz etmeye devam ettikçe katmanlar arasındaki yapıştırma yüzeylerini bozarak hücrelere kadar ilerler ve FV panel yapısının bozulmasına neden olur. Oluşabilecek bozuklukların araştırmaları yapılmaktadır. Bunlar, yapısında korozyona uğrayan FV panellerinin deformasyonunu incelemek için IEC (Uluslararası Elektroteknik Komisyonu) 61215 standardının belirlediği damp-heat test-DH (yaşa sıcaklık testi) ile doğrulanmaktadır. Nem panel yapısını bozduğu gibi mevcut bozulmaları da hızlandırmaktadır. Bu bozulma temel nedeni de korozyondur. FV panellerdeki nem yoğunluğu her zaman aynı olmayacağı için neme bağlı bozulmayı tahmin etmek zordur.

Escobar ve Meeker (L. A. Escobar and W. Q. Meeker 2006), iki bozulma modelini önermiştir. Bunlar Eyring ve Peck modellerinin çeşitleridir. Eyring modeline dayanan bozulma modeli $R_{D,Eyring}$ denklem (3.8) ile ifade edilir:

$$R_{D,Eyring} = A \exp\left(\frac{-Ea}{kT} - \frac{b}{rh}\right) \quad (3.8)$$

Ea: Termal aktivasyon

k: Bozaltma sabiti

T: Sıcaklık (° K)

rh: Nispi nem

A: Arıza monduna bağlı değişken

b: Arıza monduna bağlı değişken

FV panellerdeki rh, ortam iklimine, panelin arka tabakasının malzeme yapısına ve çalışma şartlarına bağlıdır. Bu nem yoğunluğu difüzyon modeli ile denklem (3.8) ‘de hesaplanabilir.

Peck modeline dayanan diğer bozulma modeli (RD,Peck) denklem (3.9) ile ifade edilir:

$$R_{D,Eyring} = B \exp\left(-\frac{Ea}{kT}\right) (rh)^n \quad (3.9)$$

B: Başarısızlığa bağlı değişken

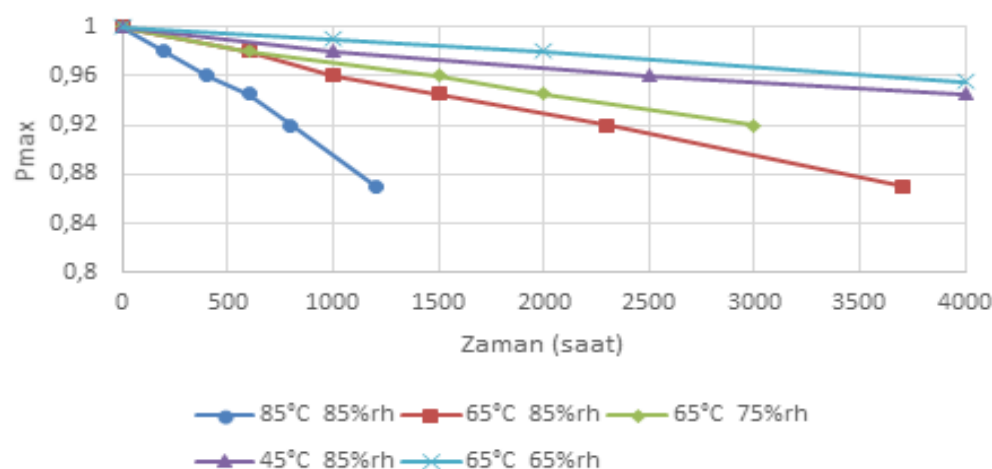
n: başarısızlığa bağlı değişken

Denklem (3.8)'deki Ea değeri ile denklem (3.9)'deki n değerini elde etmek için, denklem (3.10) ve denklem (3.11) kullanılmaktadır:

$$\ln(R_{D,Eyring}) = \ln(A) - \left(\frac{Ea}{kT}\right) - \left(\frac{b}{rh}\right) \quad (3.10)$$

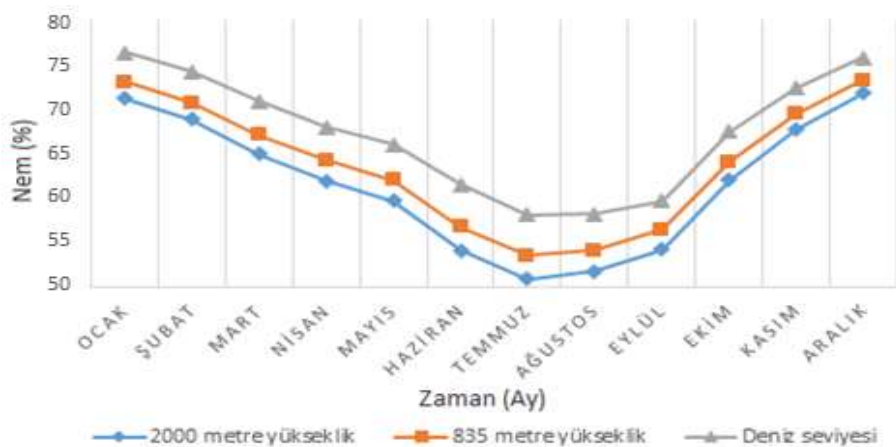
$$\ln(R_{D,Peck}) = \ln(B) - \left(\frac{Ea}{kT}\right) - n \ln(rh) \quad (3.11)$$

Nem oranı ve ortam sıcaklığı FV panellerin yapısında bozulmalara neden olmaktadır. GES'e ait FV paneller DH testine tabi tutulmuştur. Yaş sıcaklık testinde paneller 1000 saat boyunca 85°C'de ve %85 rh bağılı neme tabi tutularak yaşılandırılmıştır. Nemin FV panel üzerindeki etkisini belirlemek için panellere uygulanan hızlandırılmış yaşılanma testleri neticesinde Pmax'ın zamanın bir fonksiyonu olarak doğrusal azaldığı belirlenmiştir. Peck modeli ve Eyring modeli ile bulunan 10 yıllık bozulma oranlarının birbirine yakın olduğu saptanmıştır. Şekil 3.4'te nem ile sıcaklığın FV panelin ömrüne etkisi incelenmiştir.



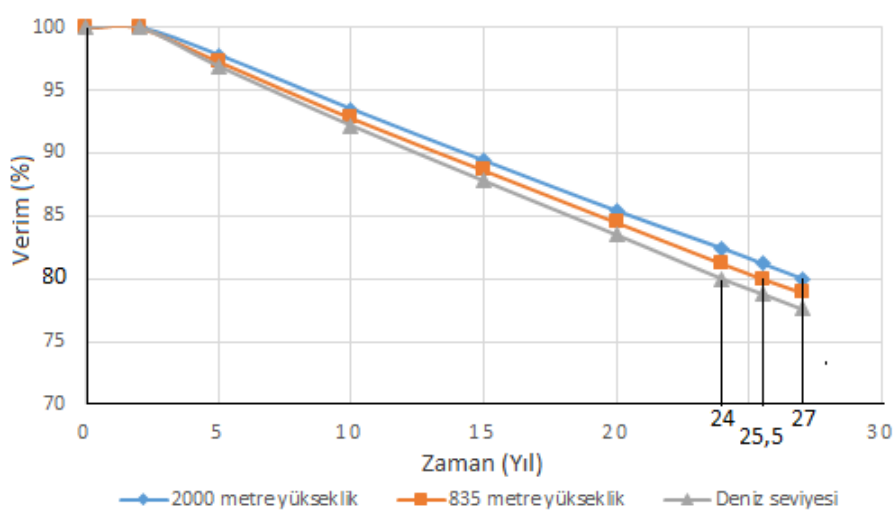
Şekil 3.4. Nemin FV panel çıkış gücüne etkisi (P.Huelsmann, K. A. Weiss and M. Köhl 2012)

GES bölgesinin 1 yıllık aylık ortalama nem yoğunluğunu Şekil 3.5.'te gösterilmiştir.



Şekil 3.5. Aylık ortalama nem yoğunluğu (Başay 2019)

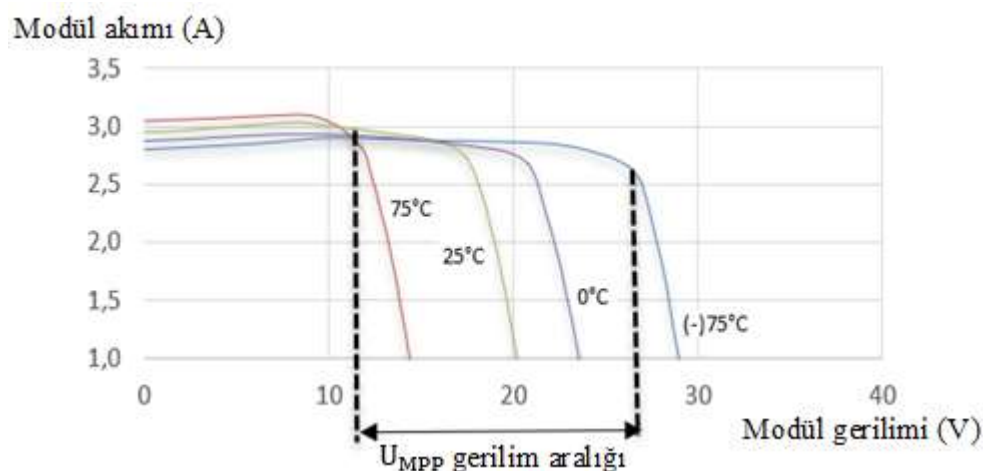
GES'in kurulacağı 835 metre rakımdaki (yarı dağlık bölge) nem oranı %62,8 – %66,6 aralığındadır. Aynı bölge için deniz seviyesi koşullarında nem oranı daha yüksek, 2000 metre rakımda ise nem oranı daha düşüktür (Başay 2019). Şekil 3.5.'te elde edilen grafiğe bakıldığında, nem oranı deniz seviyesi ile kıyaslandığında 835 metrelük rakımda %5,6, 2000 metre rakımda da %7,8 kadar daha azdır (Başay 2019). Bu bulguları dikkate alarak nem oranının FV panel ömrüne etkisi incelenmiş ve Şekil 3.6.'da gösterilmiştir. Sadece nem oranı dikkate alındığında, deniz seviyesindeki panellerin ömrü 24 yıl iken 835 metre rakımda 25,5 yıl, 2000 metre rakımdaki ise 27 yıl olacağı belirlenmiştir.



Şekil 3.6. Havada bulunan nemin farklı rakımlarda kurulan FV panellerin ömrüne etkisi

Sıcaklık Etkisi

FV paneller sıcaklığın belli seviyelerin üstünde yada altında olmasından dolayı olumsuz etkilenmektedir. FV paneller 25°C sıcaklık, 1,5 AM hava kütle katsayısı ve 1000 W/m^2 güneş radyasyonu bulunan ortamda test edilir. FV paneller üzerinde sıcaklığın oluşmasının nedeni panellerin veriminin %100 olmamasıdır. Elektrik enerjisine dönüştürülemeyen enerji ısıya dönüşmektedir. Sıcaklık arttıkça panellerde oluşan gerilim azalacağından çıkış gücünde de azalma olur. Bunun sonucunda Şekil 3.7.'de görüldüğü gibi verim kaybı yaşanmaktadır..



Şekil 3.7. Sıcaklığın panel verimine etkisi

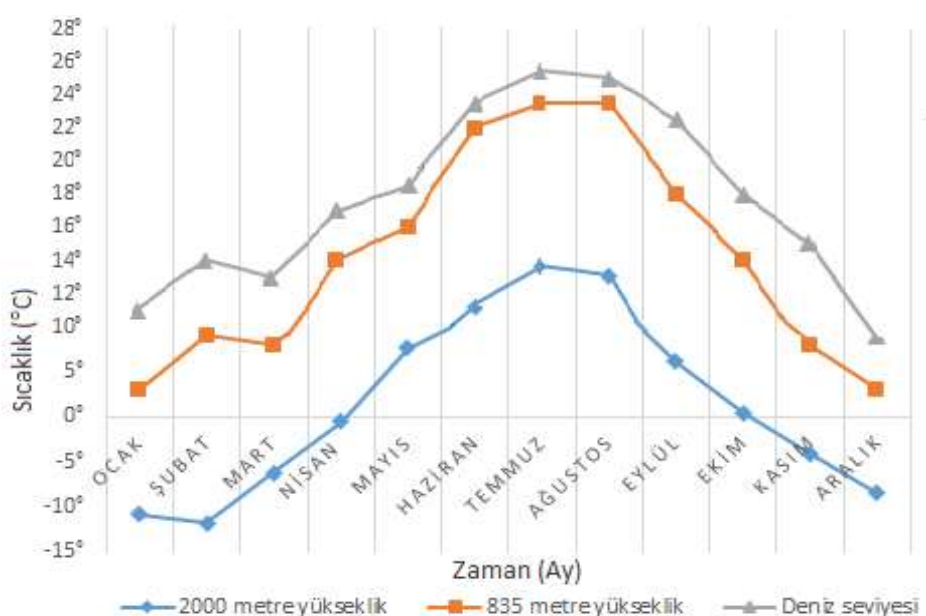
FV paneller yüksek sıcaklığa maruz kaldılarında yapılarında bozulmalar meydana gelmektedir. Bundan dolayı GES'in kurulacağı bölgenin seçiminde ortam sıcaklığı daha düşüktür. Söz konusu yarı dağlık bölge için Meteoroloji Genel Müdürlüğü'ne bağlı, Meteorolojik Veri İşlem Dairesi Başkanlığı Veri Kontrol ve İstatistik Şube Müdürlüğü İstatistik Biriminin verilerine göre ortalama rüzgâr hızının 1,8–2,3 m/sn olduğu belirlenmiştir. Bölgede rüzgârin hızı ile rakımdan kaynaklanan düşük hava sıcaklığı bir arada düşünüldüğünde FV panellerin yapısına olumsuz yönde etki eden sıcaklık sorunu yoktur ve panelleri soğutmak için ekstra önlem almaya gerek kalmamaktadır (Başay 2019).

GES'de 4400 adet 265W gücünde panel kullanılmıştır. Panellerin çalışma sıcaklık aralığı -40 °C ile +85 °C'dir. Panel sıcaklığı 25°C, ışma 1000 W/m^2 , hava kütle katsayısı 1,5 AM'dir.

Panel sıcaklığının verime etkisi şöyle açıklanabilir:

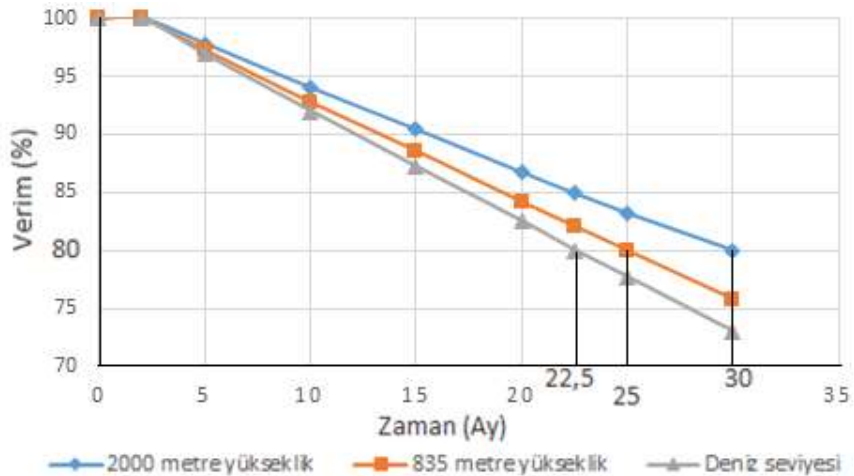
265W gücünde polikristal hücrelere sahip bir panelin verimi %16,2'dir. Çıkış gücüne sıcaklık etkisi yaklaşık olarak (P_m): $-0,00398 \text{ } 1/\text{ }^\circ\text{C}$ kabul edilmektedir. 25°C'lik ortamda paneller 45 °C'ye kadar ısınmaktadır, bu sebepten panel verimi hesabı; Panelin çıkış gücü $x (1 - P_m x (\text{panel sıcaklığı} - 25)) = 265 x (1 - 0,00398 x (45 - 25)) = 243,9 \text{ W}$ olacak yani panel verimi de %14,9 seviyesine düşecektir.

Panel sıcaklığı düştüğünde ise verim artacaktır. Deniz seviyesinde, 835 metre rakımda (GES'in bulunduğu bölge) ve 2000 metre rakımda aylara göre ortalama sıcaklık hava sıcaklığı bilgileri Şekil 3.8'de gösterilmiştir.



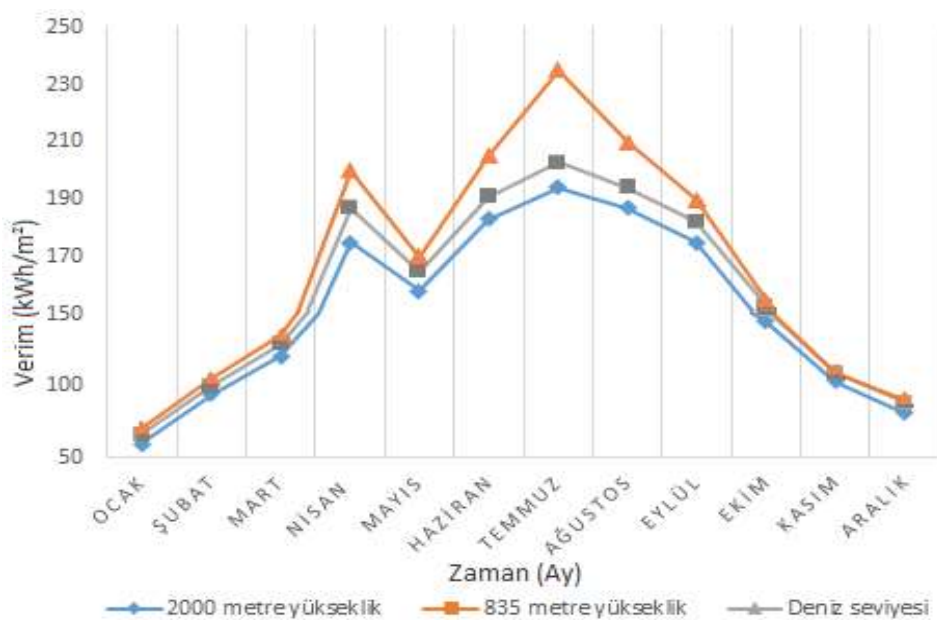
Şekil 3.8. Aylık ortalama hava sıcaklığı bilgileri (Başay 2019)

Şekil 3.8.'e bakıldığından GES'in bulunduğu bölgedeki sıcaklık deniz seviyesine oranla daha azdır. Yalnızca sıcaklık dikkate alındığında, Şekil 3.9.'da da görüldüğü gibi deniz seviyesindeki panellerin ömrü 22,5 yıl iken 835 metre rakımda 25 yıl, 2000 metre rakımda ise 30 yıl olacağı hesaplanmıştır.



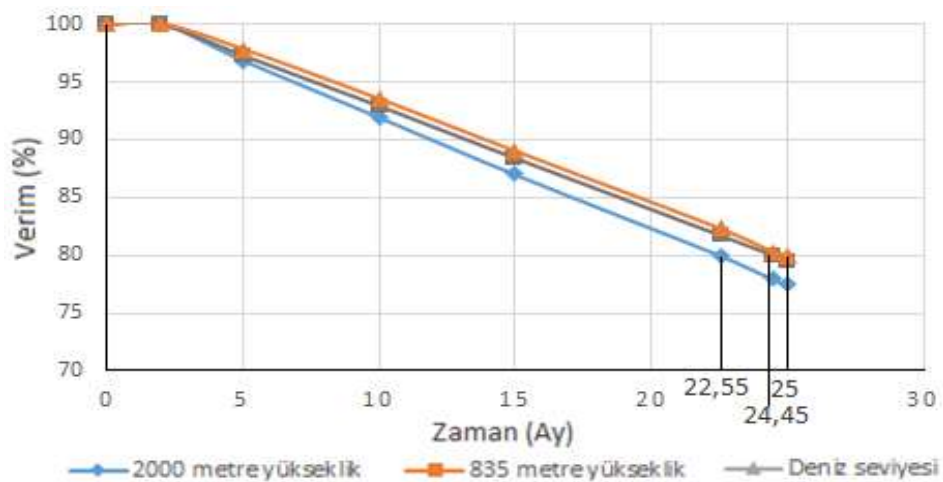
Şekil 3.9. Sıcaklığın farklı yüksekliklerde bulunan panellerin ömrüne etkisi

FV panellerin verimini ve ömrünü belirleyen UV ışınlarının şiddeti, nem oranı ve sıcaklık değerlerinin toplam etkisi göz önüne alınarak aynı enlem ve boylamda yer alan ve 3 farklı rakımda kurulan FV panellerin verimlilikleri Şekil 3.10.'da ömür süreleri de Şekil 3.11.'de verilmiştir.



Şekil 3.10. Tüm olumsuz etkilerden sonra toplam verimlilik

Nisan-Mayıs aylarında görülen yağış ve bulutlanmadan kaynaklanan güneş ışınınının azalması verimi negatif yönde etkilerken UV ışınlarının seviyeleri ve sıcaklığın düşmesi FV panel ömrünü yaklaşık %14 uzatacaktır.



Şekil 3.11. Tüm olumsuz etkilerden sonra toplam panel ömürleri

Ulaşılan sonuçlara bakıldığında yaklaşık olarak 835 metre rakımdaki FV panellerin ömrünün 25 yıl, deniz seviyesindeki FV panellerin 24,45 yıl ve 2000 metre rakımdaki FV panellerin ömrünün de 22,55 yıl olacağı tespit edilmiştir.

3.2.SOLAR KABLOLAR

3.2.1. Solar Kablo Nedir?

EN 60364-7-712 nolu standartına uygun olarak güneş paneli uygulamaları için özel olarak imal edilen, açık veya kapalı ortam şartlarında aşırı soğuk ve aşırı sıcak havalara karşı dayanıklı olan 25 yıl ömürlü FV sistem iletkenidir. Şekil 3.12.’ de bir solar kablo örneği görülmektedir.



Şekil 3.12. FV1-F DC solar kablo (ERSE 2018)

3.2.2. Solar Kabloların Akım Taşıma Kapasiteleri

Solar kabloların akım taşıma kapasiteleri iletken özelliklerine göre Çizelge 3.1.’de verilmiştir.

3.2.3. Solar Kabloların Ömrü

Solar kabloların ömrü belirlenen standartlar çerçevesinde 25 yıl olarak belirlenmiş ve bu standart doğrultusunda hareket edilmektedir. Ancak standart dışı olan yoğun UV ışınlarına maruz kalma, aşırı sıcak(yanıcılık sağlayacak düzeyde) altında kalma, aşırı gerilme ve sürekli stres altında kalma, yanlış montaj ve iletken bağlantısı gibi durumlarda kablo ömürleri öngörülememektedir.

Çizelge 3.1. Solar kablo kesitlerine göre teknik parametreler (PRYSMIAN 2017)

Nominal kesit (mm ²)	İletken çapı (mm)	Kablo çapı (min mm)	Kablo çapı (max. mm)	Yaklaşık net ağırlık (kg/km)	Min. bükmeye yarıçapı (mm)	İzin verilen max. gerilme yükü (N)	60°C ortam sıcaklığında, akım taşıma kapasitesi (Serbest havada) (A)	İzin verilen kısa devre akımı (1 sn.) (kA)
1,5	1,6	4,4	4,8	29	14,4	23	29	0,19
2,5	1,9	4,7	5,1	43	15,3	38	41	0,32
4	2,4	5,2	5,6	58	16,8	60	55	0,5
6	2,9	5,7	6,1	76	18,3	90	70	0,76
10	4	6,8	7,2	120	21,6	150	98	1,26
16	5,5	8,3	9	178	36	240	132	2,01
25	6,4	10	10,7	273	43	375	176	3,15
35	7,5	11,1	11,8	364	47	525	218	4,41
50	9	12,6	13,3	500	53	750	276	6,3
70	10,8	14,4	15,2	686	61	1050	347	8,82
95	12,6	16,2	17	899	68	1425	416	12
120	14,3	17,7	18,7	1131	75	1800	488	15,1
150	15,9	19,7	20,7	1382	83	2250	566	18,9
185	17,5	21,3	22,3	1669	89	2775	644	23,3
240	20,5	24,2	25,5	2208	102	3600	775	30,4

3.2.4. Solar Kabloların Ömrünü Belirleyen Etkenlerin İncelenmesi

Kablolar Üzerindeki Termal Etki

Günümüzde güneş enerjisinden faydalananma eğiliminin artmasıyla buna bağlı olarak kurulan santral sayısı da artmıştır. Bu artış, kablo kullanımındaki artışı da beraberinde getirmektedir. Artan kablo miktarının uzunluğu ve kesiti sistem tasarımcıları tarafından kabloların termal davranışına göre belirlenmektedir. Kablo kesitinin seçiminde birtakım kısıtlamalar vardır. Bunlar; ortam sıcaklığı ve dielektrik malzemesinin kalınlığı gibi faktörlerdir. Termal oluşuma göre kablo seçiminin avantajları da vardır. Örneğin; FV sistemlerdeki olusabilecek muhtemel yangınların önüne geçmek için elektrik sistemindeki aşırı ısınma dikkate alınır. Birdiğeri ise tasarım süresince kabloların ağırlığı ve elektrik kablolarının maliyetlerinin azaltılmasıdır.

Solar kablolarında matematik modellemelerin amacı, kabloya akım verildiği zaman iletken üzerindeki sıcaklık ve geçici termal etkiyi tahmini kolaylaştırmaktır. Geliştirilen metodolojik yapının geometrik alt dallarına dayalı olacak şekilde sonlu ve farklı yöntemlerden esinlenerek ağ yapıları oluşturulur. Ağ metodunun uygulanmasıyla sonlu elemanlar metodu solar kablo üzerinde uygulanabilir. Ağ yapıları arasındaki ısı transferi yaklaşık olarak tanımlanır.

Matematiksel eşitlik her düğüm noktası için ayrı ayrı yazılır, her düğüm noktası kablonun tüm termal devresinin göstergesi olur. Ardından düğüm noktaları matris sistemine transfer edilir. Elde edilen sistem lineer olmadığı için Crank Nicolson nümerik metodu istenilen sonuca ulaşmak için en uygun yöntemdir. Her düğüm noktasında geçici termal durum ve sistem içi güç üretimi için ısıl verilen denge denklem 3.12'de görüldüğü gibi elde edilir.

$$E_{giriş} + E_{üretilen} = E_{çıkış} + E_{depolanan} \quad (3.12)$$

N düğüm noktası için, N 'nin analitik sistem eşitliği kolayca elde edilir ve N^2 iki boyutlu matris yapısına çevrilerek sistem çözüme ulaşır.

$$[G_{ij}].[T_i] + [\dot{Q}_i] = [C_{ij}].\left[\frac{dT_i}{dt}\right] \quad (3.13)$$

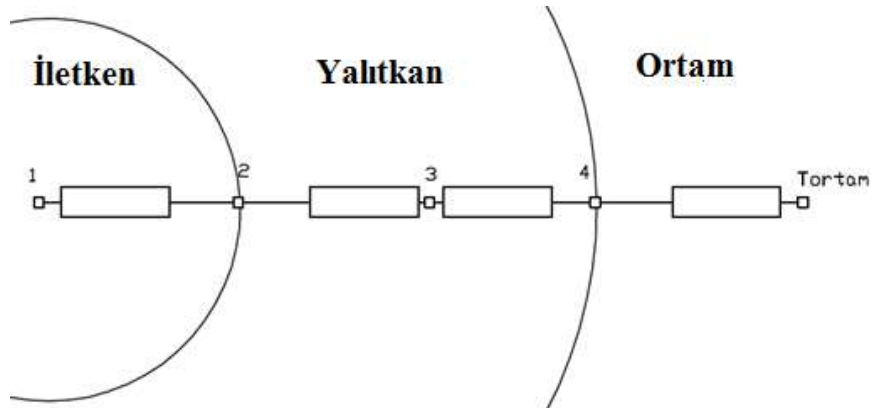
$[G_{ij}]$: Termal iletkenlik matrisi.

$[T_i]$: İletim ve yayılımdan dolayı radyasyonik sıcaklık vektörü.

\dot{Q}_i : Yapının izotermal hacmi.

$[\dot{Q}_i]$: Vektörü iç güç üretimini.

Denklem 3.13.'ü Şekil 3.13. 2B kabloyu temsil eder. Bu özellikle göre elde edilen termal devre ile birlikte seçilen düğümleri ile yapının alt kısımlarını temsil eder. Devre elemanları aktif ve pasif olarak ikiye ayrılır. Bundan esinlenerek kablo içerisinde oluşan termal devre pasif devre elemanları ile temsil edilmektedir. Termal rezistans için elektrik direnci, termal yoğunluk ise kapasitans olarak kullanılır.



Şekil 3.13. Tek iletkenli yapıdaki ısıl dirençler

Şekil 3.13.'de 1 numaralı düğümdeki izotermal bölgede üretilen gücü göstermektedir. 1. düğüm ve 2. düğüm arasında olan rezistans iletim yolu ısır transferini temsil eder. 2. düğüm, bakır ve elektriksel yalıtkan arasındaki arabirim ifade eder. 4. düğüm kablo etrafında olan hava ile ısır transferini yapmasını sağlar. Bu yapıda atmosfer sıcaklığı ortam sıcaklığına eşit kabul edilerek iletim tarafından olan akı ihmali edilmiştir. Sistem 2 adet sınır koşuluna sahiptir. Dış düğümde dT/dt sıfıra eşit olduğunda homojen Neumann tipi ve dışsal sıcaklığın verisi T_{ortam} ve $T_{atmosfer}$ sabit olduğunda Drichlet tipidir.

Termal davranış incelediğinde, malzemenin ısır sıgası C_{th} , malzemin $\rho_{materyal}$ yoğunluğu, $S_{malzeme}$ kesit alanı, özgül ısısı $C_{materyal}$ ve düşünülen alanın kesiti ile bir metrelilik numune ile örnek için hesaplanabilir. İç enerjinin ve ısır kapasitesinin değişimini ifadesi sırasıyla denklem 3.14 ve 3.15'de gösterilmektedir.

$$\dot{Q}_{th} = S_{malzeme} \cdot \rho_{malzeme} \cdot C_{malzeme} \cdot \frac{dT}{dt} \quad (3.14)$$

$$C_{th} = S_{malzeme} \cdot \rho_{malzeme} \cdot C_{malzeme} \quad (3.15)$$

Sonuç olarak; sadece bir iletim yapısını düşündüğümüzde, kablonun dış yüzeyi ve iç hava arasındaki iletimi ifade eder. Bunun yanı sıra kablolar yaklaşık bu iletimi hapseder. Bu durum Şekil 3.13.'de görülen dış çap R_0 tarafından yapılır.

İç iletim yapısının modelini çıkarmak için Churcill ve Usagi denklemi denklem 3.16'da verilmiştir.

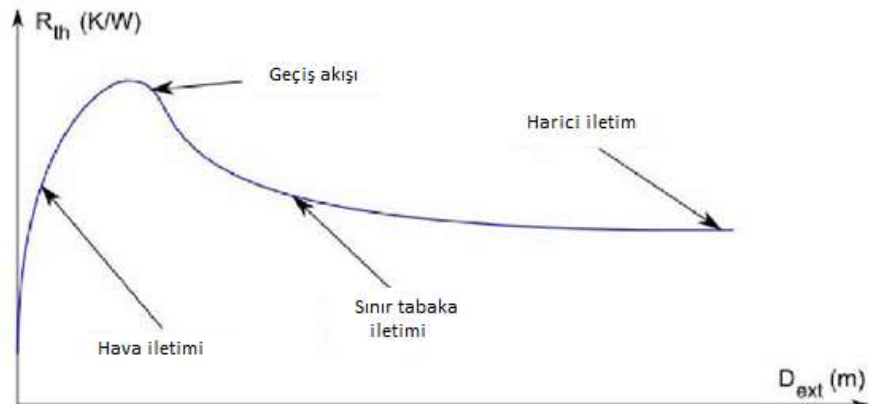
$$Nu_{conv} = \dot{S}_{pi} + [Nu^{-n}Tr + Nu^{-n}bl]^{-\frac{1}{n}} \quad (3.16)$$

Formüle baktığımızda dış yarıçapta üç farklı evre için ısı transferi düşünülmüştür.

İletim yapısının faktörü S_{pi}^* Fourier yasası tarafından hava iletimini temsil eder ve önemli hapsediş esnasında etkilidir.

$$S_{pi}^* = \frac{2}{\ln(\frac{R_o}{R_i})} \quad (3.17)$$

Evrenin ikinci safhasında Nu_{bl} sınır tabaka iletimini temsil eder, ısı tutma önemsiz olduğunda, asimptot serbest iletime meyillenir.



Şekil 3.14. Dış çap iletimi tarafından oluşan termal direnç (Grandvullemmin ve ark. 2007)

Şekil 3.14.'de dış yarıçap baktığımızda bu evrelerin farklarını gösterir. Dış yarıçap arttıkça çember yapılı iletim sabit olur. Serbest iletim için iç termal iletim tanımlanmış Nusselt sayısı ile denklem 3.18 ve 3.19'da görüldüğü gibi hesaplanabilir.

$$G_{conv} = h * S = h * \pi * D_i = \frac{\lambda * Nu_{conv}}{D_i} * \pi * D_i \quad (3.18)$$

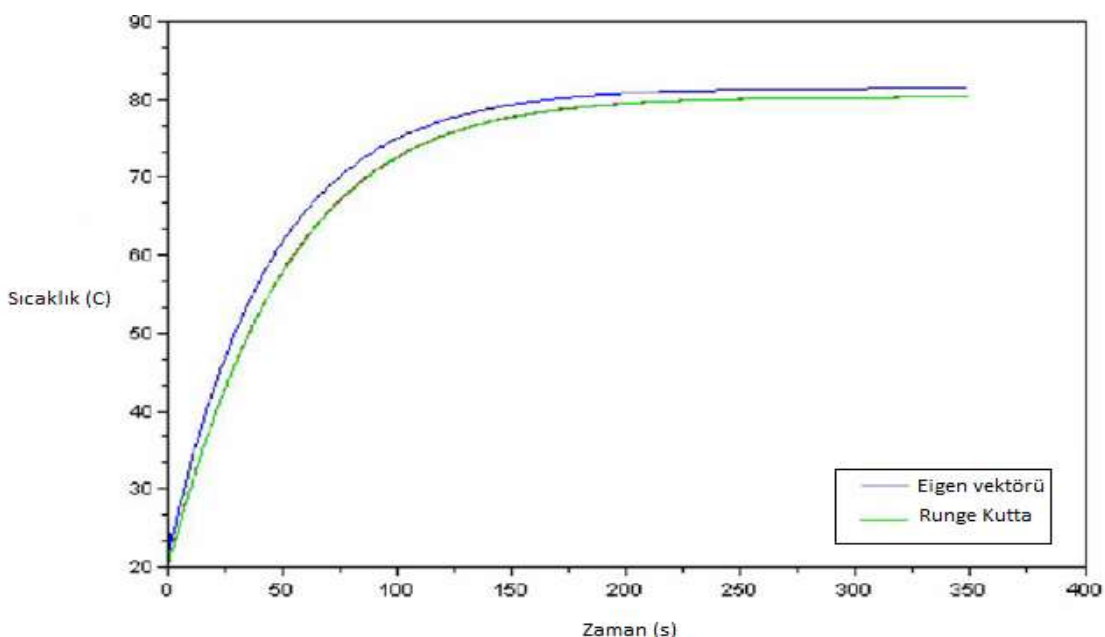
$$G_{conv} = \lambda * Nu_{conv} * \pi \quad (3.19)$$

Her düğüm için ısı ifadesi cebirsel olarak yazıldıktan sonra çözümlenebilmesi için matris yapısına çevrilir.

Şekil 3.13.'deki düğüm 1'deki iletim ve ışınım yapısı için referans olan aki ya da sıcaklık sebebiyle joule kayıplarından (\dot{Q}_1) dolayı sistemin son vektöründe ısı üretimi olduğu görülür. Bu sıcaklıklar sabit olup ısının güç kaynağı vektörüne transferi kolaylaşmaktadır. İletim, ışınım ve omik kayıp değişkenleri sıcaklığa bağlı olarak aşağıdaki iki yolu takip eder;

- Bu sistem katsayılarının sabit olduğu durumda çözülür ve sonrasında özvektör yöntemi kullanırız,
- Değişkenleri ele alıp ve Euler, Runge-Kutta gibi temel yöntemleri da kullanarak sistem çözümme ulaşır.

Şekil 3.15.'de Eigen vektörü ve iki sayısal yöntem olan Euler ve Runge-Kutta ile 30A ile beslenen 1.5 mm²'lik kablo karşılaştırılmıştır. Farklı çözünürlük derecesine sahip yöntemlerde sayısal sonuçlar birbirine yakın olmaktadır.

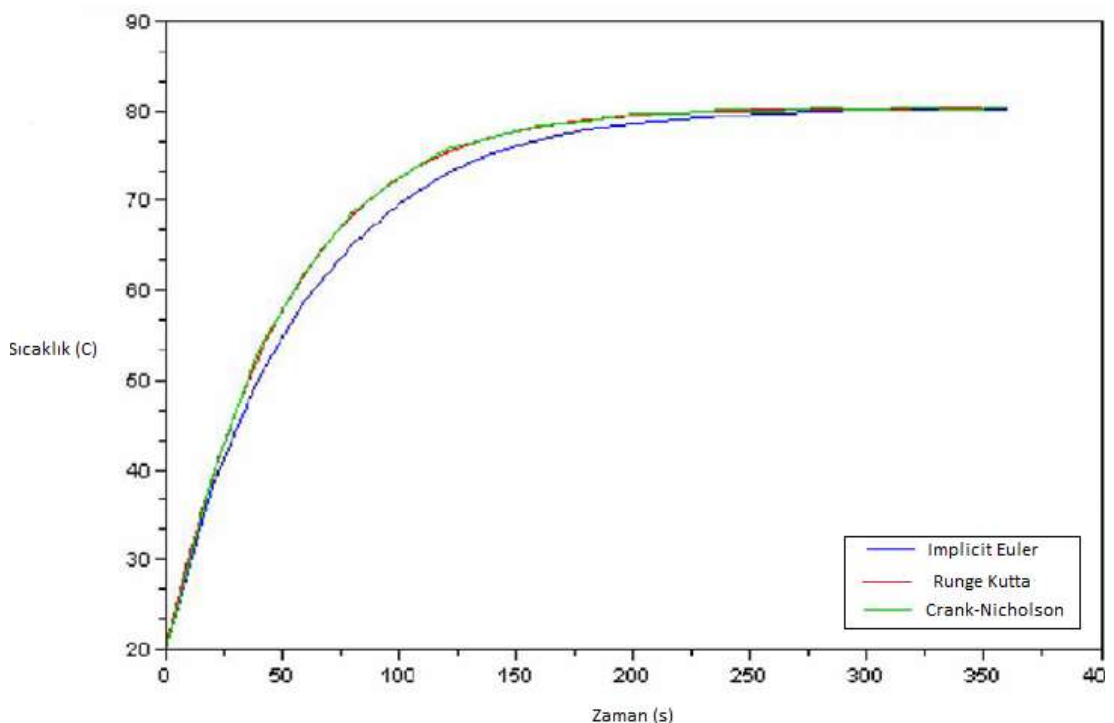


Şekil 3.15. T(t)'nin analistik ve nümerik yöntemler ile karşılaştırılması (Grandvullemín ve ark. 2007)

İncelenen yöntemlerden denklem 3.19'da gösterilen Crank-Nicolson doğru sonucu veren yöntemdir. Üstü kapalı bu yöntem sürekli kararlıdır. Hatta ikinci derecede Euler yöntemi ile kıyasladığımızda daha doğru sonuç verir.

$$[T_n^{i+1}] = \left[\left[\frac{[C_n]}{\Delta T} - \frac{[G_n]}{2} \right] \right]^{-1} * \left[[T_n^i] * \left[\frac{[G_n]}{2} + \frac{[C_n]}{\Delta T} \right] + [Q_n] \right] \quad (3.19)$$

Şekil 3.16.'da birkaç sayısal metod karşılaştırılmıştır. Runge-Kutta çözünürlüğü 4. derecede olduğu yerde diğer üstü kapalı yöntemlerin zaman basamakları 20 saniyeye sabitken kesin referans basamak zamanı 1 saniye ile düşünülmektedir. Bu zaman basamağı farkına rağmen Crank-Nicolson yöntemi Runge – Kutta yöntemi ile çözünürlük süresinin az olduğu durumda en iyi hassaslığı yakalayarak yaklaşık benzer sonuçları verir. (Grandvullemmin ve ark. 2007)



Şekil 3.16. $T(t)$ 'nin bazı nümerik yöntemler ile kıyaslanması (Grandvullemmin ve ark. 2007)

3.3.Sonlu Elemanlar Yöntemi

Mühendislik problemlerinde çözüm için kullanılan kısmi diferansiyel denklem ya da fonksyonları kısaltıp formülleştirebilen ve çözümleri için yaklaşım yöntemi kullanılarak işlem yapılan sayısal yönteme sonlu elemanlar yöntemi denir.

Bu yöntem; fizik ve matematiğin kullanıldığı, ısı transferi, akışkanlar mekaniği, gerilme analizi, darbe analizi, dalga yayılımı, elektrik ve manyetik alanların hesaplanması gibi konuların çözümünde kullanılır. Sonlu elemanlar yönteminin bir çok avantajı vardır. Karmaşık olan problemlerde karmaşıklığı alt sınıflara bölerek daha detaylı çözüme olanak sağlar, karmaşıklığın genelinde basite indirmeye gerek kalmaz, matematiksel olarak genelleştirilip birden fazla problem için tek model kullanılabilir. Dezavantajları ise bazı problemlerde bulunan sınır koşullarının uygulanmasında ve ağ yapısının bölünmesinde bir takım zorluklar vardır. Problemlerin çözümünde doğru sonuçlara ulaşmak için uygulanacak ağ yapısında tecrübe gereklidir. Sonlu elemanlar yönteminini bilgisayar ortamında kullanmak üzere bir takım paket programlar geliştirilmiştir. Bu programların bir kaç tanesi Fortran, ABAQUS, ANSYS, Nastran, Patran, Marc'dır. Bu programlarda çözüm için problem geometrisi 3B olarak ya da istenen problem tipine göre 2B olarak CAD programlarında ya da sonlu elemanlar yönteminin uygulandığı paket programların CAD araç kutusunda modellenir. Modellemenin ardından çözüm istenen karmaşık bölüm tüm karmaşık yapıya göre alt kısımlara ayrılarak ağ yapısına ayrılır. Karmaşık yapıyı alt birimlere ayırıp ağ yapısını olabildiğince az sayıda tutmak çözüm süresini kısaltır fakat beraberinde çözümlerde bulunan sonuçların hassasiyetinin düşebilmesi problemini de beraberinde getirir. Bu sebeple sonlu elemanlar yöntemi kullanılacak programın yüksek hızlı bilgisayarda yapılması çözüm süresi ve elde edilen sonucun doğruluğa ulaşması açısından önemlidir. Ağ yapısı uygulanan karmaşık yapıya sınır koşulları girilerek sonuca ulaşılır. Günümüzde bu programlar ile bulunan verileri, deneysel olarak ulaşılan sonuçları ve yapılan çalışmaları incelediğimizde büyük doğruluk oranına sahip olduğu görülmektedir. (Moaveni 2015)

4. BULGULAR ve TARTIŞMA

Yapılan çalışmaların sonunda ortaya çıkan bulguların amacı, farklı ortam sıcaklıklarında kullanılacak solar kabloların en yüksek yüklenme koşulunda, kablo sıcaklık sınıfları dikkate alınıp akım taşıma kapasitesinin uygulama ve simülasyon ortamında belirlenmesidir.

4.1. Benzetim ile Yapılan Bulgular

Birtakım bulgular için matematiksel model üzerinde çalışılmıştır. Solar kablolarдан geçebilecek en yüksek akım benzetim ile matematiksel olarak modellenmiştir. Modelleme için kablonun öz direnci üzerinden en yüksek direnci gibi hesaplanır. Akabinde iletken kesitine göre direncin hesaplama öncesi değeri denklem 4.1'deki gibi belirlenir. τ_{max} değeri denklem 4.2'de görüldüğü gibi öz dirence bağlı olarak hesaplanır. Sınır şartı olarak solar kablonun kullanılacağı ortamdaki sıcaklığı T_{Ortam} denklem 4.3'de yerine koyulur. Solar kablo üzerinden geçecek akım ve uygulanacak zaman da denklemde yerine koyulur.

Hesaplamalar sonucu denemeler yapılarak en az kablo sıcaklığı 100 °C'ye gelecek şekilde zaman sabitlenir ve akım değiştirilerek en yüksek akım taşıma kapasitesi elde edilir. Bu deneme yöntemini ortadan kaldırmak için denklem 4.3'deki parametreler excell'de yalnızca kablonun ulaşacağı en yüksek sıcaklık, ortam sıcaklığı ve akımın uygulanacağı zamanla bilgileri girilerek en yüksek akım kapasitesinin bulunması hedeflenmiştir. Benzetim ile modellemede kullanılan formüller şöyledir:

$$R_{kablo} = \frac{Rc^{1,275}}{354,8} \quad (4.1)$$

R_c Kesite göre kablo öz direnci, R_{kablo} en yüksek kesit direncidir.

$$\tau_{maxRc} = \frac{194,98}{Rc^{0,645}} \quad (4.2)$$

τ_{maxRc} , zaman sabitidir.

$$Akım = \sqrt{\frac{(T_{Kablo} - T_{Ortam})}{R_{kablo} * \left(1 - e^{-\frac{zaman(sn)}{\tau_{max} R_c}}\right)}} \quad (4.3)$$

T_{Ortam} ortam başlangıç sıcaklığı, T_{Kablo} deney sonucu solar kablonun ulaşacağı sıcaklıktır.

Solar kablo kesitine ve zamana bağlı olarak benzetim ile çözümlenen en yüksek akım değerleri aşağıdaki çizelgelerde belirtilmiştir. Burada; 1.5 mm^2 için $20^\circ\text{C} - 100^\circ\text{C}$, $40^\circ\text{C} - 100^\circ\text{C}$ ve $60^\circ\text{C} - 100^\circ\text{C}$ sıcaklık koşullarına göre zamana bağlı akım taşıma kapasitesi çizelge 4.1., 4.2. ve 4.3.'de gösterilmiştir. Diğer solar kablo kesitlerine ait hesaplanan değerler ek 4'de çizelgeler ile gösterilmiştir.

Çizelge 4.1. 1.5 mm^2 kablo için $20^\circ\text{C} - 100^\circ\text{C}$ arası akım taşıma kapasitesi

1.5 mm^2	$20^\circ\text{C} - 100^\circ\text{C}$
Zaman (sn)	Akım (A)
1	115
2	80
5	54
10	41
100	26
1000	24
3600	23

Çizelge 4.2. 1.5 mm^2 kablo için $40^\circ\text{C} - 100^\circ\text{C}$ arası akım taşıma kapasitesi

1.5 mm^2	$40^\circ\text{C} - 100^\circ\text{C}$
Zaman (sn)	Akım (A)
1	98
2	69
5	46
10	36
100	22
1000	21
3600	20

Çizelge 4.3. 1.5 mm² kablo için 60 °C -100 °C arası akım taşıma kapasitesi

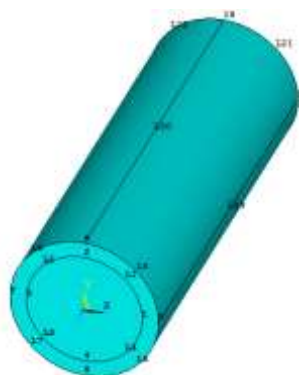
1.5 mm ²	60 °C -100 °C
Zaman (sn)	Akım (A)
1	84
2	59
5	41
10	30
100	19
1000	17
3600	16

4.2. Sonlu Elemanlar Yöntemi ile FV Kablolarının Simülasyonu

Yapılan çalışmada FV sistemlerde kullanılan farklı kesitlerdeki solar kabloların akım taşıma kapasiteleri zamana bağlı olarak deneysel ve benzetim ile belirlenmiştir. FV sistemlerin kullanıldığı ortamların sıcaklıkları kullanıldığı coğrafyaya göre değişkenlikler göstermektedir. Bu da farklı sınır koşullarını oluşturmaktadır. Bundan dolayı B tipi -40 °C / +100 °C arasında çalışan solar kablolar üzerinde deneyler yapılmıştır. Bu solar kabloların en yüksek dayanabileceği sıcaklık 120 °C'dir. 120 °C'yi aşan solar kablolar deform olup dış yalıtkanlarının erimesi de deneysel olarak gözlemlenmiştir. Benzetim ile yapılan çalışmada 3 farklı ortam sıcaklığına göre akım kapasiteleri belirlenmiştir. En yüksek sıcaklık 100 °C alınarak başlangıç sıcaklığı 20 °C, 40 °C ve 60 °C için üç farklı başlangıç koşulunda analiz yapılmıştır. Yapılan analizlerde 1 metrelilik kablo örnekleri kullanılmıştır. Farklı kablo tipleri için farklı sürelerde akım uygulandığı varsayılarak sonuçlara elde edilmiştir. Akım uygulama süreleri her kablo için 1, 2, 5, 10, 100, 1000 ve 3600 saniye olarak belirlenmiştir. Uygulanan akım süresi boyunca solar kabloların üzerindeki termal değişimi ve bu termal durumun davranışını gözlenmiştir. Ek 4'deki tablolarda benzetim ile yapılan çalışmada elde edilen sonuçlar görülmektedir.

Yapılan çalışmada bilgisayar yardımı ile solar kabloların ısıl analizi de yapılmıştır. ısıl analiz için ANSYS programının Mechanical APDL modülü kullanılmıştır. Yapılan deneylerde tek damarlı bakır iletkenli solar kablo örnekleri kullanılmıştır. Simülasyon

aşamasında izlenen adımlarda öncelikle ANSYS içerisinde Şekil 4.1.'de görüldüğü gibi geometrik model hem iletken hem de yalıtkanı kapsayacak şekilde oluşturulmuştur. Oluşturulan geometri alt geometrilere bölünerek sınır şartlarını da bu bölünmüş geometrilere uygulayarak analiz kolaylaştırılır. Yapılan çizimdeki tüm kablolar için kablo boyu 0.02 m, kablo iletken ve yalıtkan çapları ise malzemelerin ısı iletim katsayılarına bakılmaksızın standardın belirlediği ölçüler kullanılarak çizilmiştir.

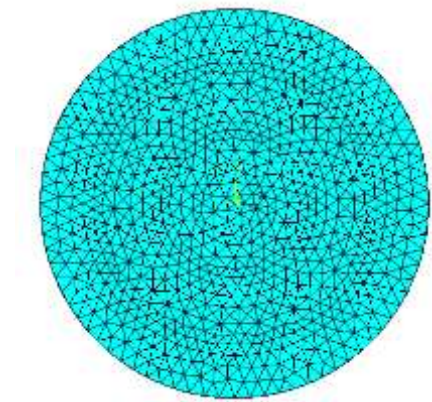


Şekil 4.1. Geometrinin hacimlere bölünmesi

Sonlu elemanlar metodu ile çözüm için geometrinin oluşmasından sonra bu geometri ağ yapısına bölünmelidir. Ağ yapısı içerisinde bulunan Şekil 4.2.'de gösterilen düğüm noktalarının sık olması ile çözümde elde edilen sonuçların hassasiyetinin artması doğru orantılıdır. Fakat dezavantaj olarak ağ yapısındaki düğümlerin fazla oluşu çözüm süresini uzatmaktadır. Bu sebeple geometrideki çözüm açısından öncelikli kısımlar daha sık ağ yapısına bölünürken diğer kısımlarda daha boşluklu yapı uygulanabilir. Şekil 4.3.'de kesitini aldığımız bakır iletkenli solar kablonun ağ yapısı uygulanmış şekli görülmektedir.

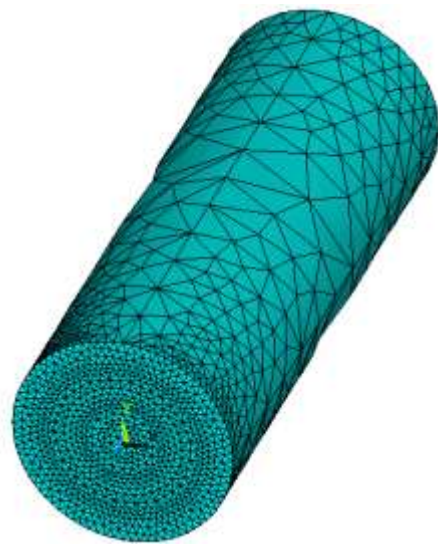


Şekil 4.2. Düğüm yapısı



Şekil 4.3. Ağ yapısına bölünen kablo kesiti

Şekil 4.4.'de ki yapıya baktığımızda geometrisi çizilerek ağ yapısı homojen bir biçimde oluşturulmayan bir yapı görülmektedir. Geometrinin kesiti çözüm açısından önemli olduğu için çözüm süresi kısaltılması adına kablo kesitine daha sık ağ yapısı uygulanarak homojen olmayan bir oluşum belirlenmiştir.



Şekil 4.4. Kablo geometrisi üzerine uygulanan ağ yapısı

Simülasyon için oluşturulan geometride bakır ve PVC malzemeler incelenmiştir. Bunun yanında analizin yapıldığı ortam da havadır. Bu sebeple analizde bu malzemelerin

termofiziksel özelliklerini belirlenmelidir. Kullanılan malzemelerin termofiziksel özellikleri çizelge 4.4.'de verilmiştir.

Çizelge 4.4. Kullanılan malzemelerin termofiziksel özellikleri

Malzeme Adı	Yoğunluğu (kg/m^3)	Termal iletkenlik ($\text{W}/(\text{m}\cdot\text{C})$)	Özgül ısı ($\text{J}/(\text{kg}\cdot\text{C})$)	Özdirenç ($\Omega^*\text{m}$)
Bakır	8933	400	385	$1.72 \cdot 10^{-8}$
PVC	1350	0.14	900	-
Hava	1.1614	0.026	1007	-

Simülasyonda yapılan hesaplamalarda ortaya çıkan ısı denklem 4.5.'deki gibi hesaplanabilir. Isının hesaplanması iki önemli parametre vardır. Bunlar, iletken direnci ve iletkenlikten geçen akımdır. Denklem 4.7.'de, iletken kablonun özdirenç ile birlikte kablonun boyu ve çapına göre direnci hesaplanabilmektedir. Direnç; çizilen geometri ölçüleri program tarafından otomatik olarak algılanarak tanımlanan özdirenç ile hesaplanabilir. Denklem 4.9'da ısı transferi için ortaya çıkan sıcaklık farkı hesaplanabilir. Sıcaklık farkı hedeflenen sıcaklık olan 100°C 'dir, başlangıç sıcaklığı ise 20°C , 40°C ve 60°C olarak her bir analizde farklı olmak üzere üç farklı şekildedir.

$$Q_c = \alpha T_c I - \frac{1}{2} I^2 R - K \Delta T \quad (4.4)$$

$$\alpha = |\alpha_1| + |\alpha_2| \quad (4.5)$$

$$R = (\rho_1 + \rho_2) * L / A \quad (4.6)$$

$$K = (\lambda_1 + \lambda_2) * A / L \quad (4.7)$$

$$\Delta T = T_2 - T_1 \quad (4.8)$$

Q_c transfer edilen ısı miktarı,

K iç termal iletkenlik,

α birleştirilmiş seudeback katsayısı,

ΔT uygulanan sıcaklık farkıdır.

R elektriksel iç direnç,

Kabloya uygulanan akımın iç direnç etkisiyle açığa çıkan isının bakır kablo ve PVC arasında olan iletimle ısı transferi ve PVC ile ortam arasındaki taşınım ile olan ısı transferinin toplamı denklem 4.9'da hesaplanmaktadır.

Güç girişi P,

$$P = \alpha * I * (\Delta T) + I^2 * R \quad (4.9)$$

Analizin performans katsayısı ortaya çıkan ısı ve gücün birbirine oranı şeklinde denklem 4.10'deki gibi hesaplanır.

Performans katsayısı β ise,

$$\beta = Q_c / P \quad (4.10)$$

Daha önce benzetim ile yapılan çalışmada kablolar içi akım taşıma kapasitelerini hesaplanmıştır. Bu çalışmanın doğruluğu için simülasyon ortamında yapılan denemelerde daha önce belirlenen akımların belirli düzeltme faktörleri ile çarpılmasıyla sonuca ulaşılıp akımlar belirlenmiştir.

Simülasyon çalışması esnasında öngörülen sıcaklık değeri girilip analize bir kısıtlama yapılamadığı için akımlar denenerek sınır şartları ve başlangıç koşulları sabit tutularak sadece akım değeri değiştirilip elde edilmiştir. Sonuçların benzetim ile elde edilmiş sonuçlarla oranlanmasıyla düzeltme faktörleri Çizelge 4.5, 4.6 ve 4.7'de görüldüğü gibi elde edilmiştir. Burada;

D: Deneysel,

B: Benzetim,

D.F: Düzeltme faktörüdür.

Çizelge 4.5. 1.5 mm² kablo için 20 °C -100 °C arası akım taşıma kapasitesi

1.5 mm ²		Sıcaklık 20-100	
Zaman(sn)	D(A)	B(A)	D.F.
1	178	109	1,63
2	121	73	1,57
5	78	49	1,51
10	54	37	1,46
100	30	22	1,33
1000	25	20	1,17
3600	21	19	1,01

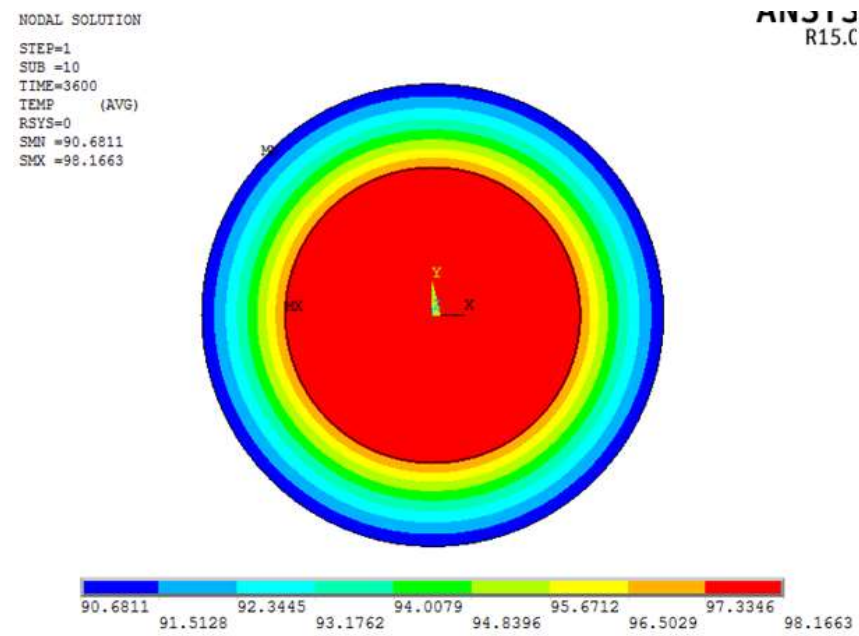
Çizelge 4.6. 1.5 mm^2 kablo için 40°C - 100°C arası akım taşıma kapasitesi

1.5 mm ²		Sıcaklık 40-100	
Zaman(sn)	D(A)	B(A)	D.F.
1	151	89	1,63
2	107	67	1,57
5	67	44	1,51
10	48	32	1,46
100	26	19	1,33
1000	22	18	1,17
3600	19	18	1,01

Çizelge 4.7. 1.5 mm^2 kablo için 60°C - 100°C arası akım taşıma kapasitesi

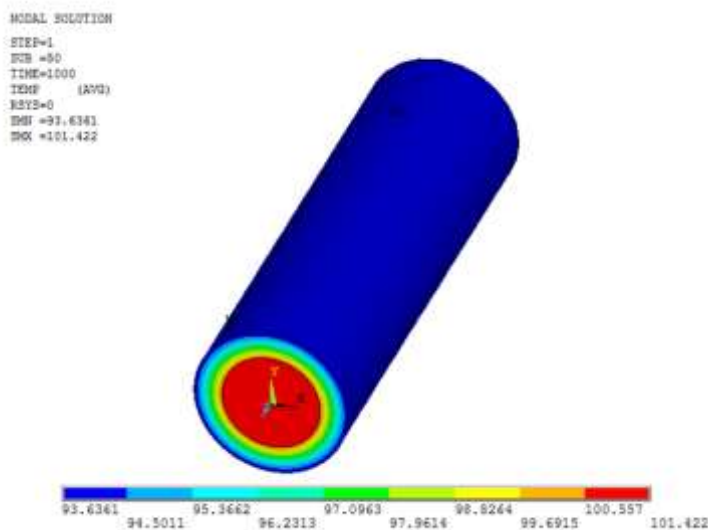
1.5 mm ²		Sıcaklık 60-100	
Zaman(sn)	D(A)	B(A)	D.F.
1	127	77	1,63
2	88	55	1,57
5	56	36	1,51
10	41	27	1,46
100	22	16	1,33
1000	18	15	1,17
3600	17	15	1,01

Sınır koşulları girilen 1.5 mm^2 kesit alanına sahip bakır iletkenli solar kabloya 1000 saniye süresince 20°C başlangıç ortamında, 12 V gerilim ve çizelge 4.1'de gösterilen 24 A akım değeri girilmiştir. 1000 saniye işlem süresini kısaltmak amacıyla alt zaman dilimleri 50 eşit parçaya bölünerek 20 saniyede bir yakınsama yapılmıştır. Ağ yapısının sık olması nedeniyle yakınsama 2 ile 5 deneme arasında her çözüm basamağı için elde edilmiştir. İşlem sonunda elde edilen solar kablo kesitinin sıcaklık dağılım görüntüsü Şekil 4.5.'deki gibi elde edilmiştir.



Şekil 4.5. 1.5 mm^2 Kesiti analiz sonucu sıcaklık dağılımı

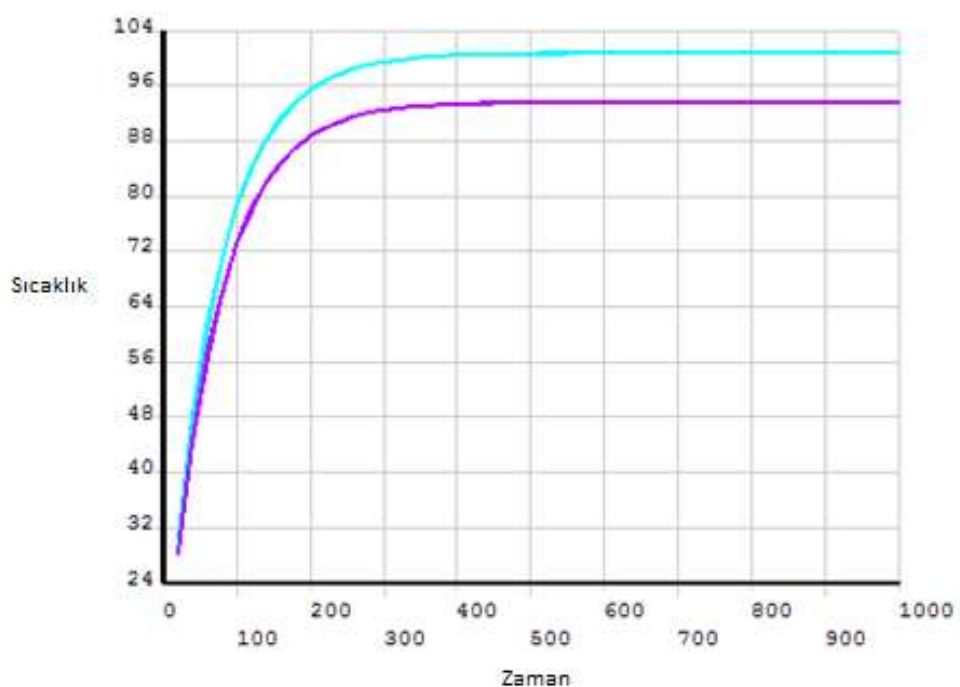
Solar kablonun kesit görüntüsü analiz için önemlidir. Fakat ağ yapısının kablo boyunca sık olmadığı göz önüne alındığında kablo boyunca meydana gelen sıcaklık dağılıminin incelenmesi açısından 3B kablo görüntüsü de alınmıştır. Şekil 4.6.'da görüldüğü gibi kablo boyunca sıcaklık değişimi sabit olduğu, yalnızca kablo kesiti boyunca değişimin olduğu görülmektedir.



Şekil 4.6. Analiz sonucu kablonun 3 boyutlu görünümü

Simülasyon sonucunda solar kablo kesiti incelenmiş ve ardından daha ayrıntılı sıcaklık dağılımı görmek amacıyla sıcaklığın zamana göre değişimini incelemek için solar kablonun iletkeni olan bakırın merkez noktasında bir tane düğüm noktası ve yalıtkan malzemesi olan PVC'nin çapının en dış noktasından bir tane düğüm noktası seçilmiştir. Analizin başladığı andan itibaren ortam sıcaklığı, kabloya uygulanan akım ve gerilim değerleri sabit tutulup sadece zaman değişmektedir. Zamana bağlı olarak iletken ve yalıtkan kesit üzerindeki sıcaklık değişimi Şekil 4.7.'de gösterilmiştir. Şekil 4.7.'yi incelendiğimizde 200. saniyeye kadar akımın etkisiyle kablonun iletken ve yalıtkan kısımlarında meydana gelen sıcaklık değişimi yüksek iken, yaklaşık 300. saniyeden itibaren kablo sürekli durum haline geçerek sıcaklık değişimi en az seviyede değiştiği görülebilmektedir.

Bakır-merkez
İzolasyon-pvcdis

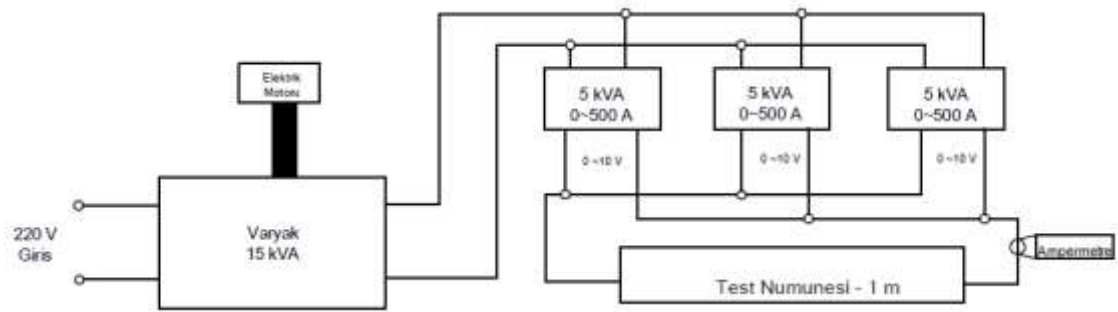


Şekil 4.7. 1.5 mm^2 kesitli kablo için zaman-sıcaklık dağılımı

4.3. Deneysel Çalışma

Çalışmanın deneysel düzeneği Şekil 4.8.'deki gibi tasarlanıp uygulanmıştır. Deney düzeneği üç adet paralel transformatörün bağlanmasıından oluşmaktadır. Bu şekilde yapılmasının sebebi çok büyük tek bir transformatörün taşınması ve yerleşimi zor olacağından, daha düşük güçe sahip transformatörleri paralel bağlayıp güç ve akım seviyesini artırmak içindir. Kullanılan her transformatör 5 kVA 'lik kompleks güç sahiptir. Her bir transformatörün çıkış akımı 0 ile 500 amper arasında, gerilimi ise 0 ile 10 V arasında değişmektedir. Bu sayede test numunesi üzerine 1500 ampere kadar uzun süreli akım uygulanabilmektedir. Ancak kısa süreli 1 ~ 2 saniye için geçici akımlarda bu akım düzeyi 5000 ~ 6000 amper seviyelerine çıkabilmektedir. Deney için gerekli gerilim tek faz şehir şebekesinden alınmıştır. Bu sebeple gelen gerilimi trafolara göndermeden önce ayarlamak üzere 15 kVA'lık güçe sahip varyak kullanılmıştır. Varyağın kullanılmasının sebebi numune üzerinde test yapılırken, numuneye uygulanacak akım değişken olacağından bu değişimi varyak ile sağlamaktır.

Varyağ girişi 220 V olacak şekilde sabitken, çıkıştı 0 – 220 V arasında ayarlanabilmektedir. Numune üzerine düşen akımı ayarlamak için varyak üzerine elektrik motoru yerleştirilmiştir. Ancak istenildiği takdirde elektrik motoru yerine dümen takılarak yine akım değeri bu dümen vasıtıyla el ile ayarlanabilmektedir. Deney süresince numunelere verilecek akım hassasiyeti 1 A olduğu için elektrik motoru yerine dümen tercih edilmiştir. Deney düzeneğinde numune üzerine giden iki kol üzerinde bulunan iki adet ampermetre bulunmaktadır. Bu ampermetrelerden iki tane olması okunan değerin doğruluğunu tespit etmek amacıyla konulmuştur. Deneyler başlamadan önce bir adet kablo üzerine uygulanan akım ile ampermetrelerde okunan değerlerin farklı olmadığı gözlemlenmiştir. Okuduğu değerin doğruluğu onaylanan ampermetrelerden bir tanesi deney boyunca kullanılmıştır.



Şekil 4.8. Deney düzeneği blok şeması



Şekil 4.9. Deney düzeneği

Kısa devre durumunda yapılacak olan deneye numunelerin yerlesimi için transformatörlerden gelen iki ana uca ayrı ayrı Şekil 4.10.'da görüldüğü gibi pırıncıten imal edilmiş yüzey alanı büyük pabuçlarla kablo bağlantı noktaları sabitlenmiştir.



Şekil 4.10. Deney başlangıcı

Deneysel çalışmada akım kapasitesinin belirlenmesinin yanı sıra B tipi bakır kabloların akım taşıma kapasitesi sınırının üzerinde akım verildiğinde meydana gelecek deformasyonun gözlemlenmesi de amaçlanmıştır. Bu kapsamda Şekil 4.10.'da görüldüğü gibi yerleştirilen 6 mm^2 'lik kesite sahip bakır kablo üzerine yaklaşık 200 saniye boyunca 133 A akım uygulanmıştır. Bu kesit ve akım için uygulanması gereken süre 100 saniye olarak belirlenmiştir. Ancak deformasyonu gözlelemek için sınır değerlerinin üzerine çıkmıştır. Şekil 4.11.'de gösterilen deney 1. aşamada 100 saniyenin üzerinde aynı akım verilmeye devam edilmiştir. Solar kablo 115°C ulaştığında kablo yalıtkan malzemesinde genleşmeler oluşmaya başlamıştır.



Şekil 4.11. Deney 1. aşama

Şekil 4.12.'de görülen deney 2. aşamasında akım verilmeye devam edilmektedir. Kablo sıcaklığı yaklaşık 125°C 'e geldiğinde kablo boyunca yalıtkan malzemesi olan PVC'nin genleşme miktarı daha görünür hale gelmektedir ve kablo uçlarında test düzeneğinden gelen ana kablolara bağlantı kısımlarında duman oluşumu görülmüştür.



Şekil 4.12. Deney 2. aşama

Şekil 4.13.'de görülen deney 3. aşamada akım sabit tutularak kablo üzerine verilmeye devam edilmektedir. Kablo sıcaklığı yaklaşık 140°C 'e geldiğinde kablonun hemen hemen her noktasından dumanların çıktığı gözlenmiştir. Kablo içerisinde bulunan iletken, etrafındaki yalıtkan PVC malzemenin bazı kısımlarda eriyerek bakırda ayrılmaya başlamıştır.



Şekil 4.13. Deney 3. Aşama

Şekil 4.14.'de görüldüğü gibi kablo 145°C 'a geldiğinde PVC yalıtkan malzemesi tamamen erimektedir ve aşırı deformasyondan dolayı bakırı iletkenliğinin devam etmesine rağmen kullanılamaz hale gelmiştir. Yukarıda bahsedilen adımlar ile ayrıca test düzeneğinin çalıştığı da test edilip kullanılabilceğine karar verilmiştir.



Şekil 4.14. Aşırı akım sonrası deformen kablo

Deney düzeneğinin de çalıştığı test edildikten sonra 1.5 mm^2 , 2.5 mm^2 , 4 mm^2 ve 6 mm^2 tek damarlı bakır iletkenli solar kablolarının akım taşıma kapasitesi deneyi yapılmıştır. Deney süresince başlangıç ortam sıcaklığı $20\text{ }^{\circ}\text{C}$ kabul edilmiştir ve uygulanan süre sonunda kabloların yatay kesiti $100\text{ }^{\circ}\text{C}$ sıcaklığa gelinceye kadar deneyler tekrarlanmıştır. Deneyler 1, 2, 5, 10, 100, 1000 ve 3600 saniye olmak üzere 7 farklı süre için uygulanmıştır. Benzetim ile belirlenen değerden yola çıkılarak bilgisayar ortamında simülasyonlar ile elde edilen sonuçlar arasına düzeltme faktörü ilave edilmiş olup bu değerlerin deneyleri yapılmıştır.

Deney çalışmalarında kullanılan diğer kablo tipi de ek noktasına sahip solar kablolarıdır. Bu kablolarla eşit uzunlukta ve kesite sahip üç adet bakır kablo toplam boyu 1 metre olacak şekilde iki adet ek noktasıyla birbirlerine bağlanmıştır. Aynı tip solar kablolar üzerinde yapılan bu çalışmadaki amaç; ek yapılan noktalarında oluşan direncele birlikte kablo üzerinde meydana gelen sıcaklık artışı ve ek olmayan yerlere oranla bu sıcaklığın hangi oranda farklılıklar göstereceğini tespit etmektir.

Şekil 4.15.'de deney düzeneğine yerleştirilen örnekte 2.5 mm^2 kesitli eşit uzunluklu üç adet bakır kabloların eklenmesiyle oluşturulan numune deney düzeneğine yerleştirilmiştir. İzlenen yöntem yine diğer kablolarda olduğu gibi aynı şekildedir. 1, 2, 5, 10, 100, 1000 ve 3600 saniye boyunca 2.5 mm^2 'lik bakır kablo için tespit edilen akım değeri bu deney için uygulanmıştır.



Şekil 4.15. Ek yerine sahip bakır kablolar

Deneysel çalışmaların tümünde sıcaklık takibi 160 x 120 IR sensör çözünürlüğüne sahip, -20°C ile +350°C arasında ölçüm yapabilen, 9 Hz resim yenileme hızına sahip yalnızca fotoğraf çekip ses kayıt edebilme özelliği olan termal kamera ile izlenerek veriler kaydedilmiştir.

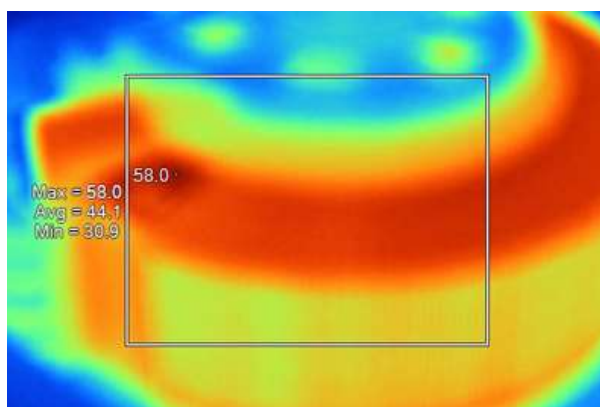
4.4. Bulgular

Deneysel olarak akım taşıma kapasitesini belirlemek amacıyla tespit edilen $20\text{ }^{\circ}\text{C}$ başlangıç koşullarında bulunan 1 metre uzunluğa sahip bakır kabloların 1.5mm^2 için sol bağlantı noktası, kablo merkezi ve sağ bağlantı noktalarındaki sıcaklık değişimi karşılaştırmak amacıyla zaman ve akımla ilişkisi çizelge 4.8'de gösterilmektedir. 1.5 mm^2 , 2.5 mm^2 , 4 mm^2 ve 6 mm^2 kablolarının zaman, akım taşıma kapasitesi ve sıcaklık ilişkileri ek 4'de çizelgeler şeklinde verilmiştir.

Çizelge 4.8. Akım değerlerine göre 1.5 mm^2 kesitli kablo üzerinde oluşan sıcaklıklar

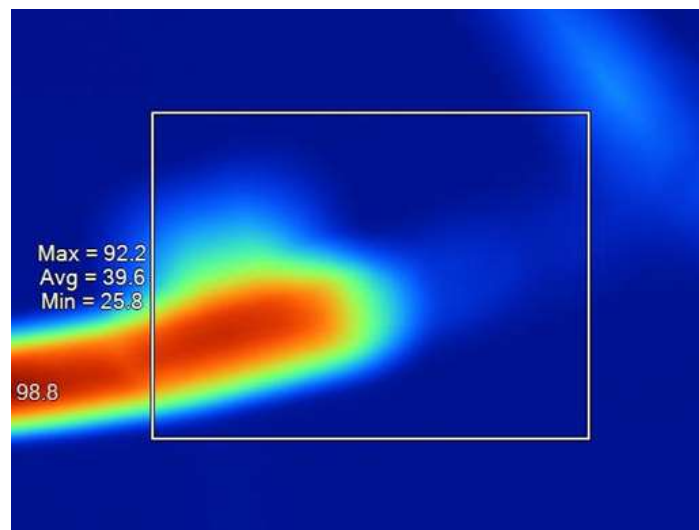
1.5 mm ²				
Zaman(sn)	Akım(A)	Sol Pabuç(°C)	Merkez(°C)	Sağ Pabuç(°C)
1	180	103	95	101
2	125	100	95	99
5	79	102	96	100
10	57	100	97	100
100	31	102	97	100
1000	26	102	98	101
3600	23	101	98	102

Termal kamera ile yapılan Şekil 4.16.'deki ölçümden kablonun deformasyon gözlem deneyinin ardından varyakta meydana gelen ısı dağılımı incelenmiştir. En yüksek sıcaklık $58\text{ }^{\circ}\text{C}$ olarak saptanmıştır ve diğer deneyler için deney düzeneğinin çalışabilir olduğuna karar verilmiştir.



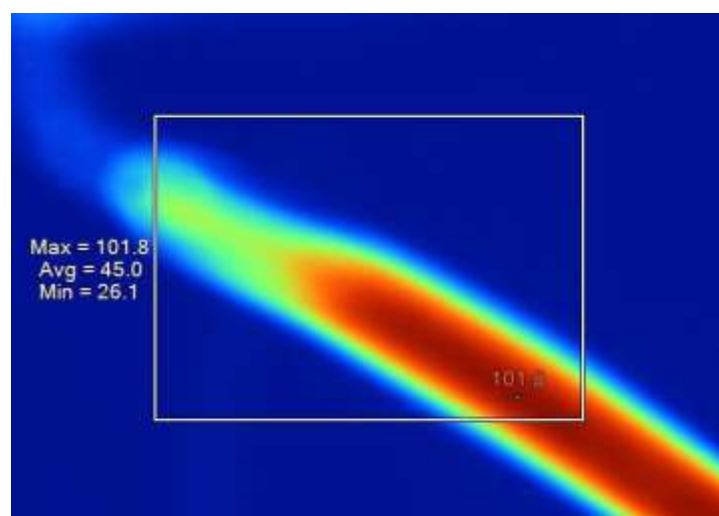
Şekil 4.16. Deney sonrası varyak üzerinde oluşan sıcaklık dağılımı

6 mm^2 kesite sahip kabloya uygulanan deformasyon inceleme deneyinde 133 A akım verilen kablo üzerinde farklı sürelerde çekilen termal görüntüler aşağıda verilmiştir. Normal şartlarda 100 saniye uygulanması gereken deney süresi 200 saniye seviyesinde tutulmuştur. Deneyin 80. saniyesinde Şekil 4.17.'de görülen sağ uçta 98.8°C ' lik sıcaklığa ulaşılmıştır.



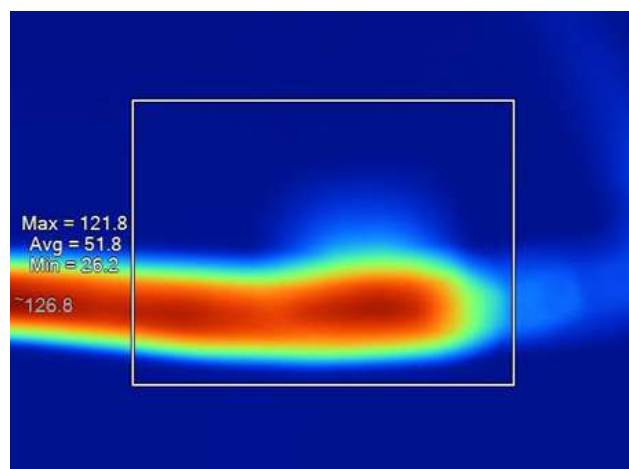
Şekil 4.17. 6 mm^2 kablonun 80 saniyede sağ uçta meydana gelen sıcaklık dağılımı

Aynı numunenin deneyinde 80 saniye sonunda sol uçtaki en yüksek sıcaklık Şekil 4.18.'de görüldüğü gibi 101.8°C ' a yükselmiştir.



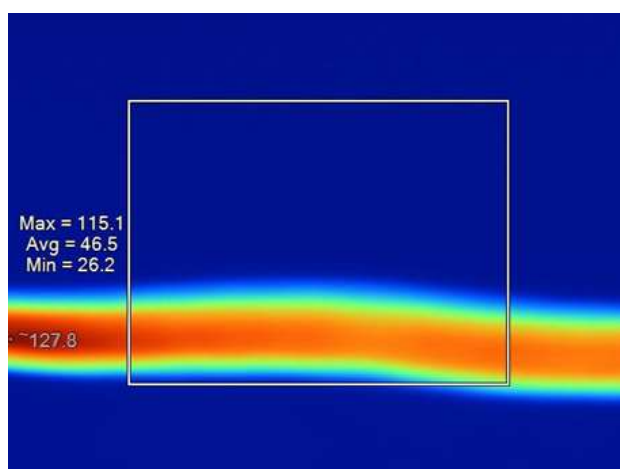
Şekil 4.18. 6 mm^2 kablonun 80 saniyede sol uçta meydana gelen sıcaklık dağılımı

6 mm^2 kesitli B tipi kablo için en yüksek sıcaklık 100°C iken en yüksek ulaştığı sıcaklık 125°C 'a çıkabilir. Ancak bu sıcaklık üzerine çıkışması durumunda kablo tekrar kullanılmamalıdır. Şekil 4.19.'da bu kabloya 133 A akım 150 saniye boyunca verildiğinde merkez kısmında 126.8°C ulaşan en yüksek sıcaklık görülmektedir.



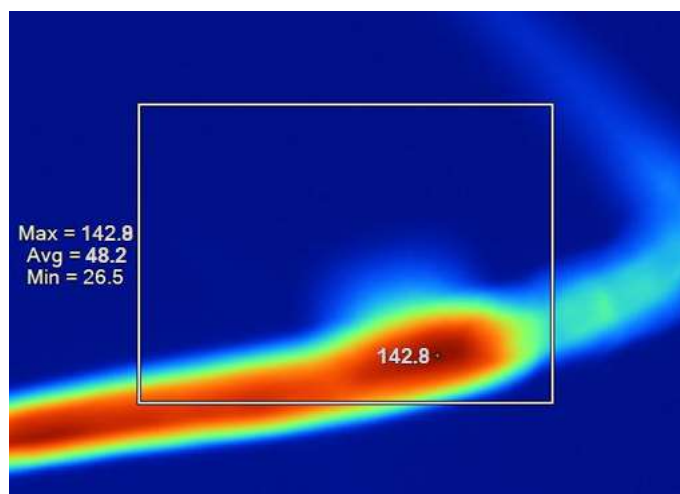
Şekil 4.19. 6 mm^2 kablonun 130 saniyede sağ ucunda meydana gelen sıcaklık dağılımı

Merkez noktanın da 125°C seviyesine yaklaşması için $150.$ saniyeye kadar bu akım kabloya verilmeye devam edilmiştir. Elde edilen bulguda Şekil 4.20.'de kablo 127.8°C 'a kadar ısrarı meydana getirdiği gözlemlenmiştir.



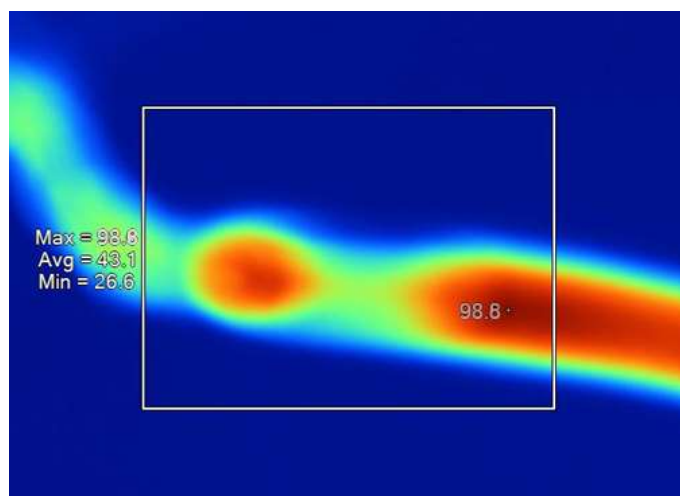
Şekil 4.20. 6 mm^2 kablonun 150 saniyede merkezde meydana gelen sıcaklık dağılımı

Deformasyonu incelemek için 180. saniyeye kadar sabit 133 A akım vermeye devam edilmiştir. Bu süre sonunda sağ uçta 142.8°C sıcaklığı ulaşılmıştır. Bu sıcaklıkla birlikte kablo izolasyon malzemesi eriyerek deform olmuştur ve deney sonlandırılmıştır.



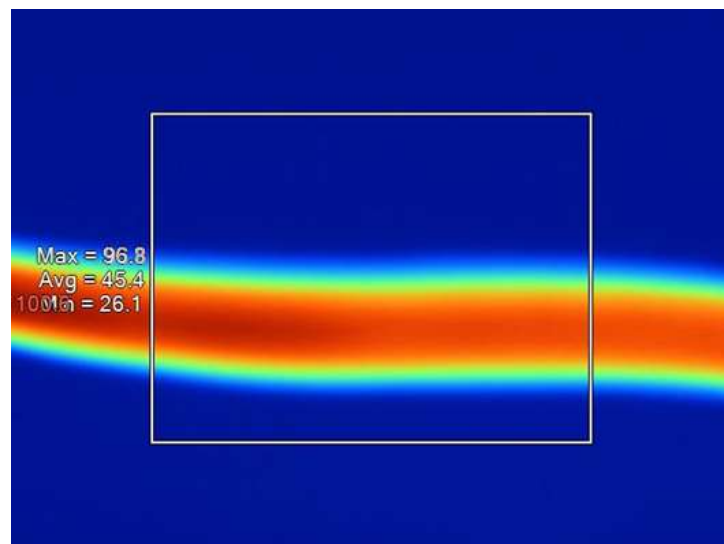
Şekil 4.21. 6 mm^2 kablonun 180 saniyede sağ uç ucunda meydana gelen sıcaklık dağılımı

Bu kısımda daha önce simülasyonundan bahsedilmiş 1.5 mm^2 bakır kablo üzerinde yapılan deneyin termal görüntülerini bulunmaktadır. Kablo üzerine 1000 saniye boyunca 26 A verilerek yapılan deneyde sol bağlantı ucunun görüntüsü Şekil 4.22.'de gösterilmiştir. En yüksek sıcaklık 98.8°C olarak kaydedilmiştir.



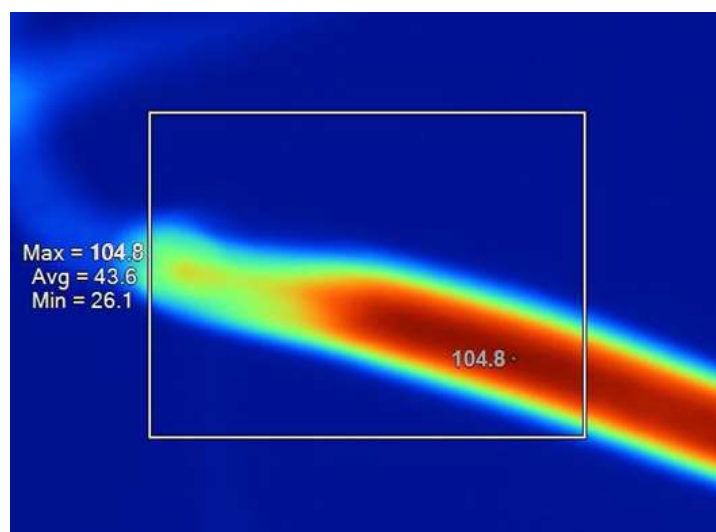
Şekil 4.22. 1.5 mm^2 kablonun 1000 saniyede sol ucda meydana gelen sıcaklık dağılımı

1.5 mm^2 'lik kablonun merkezi 100.6°C olarak ölçüldüğünde sol uçtaki sıcaklıkta nihai olarak Şekil 4.24.'de görüldüğü gibi 104.8°C değerine ulaşmıştır.



Şekil 4.23. 1.5 mm^2 kablonun 1000 saniyede merkezde meydana gelen sıcaklık dağılımı

Şekil 4.23.'de merkez sıcaklığı 96.8°C 'e geldiğinde sağ ucta ölçülen en yüksek sıcaklık 104.8°C olarak Şekil 4.24.'de görülmektedir.



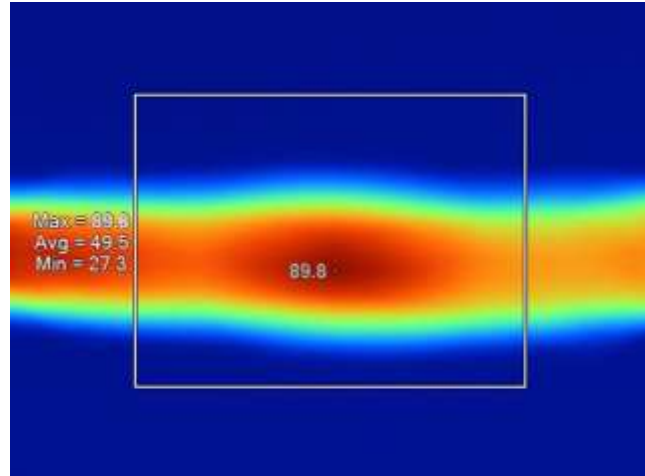
Şekil 4.24. 1.5 mm^2 kablonun 1000 saniyede sağ ucta meydana gelen sıcaklık dağılımı

Deneysel olarak incelenmiş bir diğer tipte ek noktalara sahip Şekil 4.25.'de görülen ek noktalarına sahip kablodur. Ek noktası 1 ve ek noktası 2 ölçülerini ve tiplerini aynı olup numunenin toplam uzunluğu 1 metreden oluşmaktadır.



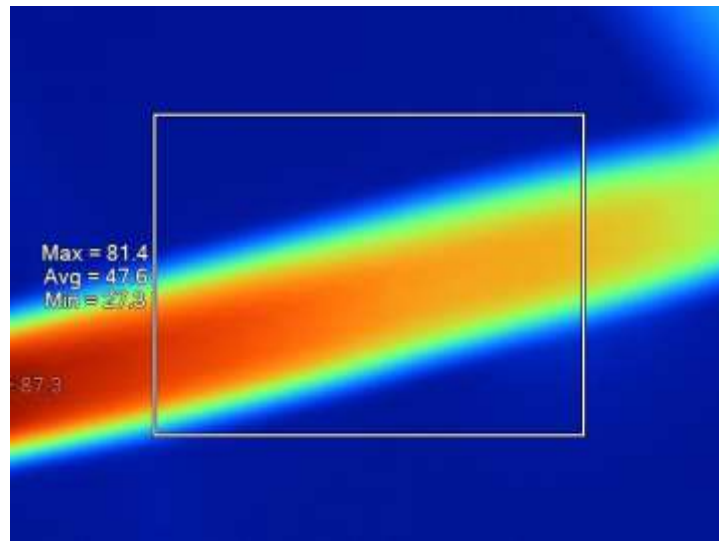
Şekil 4.25. 2.5 mm^2 kesitli ek noktalarına sahip bakır numune

Şekil 4.25.'de görülen termal resimde 2.5 mm^2 'lik kabloya 100 saniye boyunca 64 A akım uygulanmıştır. Ancak alınan görüntüler yaklaşık 80 saniye seviyesinde çekilmiştir. Bu sayede ek noktasındaki kablo ile diğer kısımdaki noktalar arasındaki sıcaklık farklı daha net şekilde görülebilmektedir. Uygulanan akım değerleri simülasyon aşamasında elde edilen 2.5 mm^2 'lik bakır kablo için elde edilen değerlerdir. Uygulama süreleride tüm deneydeki kablolarla uygulanan standartlar çerçevesinde gerçekleştirılmıştır.



Şekil 4.26. 2.5 mm^2 ek yerine sahip kablodonun merkez sıcaklık dağılımı

Merkez noktasında $89.8 \text{ }^\circ\text{C}$ sıcaklığı sahip olan kablo 80 saniyede sol ucunda $87.3 \text{ }^\circ\text{C}$ 'lık sıcaklığa sahip olduğu Şekil 4.27.'de görülmektedir.



Şekil 4.27. 2.5 mm² ek yerine sahip kablonun sağ uctaki sıcaklık dağılımı

Deneysel olarak 2.5 mm²'lik kablo nun ek yeri ve diğer noktalarının sıcaklığının akım ve zamanla değişimi çizelge 4.9.'da gösterilmiştir.

Çizelge 4.9. 2.5 mm² Ek yerine sahip kablonun sıcaklık-akım ilişkisi

Zaman(sn)	Akım(A)	Cu (2.5mm ²) (°C)	Ek1(C)	Cu (2.5mm ²) (°C)	Ek2(°C)	Cu (2.5mm ²) (°C)
1	520	81	106	81	104	81
2	364	83	108	82	106	84
5	225	86	110	83	108	88
10	154	90	103	92	102	89
100	64	95	102	96	99	95
1000	54	98	100	96	100	97
3600	48	98	101	97	100	97

5. SONUÇ

Bu çalışmada, aynı kordinatlarda olmak suretiyle farklı rakımlarda kurulacak FV panellerin ömrünü UV ışınlar, nem yoğunluğunun ve sıcaklık değişimlerinin nasıl etki gösterdiği incelenmiştir. Elde edilen sonuçlar şöyledir:

GES kurulmadan önce, santralin kurulumu için düşünülen bölgesinin GES için uygun koşulları taşıması gerekmektedir. Doğal koşullar ve sistem problemlerinden kaynaklı olumsuzluklar nedeni ile fotovoltaik panel ömründe azalma meydana gelmektedir. Fotovoltaik panel ömründe azalmaya neden olan UV ışınlarının etkisi araştırılıp tespitler incelenmiştir. Araştırma sonucunda Şekil 3.3.'teki sonuçlar elde edilmiştir. Burada; 835 metre yükseklikte bulunan panellerin ömürleri deniz seviyesinde bulunan panellerin ömürlerine oranla yaklaşık %5,6'lık bir azalma olacağı belirlenmiştir.

Nem; hava geçiren arka tabakalar veya etilen vinil asetat (EVA) tabakalar aracılığıyla FV panel içerisinde nüfuz ederek korozyona neden olabilecek elektrokimyasal tepkimelere yol açabilmektedir. Bu yüzden GES'in kurulacağı bölgede nem yoğunluk oranları araştırılmıştır. Sonuç olarak 835 metre yükseklikteki nem yoğunluğunun deniz seviyesine oranla daha az olduğu tespit edilmiş ve Şekil 3.6.'da görüldüğü gibi 835 metre yükseklikteki FV panel ömründe deniz seviyesinde bulunan panel ömrüne oranla %5,8'lik bir artma olacağı belirlenmiştir.

FV paneller yüksek sıcaklıklara uzun süre maruz kaldığında o andaki verimlerinde düşüşler oluşabilmektedir. Ayrıca panel yapılarında da kalıcı bozulmalar (Hot Spot Etkisi) meydana gelebilmektedir. GES'in kurulacağı yerin 835 metre seçilmesinin nedeni Şekil 3.8.'de görüldüğü gibi o bölgenin sıcaklığının düşük oluşu bölgenin kendi doğal serinliğindendir. 3 farklı yükseklik için sıcaklığa maruz kalma sürelerinin FV panellerin ömrüne etkisi araştırılmış ve sonuç olarak 835 metre yükseklikteki FV panel ömürlerinin, deniz seviyesinde bulunan FV panellere oranla %10 daha uzun olacağı belirlenmiştir.

FV panellerin ömrüne etki eden UV ışınların, nemin ve ısıl çevrimlerin toplam etkisi göz önüne alınarak aynı enlem ve boylamda bulunan 3 farklı rakımdaki FV panellerin

ömürleri kıyaslanmış olup 835 m yükseklikte bulunan panellerin ömrünün 25 yıl, deniz seviyesinde kurulan panellerin ömrünün 24,5 yıl ve 2000 m yükseklikte kurulan panellerin ömrünün de 22,5 yıl olacağı sonucuna varılmıştır.

Tek damarlı bakır iletkenli solar kablolarındaki akım taşıma kapasitesini belirlemek amacıyla benzetim, deneysel ve bilgisayar yardımı ile simülasyon çalışmaları yapılmıştır. Benzetim ile yapılan çalışmada solar kablo kesitlerine göre akım taşıma kapasiteleri matematiksel hesaplanmıştır. Hesaplanan değerler benzetim ortamında denemeleri yapılarak bu değerlere düzeltme faktörü eklenmiştir. Bu sayede gerçek akım taşıma kapasitesi değerleri benzetim ortamında doğrulanmıştır. Simülasyonun tamamlanmasının ardından deneysel olarak elde edilen akım değerleri solar kablolar üzerine belirlenen zaman boyunca uygulanmış ve bulgular elde edilmiştir.

GES santralinde kullanılan bakır kablolarındaki akım taşıma kapasitesi yapılan çalışma sonucu bazı değişkenlere bağlı olarak değiştiği belirlenmiştir. Akım taşıma kapasitesi için en önemli değişken ortamın sıcaklığıdır. FV sistemlerde kullanılan solar kabloların en az ve en fazla çalışma sıcaklıklarını standartlara göre belirlenmiştir. Bundan dolayı B tipi kablo için başlangıç sıcaklığı ve kablonun ulaşacağı en fazla sıcaklık olan 100 °C için arasındaki fark ne kadar fazla ise kapasite o kadar artacaktır. 20 °C de yapılan deney için; 40 °C ve 60 °C için elde edilen bulgularla kıyaslandığımızda, akım taşıma kapasitesi daha fazla olduğu görülmektedir. Bu duruma bakarak ortam sıcaklığı ile akım taşıma kapasitesinin ters orantılı olduğu görülmüştür.

Solar kablolar üzerindeki termal davranışını incelendığımızda; uygulanan akım süresi arttıkça (1000 saniye ve sonrası için) sıcaklık artış oranı azalmıştır. Kablonun üzerindeki ısı transferi süreklilik göstermiştir.

Farklı iletken kesitli solar kablolar ile elde edilen sıcaklık değerlerine bakıldığından, kesit arttıkça uygulanan akım süresince kablonun merkez ve uçları arasındaki sıcaklık farkı zamanla azalmaktadır. Tespitlerde görüldüğü üzere kesiti büyük olan kabloya kısa süre uygulanan akım ile merkez noktadan sağ-sol uçların arasındaki sıcaklık farkı %13'e kadar daha farklı iken, daha küçük kesitli kablolarla merkez ve uçlar arasındaki sıcaklık

farkı %9'a kadar farklı olduğu görülmüştür. Ayrıca uygulanan akım süresi arttıkça merkez ve uçlar arasındaki sıcaklık farkları tüm kablo tiplerinde azalmıştır. 1000 saniye ve 3600 saniye akım uygulanarak yapılan deneylerde merkez ve uçlar arasındaki sıcaklık farkı %4'e kadar düşüğü görülmüştür.

Ek içeren solar kablolarla kontak bölgesindeki direnç yaklaşık %1 artmaktadır. Bu yüzden ortaya çıkan ısı orantılı olarak artarak daha kısa sürede sıcaklığın artmasını beraberinde getirmiştir. Kısa süreli yapılan deneylerde ek bölgesi ve diğer bölgelerdeki sıcaklık farkları %20'ye ulaşırken, uzun zaman diliminde yapılan deneyde bu sıcaklık farkı en yüksek %3'e ulaştığı gözlemlenmiştir.

KAYNAKLAR

- Anonim, 2002.** Focus wiring diagrams. Ford Werke AG 2003. Germany.
- Anonim, 2010.** Electrical wiring diagrams section 5. Ford Motor Company Ltd, Unites States of America
- Anonim, 2011.** Thermal imaging guidebook for building and renewable energy aplications. (Erişim tarihi: 24.06.2018)
- Anonim, 2013.** ANSYS Mechanical APDL Coupled- Field Analysis Guide. (Erişim tarihi: 09.03.2018)
- Anonim, 2015.** Electromagnetic compability specification for electrical / electronic components and subsystems. (Erişim tarihi: 11.06.2018)
- Anonim, 2016a.** BMW i3. (Erişim tarihi: 24.05.2018)
- Anonim, 2016b.** En yüksek ve en az sıcaklık dağılımları. (Erişim tarihi: 30.05.2016)
- Anonim, 2016c.** Termografi. (Erişim tarihi: 26.06.2016)
- Anonim, 2016d.** Sonlu elemanlar yöntemi. (Erişim tarihi: 28.06.2018)
- Anonim, 2016e.** Elektromanyetik spektrum. (Erişim tarihi: 26.07.2018)
- Anonim, 2019.** SMA Solar Technology AG, Shade management. (Erişim tarihi : 31.07.2019)
- Berger, H. 2009.** CarEcology: New Technological and Ecological Standards in Automotive Engineering Module 3.Alternative Drive Systems. Department of Electronics & Technology Management University of Applied Sciences, Austria.
- Bakcan, M.R., Yılmaz, G. 2016.** Taşılarda kablo akım taşıma kapasitelerinin benzetimlerle belirlenmesi ve farklı sıcaklıklar için deneysel olarak doğrulanması. *Yüksek lisans tezi*, Uludağ Üniversitesi Fen Bilimleri Enstitüsü, Elektronik Bölümü Anabilim Dalı, Bursa.
- Başay, V., Akyüz, C., Yılmaz, G. 2019.** Uludağ çevresinde ormanlık ve orta yükseklikte dağlık bölgelerde kurulan güneş enerjisi santralinin verimliliğini belirleyen etkenler. Uludağ Üniversitesi Mühendislik Fakültesi Dergisi, Cilt 24 Sayı 1, Bursa.
- Başay, V., Eken, R., Yılmaz, G. 2019.** Orta yükseklikte dağlık bölgelerde kurulan güneş enerjisi santralinde fotovoltaik panellerin yaşlanmasıının araştırılması. Uludağ Üniversitesi Mühendislik Fakültesi Dergisi, Cilt 24 Sayı 2, Bursa.
- Biçen, Y. 2006.** Yeraltı güç kablolarının bilgisayar destekli analizi. *Yüksek lisans tezi*, Kocaeli Üni. Fen Bilimleri Enstitüsü, Kocaeli.
- Çengel, Y.A., Ghajar, A.J. 2015.** Heat and mass transfer: Fundamentals & Applications. McGraw-Hill Education. New York, United States of America, 968 p.
- Denton, T. 2004.** Automobile electrical and electronics systems. Oxford, 463 pp.
- Duffy, J. E. 2009.** Modern automotive technology. The Goodheart-Willcox Company, United States of America, 1613 p.
- Gölcü, M. 2014.** Otomotiv mühendisliğine giriş ders notları. Pamukkale Üniversitesi. Denizli.
- Grandvullemain, J., Chamagne, D., Glises, R., Tiraby, C., Butel Degrange , F.2007.** Thermal Modelling of Enclosed Cables in Automotive Applications. IEEE Vehicle Power and Propulsion Conference, 9-12 September 2007, Arlington, USA.
- IEC TS 62153-4-1. 2014.** Metallic communication cable test methods – Part 4-1: Electromagnetic compatibility (EMC) – Introduction to electromagnetic screening measurements, Geneva, Switzerland.

- ISO 6722-1 International Standart. 2011.** Road vehicles- 60 V and 600V single core cables- Part 1: Dimensions, test methods and requirements for copper conductor cables, France.
- Karaca, G. 2006.** Kablolarda elektriksel ve ısıl zorlanmaların sonlu elemanlar yöntemiyle çoklu analizi. *Yüksek lisans tezi*, İstanbul Teknik Üni. Fen Bilimleri Enstitüsü, İstanbul.
- Karahan, M. 2007.** Sonlu elemanlar metodu kullanılarak güç kablolarının ısıl analizi ve akım taşıma kapasitesinin değerlendirilmesi. *Doktora tezi*, Marmara Üni. Fen Bilimleri Enstitüsü, Elektrik Eğitimi Anabilim Dalı Elektrik Eğitimi Programı, İstanbul.
- Karataş, M. H. 2010.** Elektromanyetik uyumluluk araştırması ve kablolar üzerinde testleri. *Yüksek lisans tezi*, Gazi Üni. Fen Bilimleri Enstitüsü, Ankara.
- Larminie, J., Lowry, J. 2012.** Electrical vehicle technology explained. Wiley publication. West Sussex, United Kingdom, 314 p.
- Moaveni, S., Ayhan, A.O. 2015.** Sonlu elemanlar analizi teori ve ANSYS ile uygulamalar. Palme yayıncılık, Ankara, 906 s.
- Mollamahmutoğlu, H. H. 2009.** Kablo eklerinin elektriksel ve ısıl analizi. *Yüksek lisans tezi*, İstanbul Teknik Üni. Fen Bilimleri Enstitüsü, İstanbul.
- Najamuz, Z. 2015.** Automotive electronic design fundamentals. Springer, Switzerland, 262 pp.
- O'Hara, M., Colebrooke, J. 2003.** Automotive EMC test harnesses: Standard lengths and their effect on conducted emissions. Electromagnetic Compatibility, 2003. EMC '03. 2003 IEEE International Symposium, 16 May 2003, Istanbul, Turkey.
- Oba, K. 2013.** Wiring harnesses for next generation automobiles. *Fujikura technical review*.
- Rybak, T., Steffka, M. 2004.** Automotive electromagnetic compatibility. Kluwer Academic Publishers. Unites States of America, 295p.
- Sevgi, L. 2015.** Tasarımdan piyasaya elektromanyetik uyumluluk. Okan Üniversitesi Yayınları. İstanbul, 313 s.
- Tröscher, M. 2015.** CST's Simulation Capabilities for Automotive Applications. Europe automotive workshop, 23 Nov 2015, Munich, Germany.
- Williams, T. 2007.** EMC for product designers. Elsevier Ltd, Great Britania, 498 p.
- Yıldız, B. 2015.** Ticari bir gemide kısa devre akımı hesapları. *Yüksek lisans tezi*, İstanbul Teknik Üni. Fen Bilimleri Enstitüsü, İstanbul.

EKLER

EK 1 FV1-F Kablo Teknik Parametreleri

EK 2 Termal Görüntüler

EK 3 Simülasyon Analizi Çıktıları

EK 4 Benzetim ve Deneysel Olarak Elde Edilen Akım Taşıma Kapasiteleri

EK 5 Akım Zaman Sıcaklık İlişkisi

EK 1

FV1-F Kablo Teknik Parametreleri

Teknik Şartlar

Tip Tanımı: FV1-F

Sertifikalar ve Standartlar: DKE/VDE AK 411.2.3 VDE TÜV 2 PfG 1169/08.2007

Sertifika No. / Certification No. R 60013989

Döşeme Şartları

Direkt toprak altına gömülmeye uygundur. VDE 0800 kısım 174 5.4.2 ve VDE 0891 kısım 6 4.2 standartları göz önüne alınarak döşenmelidir

Tasarım Özellikleri

İletken: IEC 60228 standardına göre, elektrolitik kalaylı bakır Class 5 ince çok telli
iletken İzolasyon: Çapraz bağlı HEPR 120°C

İzolasyon Rengi: Doğal renk – Beyaz

Kılıf: Çapraz bağlı EVA elastomer 120°C. İzolasyon ve kılıf sağlam bir şekilde bağlıdır
(iki kat izolasyon).

Kılıf Renkleri: Siyah, mavi, kırmızı

Elektriksel Parametreler

Nominal Gerilim: (Uo/U) 600/1000 V AC

En yüksek FV (FV) Sistem Gerilimi: Azami 2000 V'a kadar DC

AC Sistemlerde İzin Verilen En yüksek İşletme Gerilimi: 700/1200 V

DC Sistemlerde İzin Verilen En yüksek İşletme Gerilimi: 900/1800 V

Test Gerilimi: 6500 V AC / 15000 V / 5 dk.

İzin Verilen Akım Şiddeti: TÜV 2 PfG 1169 / 08.2007 standardına göre gereksinimleri karşılar.

TÜV 2 PfG 1169 / 08.2007 Testleri: VDE 0282 Bölüm 2, HD 22.2 ve EN 50395 İletken Direnci, AC ve DC Gerilim Testleri, Elektrik Dayanımı, Yüzey Direnci, İzolasyonda Kıvılcım Testi, EN 50305 6. Kısmı DC Stabilitesi (10 gün, 85 °C, tuzlu su, 1500 V DC). Su ortamında 20 °C ve 90 °C için İzolasyon Direnci.

Kimyasal Parametreler

Mineral Yağ Dayanımı: VDE 0473-811-2-1, DIN EN 60811-2-1 24 saat, 100 °C standartı karşılanır.

Asit ve Alkalin Dayanımı: TÜV 2 PfG 1169/08.2007 7 gün, 23 °C (N-Oksalik Asit, N-Sodyum Hidroksit) EN 60811-2-1 standartına göre karşılanır

Hava Koşullarına Dayanım: DIN EN 50396 B Tip Test ve HD 22.2 B Tip Test ile ozon dayanımı

- TÜV 2PfG 1169/08.2007: UL 1581 (Xeno Test), ISO 4892-2 (A Metodu) ve HD506/A1-2.4.20 ile UV dayanımı

Yangın Performansı: Alev yayılımı

- TÜV 2 PfG 1169/08.2007: IEC 60332-1-2, DIN EN 60332-1-2 standartlarına göre Tek Kablolu Alev Testi, IEC 60754-1 standartına göre Halojenden Arındırılmışlık, IEC 60754-2 standartına göre Aşınmazlık.

Çevre Dostu: Avrupa Birliği 2002/95/EG, 2005/69/EG ve 2006/122/EG yönergelerine göre RoHS ile uyumludur.

Termal Parametreler

Ortam Sıcaklığı: Sabit ve esnek kurulum/tesisat için -40 °C'den +90 °C'ye kadar (-40 °F'den +194 °F'ye kadar)

İzin Verilen En yüksek İletken İşletme Sıcaklığı: IEC 60216 standartına göre +120°C (+248 °F) , 20.000 saat (=2.3 yıl) için daimi sıcaklık 120 °C, 30 yıl için sürekli sıcaklık 90 °C

Kısa Devre Sıcaklığı: TÜV 2 PfG 1169/08.2007' ye göre; En yüksek 5 sn. için iletken sıcaklığı +200 °C (392 °F)

Soğuğa Dayanıklık: DIN EN 60811-1-4 standardına göre -40 °C'de Soğuk Bükme Testi
Nemli Isı Testi: TÜV 2 PfG 1169 / 08.2007 standardını karşılar. EN 60068-2-78'e göre ve 90 °C'de ve %85 nem altında 1.000 saat.

Mekanik Parametreler

Gerilme Değeri: HD 516 DIN VDE 0298 3 - 7.1 ve kısım 300 - 5.4.1 standardına göre, işletmede 15 N/mm², yükleme sırasında 50 N/mm²

En az Bükme Yarıçapı: Min. 4 x D (D= Toplam kablo çapı)

Aşınma: DIN EN 53516 standardını karşılar:

- Zımpara kağıdına degecek şekilde,
- Kılıf kılıfa degecek şekilde,
- Kılıf metale degecek şekilde,
- Kılıf plastige degecek şekilde.

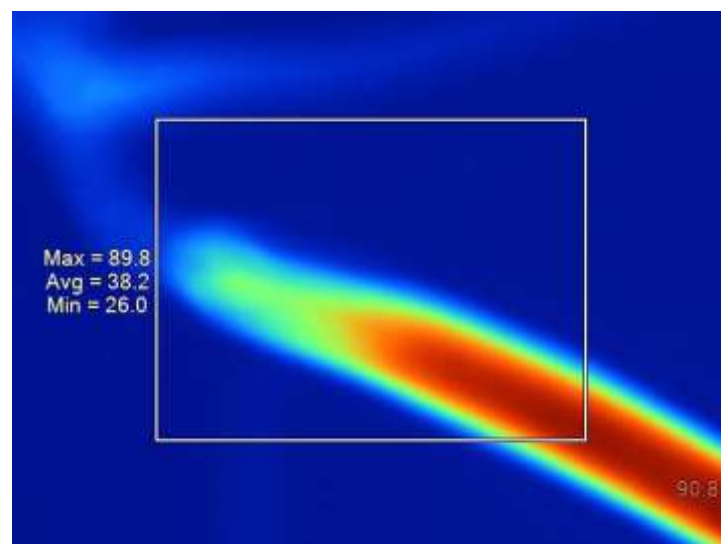
Çekme Testi: TÜV 2PfG 1169/08.2007 <%2 standardını, EN 60811-1-3'e göre karşılar.

Yüksek Sıcaklıkta Basınç Testi: TÜV 2PfG 1169/08.2007 <%50 standardını, EN 60811-3-1'e göre karşılar.

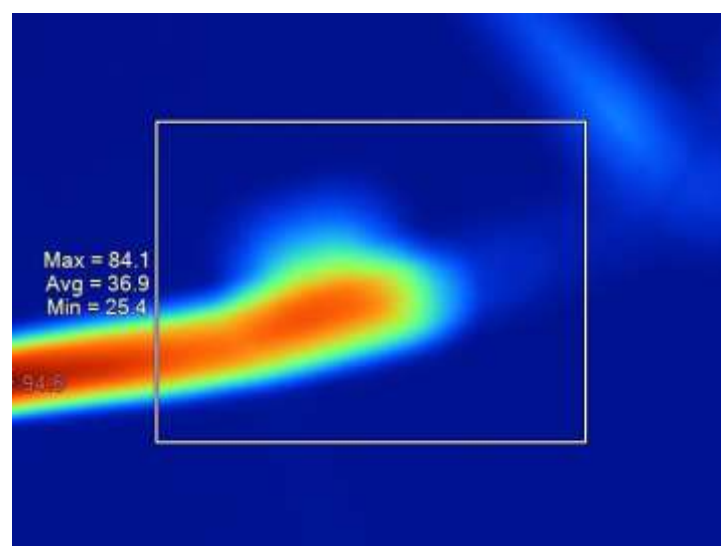
Dinamik Geçirgenlik Testi: TÜV 2 PfG 1169/08.2007 için FV (FV)-kablo gereksinimlerini karşılar. Kemirgen Direnci: Güvenlik, kablolar eğrilerek veya örgülü metalik kaplamalarla koruma sağlanarak optimize edilebilir.

EK 2

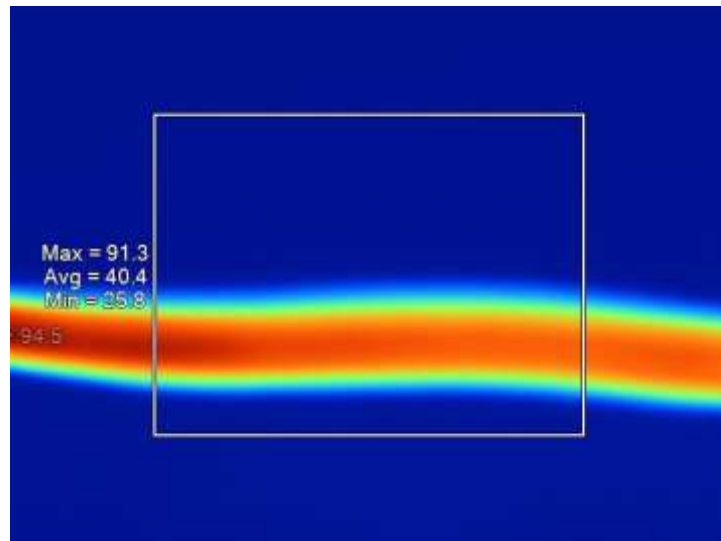
Termal Görüntüler



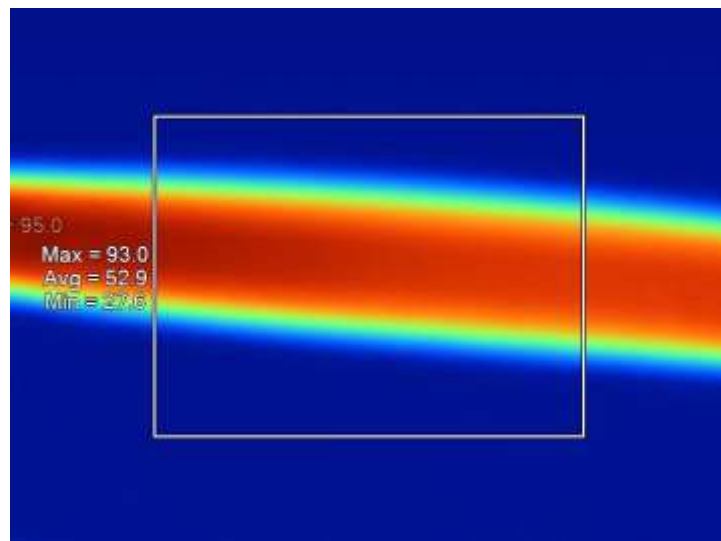
1.5 mm^2 100 saniyede sol ucta sıcaklık dağılımı



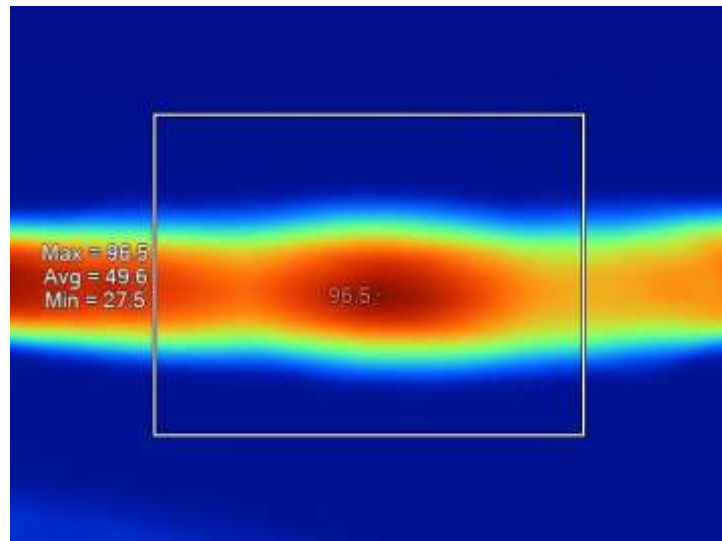
1.5 mm^2 800 saniyede sağ uç ucta sıcaklık dağılımı



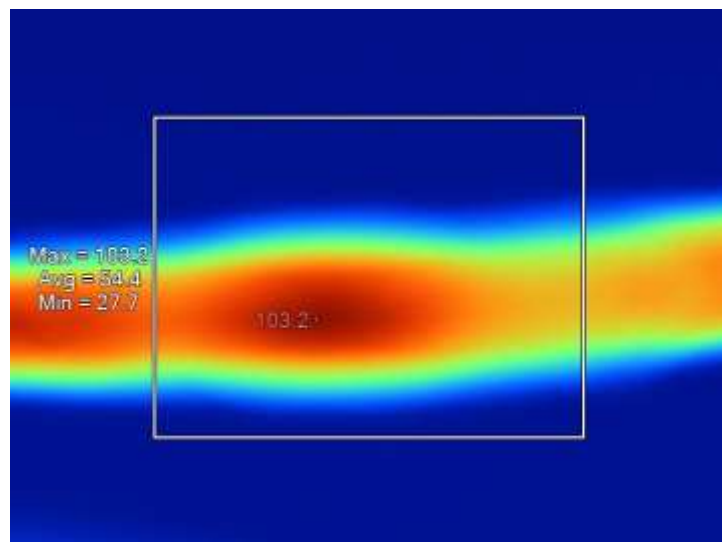
1.5 mm^2 1000 saniyede merkezde sıcaklık dağılımı



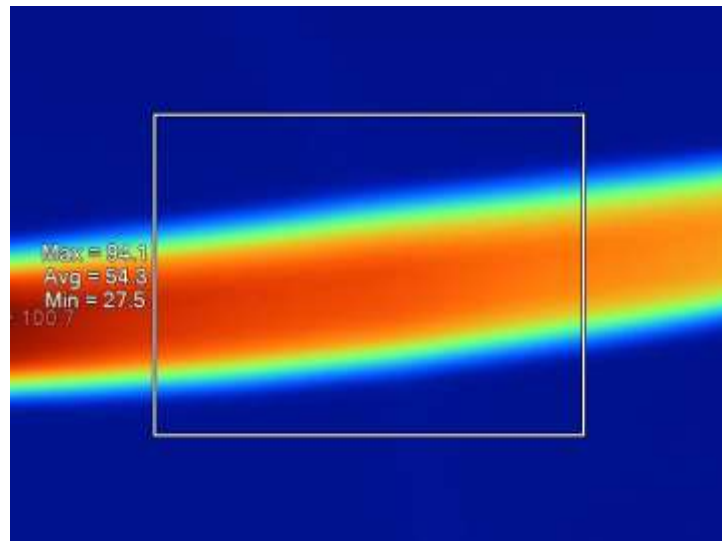
2.5 mm^2 100 saniyede merkezde sıcaklık dağılımı



2.5 mm^2 ekli 900 saniyede ek noktasında sıcaklık dağılımı



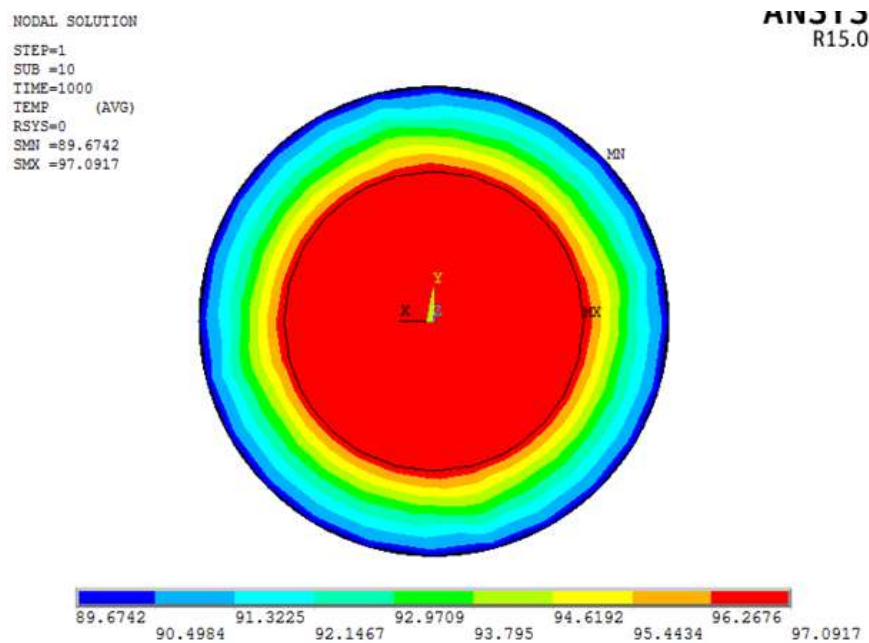
2.5 mm^2 1000 saniyede ek noktasında sıcaklık dağılımı



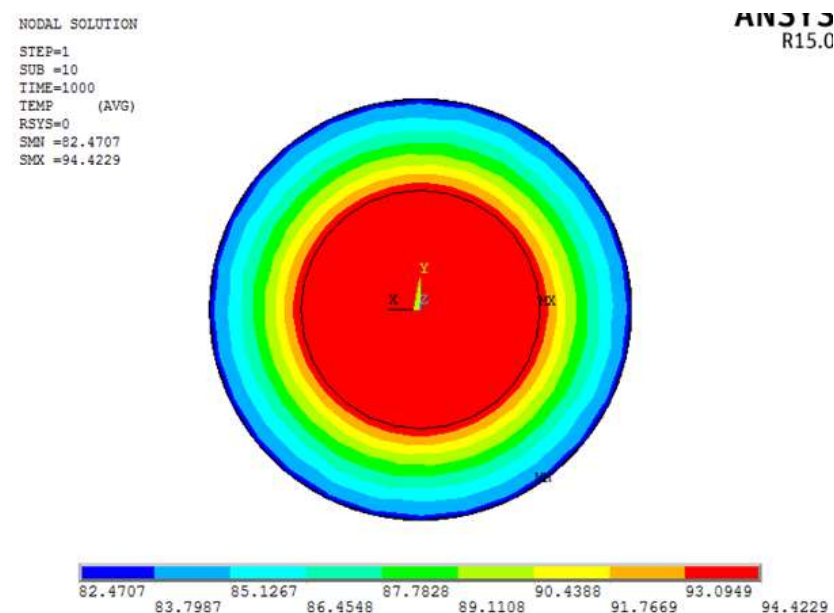
4 mm^2 100 saniyede merkezde sıcaklık dağılımı

EK 3

Simülasyon Analizi Çıktıları



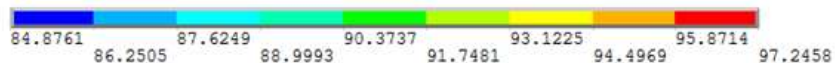
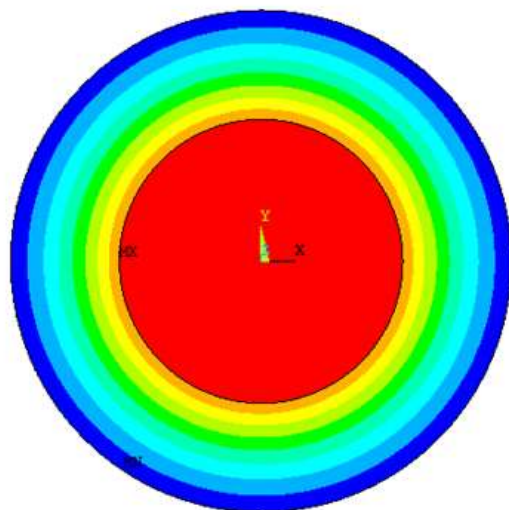
1.5 mm^2 1000 saniyede kablo kesiti sıcaklık dağılımı



2.5 mm^2 1000 saniyede kablo kesiti sıcaklık dağılımı

NODAL SOLUTION
STEP=1
SUB =10
TIME=1000
TEMP (AVG)
RSYS=0
SMN =84.8761
SMX =97.2458

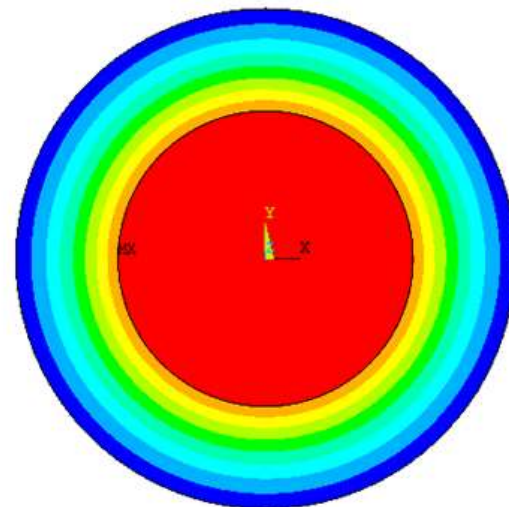
ANSYS
R15.0



4 mm² 1000 saniyede kablo kesiti sıcaklık dağılımı

NODAL SOLUTION
STEP=1
SUB =10
TIME=1000
TEMP (AVG)
RSYS=0
SMN =84.9755
SMX =97.42

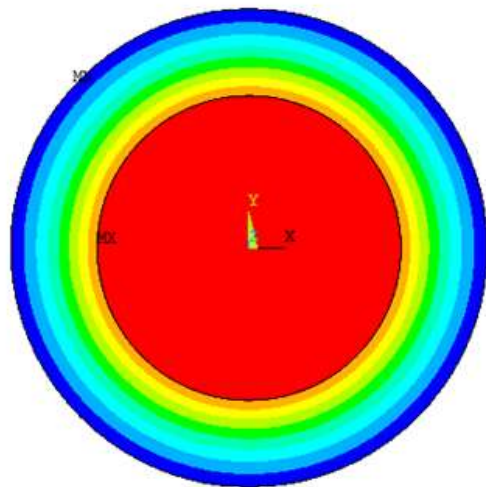
ANSYS
R15.0



6 mm² 1000 saniyede kablo kesiti sıcaklık dağılımı

NODAL SOLUTION
STEP=1
SUB =5
TIME=100
TEMP (AVG)
RSYS=0
SMN =89.3453
SMX =96.8861

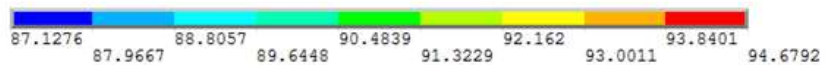
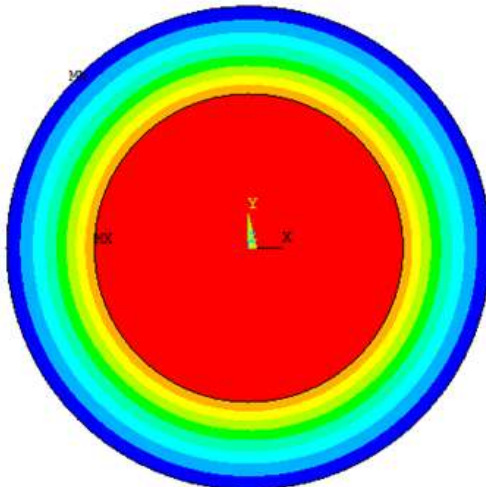
ANSYS
R15.0



1.5 mm² 100 saniyede kablo kesiti sıcaklık dağılımı

NODAL SOLUTION
STEP=1
SUB =5
TIME=100
TEMP (AVG)
RSYS=0
SMN =87.1276
SMX =94.6792

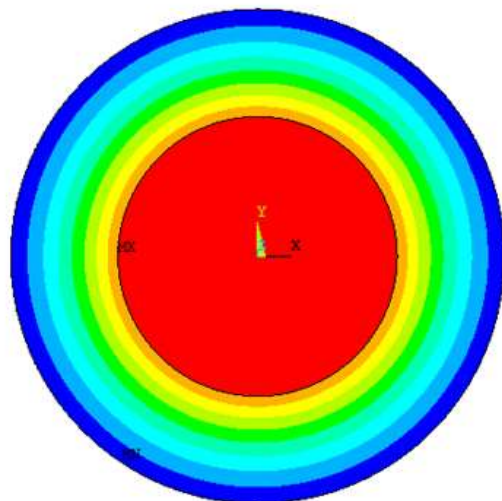
ANSYS
R15.0



2.5 mm² 100 saniyede kablo kesiti sıcaklık dağılımı

NODAL SOLUTION
STEP=1
SUB =10
TIME=1000
TEMP (AVG)
RSYS=0
SMN =84.8761
SMX =97.2458

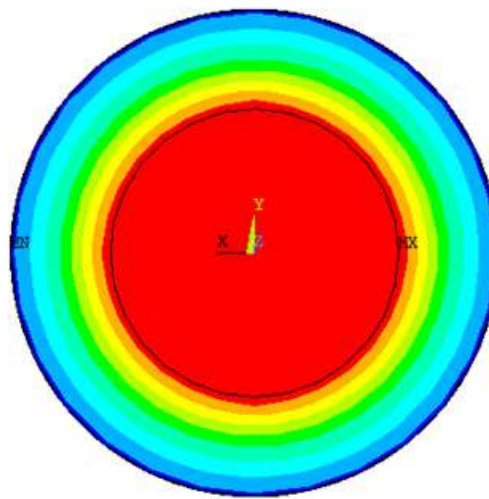
ANSYS
R15.0



4 mm² 100 saniyede kablo kesiti sıcaklık dağılımı

NODAL SOLUTION
STEP=1
SUB =10
TIME=100
TEMP (AVG)
RSYS=0
SMN =86.8961
SMX =101.833

ANSYS
R15.0

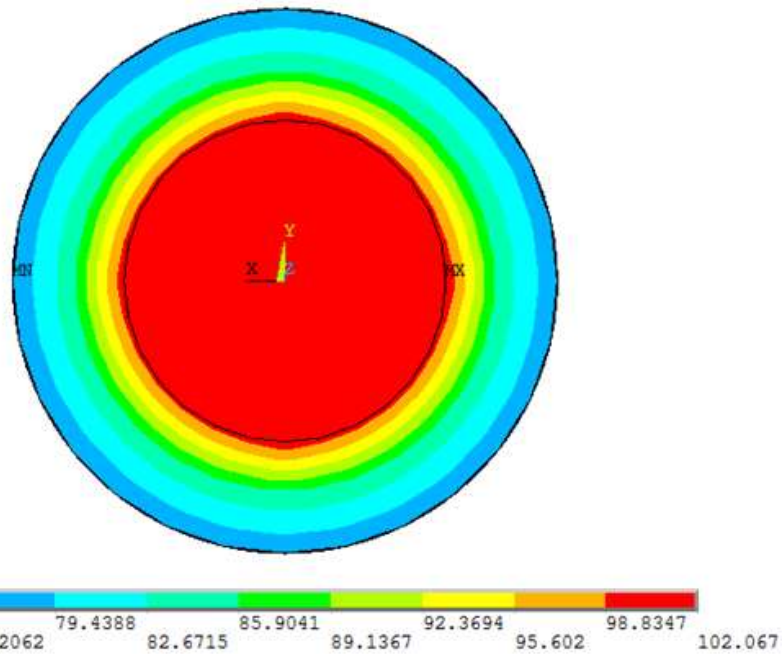


86.8961 88.5558 90.2154 91.8751 93.5347 95.1944 96.854 98.5136 100.173 101.833

6 mm² 100 saniyede kablo kesiti sıcaklık dağılımı

NODAL SOLUTION
STEP=1
SUB =5
TIME=10
TEMP (AVG)
RSYS=0
SMN =72.9735
SMX =102.067

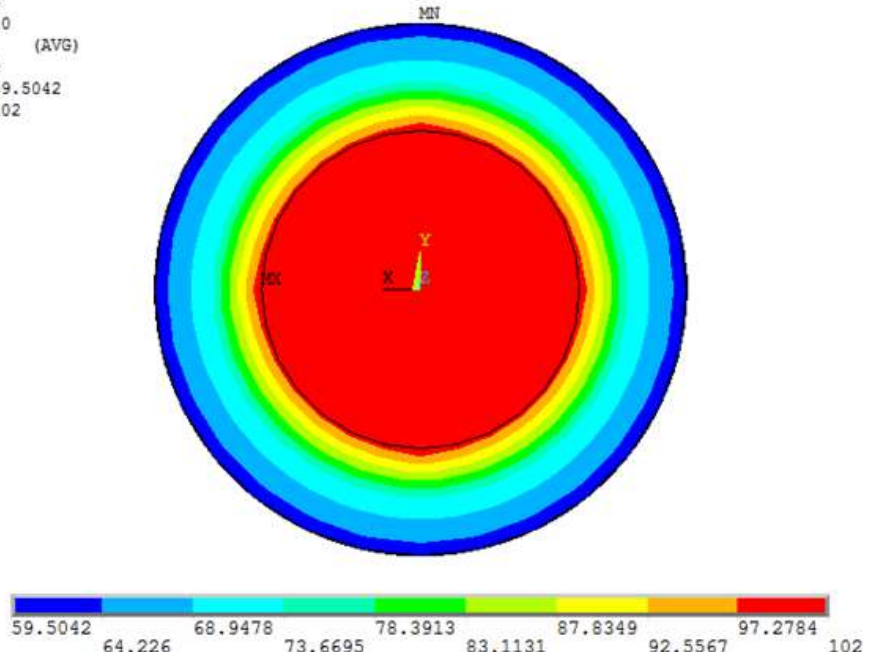
ANSYS
R15.0



1.5 mm^2 10 saniyede kablo kesiti sıcaklık dağılımı

NODAL SOLUTION
STEP=1
SUB =5
TIME=10
TEMP (AVG)
RSYS=0
SMN =59.5042
SMX =102

ANSYS
R1



2.5 mm^2 10 saniyede kablo kesiti sıcaklık dağılımı

EK 4

Benzetim ve Deneysel Olarak Elde Edilen Akım Taşıma Kapasiteleri

1.5 mm ²		Sıcaklık 20°C -100 °C	
Zaman(sn)	D (A)	B (A)	D.F.
1	178	109	1,63
2	121	73	1,57
5	78	49	1,51
10	54	37	1,46
100	30	22	1,33
1000	25	20	1,17
3600	21	19	1,01

2.5 mm ²		Sıcaklık 20°C -100 °C	
Zaman(sn)	D (A)	B (A)	D.F.
1	520	337	1,60
2	364	240	1,55
5	225	155	1,50
10	154	110	1,40
100	64	50	1,30
1000	54	46	1,20
3600	48	46	1,10

4 mm ²		Sıcaklık 20°C -100 °C	
Zaman(sn)	D (A)	B (A)	D.F.
1	620	415	1,50
2	426	293	1,45
5	264	190	1,40
10	180	135	1,35
100	73	59	1,25
1000	61	53	1,20
3600	55	53	1,10

6 mm ²		Sıcaklık 20°C -100 °C	
Zaman(sn)	D (A)	B (A)	D.F.
1	1255	790	1,60
2	870	559	1,55
5	555	358	1,50
10	371	255	1,45
100	133	100	1,35
1000	92	82	1,10
3600	87	82	1,05

1.5 mm ²		Sıcaklık 40°C -100 °C	
Zaman(sn)	D (A)	B (A)	D.F.
1	151	89	1,63
2	107	67	1,57
5	67	44	1,51
10	48	32	1,46
100	26	19	1,33
1000	22	18	1,17
3600	19	18	1,01

2.5 mm ²		Sıcaklık 40°C -100 °C	
Zaman(sn)	D (A)	B (A)	D.F.
1	464	290	1,60
2	317	205	1,55
5	199	143	1,50
10	133	96	1,40
100	56	43	1,30
1000	48	40	1,20
3600	44	40	1,10

4 mm ²		Sıcaklık 40°C -100 °C	
Zaman(sn)	D (A)	B (A)	D.F.
1	531	354	1,50
2	363	251	1,45
5	227	162	1,40
10	157	117	1,35
100	63	50	1,25
1000	54	45	1,20
3600	49	45	1,10

6 mm ²		Sıcaklık 40°C -100 °C	
Zaman(sn)	D (A)	B (A)	D.F.
1	1078	674	1,60
2	740	478	1,55
5	460	307	1,50
10	319	220	1,45
100	116	86	1,35
1000	77	70	1,10
3600	73	70	1,05

1.5 mm ²		Sıcaklık 60°C -100 °C	
Zaman(sn)	D (A)	B (A)	D.F.
1	127	77	1,63
2	88	55	1,57
5	56	36	1,51
10	41	27	1,46
100	22	16	1,33
1000	18	15	1,17
3600	17	15	1,01

2.5 mm ²		Sıcaklık 60°C -100 °C	
Zaman(sn)	D (A)	B (A)	D.F.
1	380	238	1,60
2	262	169	1,55
5	162	108	1,50
10	133	95	1,40
100	46	35	1,30
1000	38	32	1,20
3600	35	32	1,10

4 mm ²		Sıcaklık 60°C -100 °C	
Zaman(sn)	D (A)	B (A)	D.F.
1	438	292	1,50
2	300	207	1,45
5	184	132	1,40
10	134	122	1,35
100	52	41	1,25
1000	43	37	1,20
3600	40	37	1,10

6 mm ²		Sıcaklık 60°C -100 °C	
Zaman(sn)	D (A)	B (A)	D.F.
1	900	556	1,60
2	610	394	1,55
5	376	251	1,50
10	265	183	1,45
100	96	71	1,35
1000	62	57	1,10
3600	60	57	1,05

EK 5

Akım Zaman Sıcaklık İlişkisi

1.5 mm ²				
Zaman(sn)	Akım(A)	Sol Pabuç(°C)	Merkez(°C)	Sağ Pabuç(°C)
1	276	109	93	106
2	189	107	93	107
5	119	102	94	105
10	86	106	95	107
100	45	104	96	104
1000	38	103	98	102
3600	35	102	100	102

2.5 mm ²				
Zaman(sn)	Akım(A)	Sol Pabuç(°C)	Merkez(°C)	Sağ Pabuç(°C)
1	526	110	92	108
2	366	108	93	109
5	227	104	96	105
10	156	103	96	102
100	67	102	98	100
1000	58	101	100	101
3600	51	102	100	103

4 mm ²				
Zaman(sn)	Akım(A)	Sol Pabuç(°C)	Merkez(°C)	Sağ Pabuç(°C)
1	629	110	91	106
2	427	108	93	102
5	264	106	95	102
10	184	104	96	100
100	76	102	98	100
1000	66	102	100	100
3600	57	103	100	102

6 mm ²				
Zaman(sn)	Akım(A)	Sol Pabuç(°C)	Merkez(°C)	Sağ Pabuç(°C)
1	1265	110	92	107
2	876	108	93	108
5	572	105	94	106
10	377	102	96	103
100	139	100	98	106
1000	97	99	99	103
3600	89	100	100	102

ÖZGEÇMİŞ

Adı Soyadı : Cemal AKYÜZ

Doğum Yeri ve Tarihi: Sinop - 1990

Yabancı Dili : İngilizce

Eğitim Durumu (Kurum ve Yıl)

Lise	: Bursa Demirtaşpaşa Endüstri Meslek Lisesi Elektronik Bölümü	2007
Ön Lisans	: Uludağ Üniversitesi Orhangazi Meslek Yüksek Okulu Endüstriyel Elektronik Bölümü	2009
Lisans	: Beykent Üniversitesi Elektronik ve Haberleşme Mühendisliği Bölümü	2014
Yüksek Lisans	: Uludağ Üniversitesi Elektronik Mühendisliği Anabilim Dalı	

Çalıştığı Kurum : Arge-Emre Makina Tasarım Sanayi Ticaret Limeted Şirketi 2018

İletişim (e-posta) : cemalakyuz89@gmail.com

Yayınlar

Başay, V., Akyüz, C., Yılmaz, G. 2018. Uludağ çevresinde ormanlık ve orta yükseklikte dağlık bölgelerde kurulan güneş enerjisi santralinin verimliliğini belirleyen etkenler. Uludağ Üniversitesi Mühendislik Fakültesi Dergisi, Cilt 24 Sayı 1, Bursa.